

Untersuchung des eulitoralen Makrozoobenthos an sieben Seen in Schleswig-Holstein

Endbericht



Auftraggeber: Landesamt für Natur und Umwelt des
Landes Schleswig-Holstein

Fachl. Betreuung: Frau Dipl.-Biol. Gudrun Plambeck



Auftragnehmer: Leibniz-Institut für Gewässerökologie und
Binnenfischerei im Forschungsverbund Berlin e. V.
Müggelseedamm 301, 12587 Berlin
Abt. Limnologie von Flusseen



Projektleiter: Herr Dr. Mario Brauns
Herr Dr. Martin Pusch

Projektbearbeiter: Herr Dr. Mario Brauns

Zusammenfassung

Ziel des vorliegenden Berichtes war es, anhand eines umfangreichen Datensatz von insgesamt 17 schleswig-holsteinischen Seen a) die Bewertungseignung von Chironomidae (Zuckmücken) auf Artniveau zu testen, b) das IGB-Bewertungsverfahren für Seen anhand des litoralen Makrozoobenthos grundlegend zu überarbeiten und damit die Seen zu bewerten und c) zu testen, ob eine aussagekräftige Bewertung des ökologischen Zustands von Seen auch mit weniger als acht Probestellen pro See möglich ist.

Die Analyse der **Bewertungseignung der Chironomidae** auf Artniveau zeigte, dass mit Daten des Makrozoobenthos einschließlich Chironomidae (als aquatische Larven gesammelt) auf Artniveau eine bessere Trennung der natürlichen von den hydromorphologisch degradierten Seeufern gelang als anhand von Daten des Makrozoobenthos, die die Chironomidae lediglich auf höherem taxonomischem Niveau enthielten. Insbesondere der Vergleich zwischen natürlichen Ufern und Steganlagen ergab, dass der faunistische Unterschied anhand von Makrozoobenthos einschließlich Chironomidae auf Artniveau um bis zu 39% größer war als bei fehlender oder geringer taxonomischer Auflösung der Chironomidae. Die Unterschiede bei der Bewertung mit Makrozoobenthos einschließlich Chironomidae auf Artniveau und einer Bewertung anhand von Makrozoobenthos ohne Chironomidae waren meist gering oder es wurde sogar das gleiche Bewertungsergebnis erzielt. Allerdings wurde bei der Verwendung von Makrozoobenthosdaten ohne Chironomidae beim Kriterium der funktionellen Ernährungstypen der wahre Unterschied zwischen natürlichen und degradierten Ufern in bis zu 43 % aller Vergleiche überschätzt. Somit verringert die Einbeziehung der Chironomidae bei den in Bewertungsverfahren häufig verwendeten funktionellen Ernährungstypen das Risiko einer Fehleinstufung in eine zu schlechte Zustandsklasse. Daher wird empfohlen, bei der Seeuferbewertung auf Basis des litoralen Makrozoobenthos die Chironomidae auf dem bestmöglichen taxonomischen Niveau zu integrieren.

Die **Bewertung des strukturellen Zustands** mit der überarbeiteten Version des IGB-Bewertungsverfahren (HYDRA-Lake) zeigte insgesamt gute Übereinstimmung mit der unabhängigen Vorklassifikation. So wurden mit dem überarbeiteten Modul „Struktur“ die als stark degradiert eingestuften Uferabschnitte nie besser als mit Zustandsklasse „4“ bewertet wurden, und auch die ökologischen Auswirkungen der vormals schwierig zu bewertenden Steganlagen ebenfalls sehr gut abgebildet. Die Bewertung des strukturellen Zustands der natürlichen Stellen ergab in nicht immer nachvollziehbare Ergebnisse. Während das Modul „Struktur“ natürliche Stellen mit hoher Habitatheterogenität größtenteils mit nie schlechter als dem „mäßigen strukturellen Zustand“ bewertete, wurden Stellen mit offensichtlich natürlicherweise eingeschränkter Habitatheterogenität nahezu immer schlecht bewertet. Dies war auch der Grund dafür, dass 8 der untersuchten 17 Seen nur den „unbefriedigenden“

strukturellen Zustand“ erreichten. Da dies weniger dem Verfahrensalgorithmus sondern zumeist der noch fehlenden Definition des strukturellen Referenzzustandes für die Ufer norddeutscher Tieflandsseen geschuldet ist, muss dieser ausgearbeitet werden, um die Treffsicherheit bei (wirklich oder scheinbar) „natürlichen“ Ufern zu erhöhen. Demgegenüber konnte bei der Bewertung der Seen mit dem Modul „Neozoa“ festgestellt werden, dass sich die untersuchten Seen, bis auf den Plöner See und Ratzeburger See, im „guten“ bzw. „sehr guten Zustand“ bezüglich der Besiedlung mit Neozoa befanden.

Die Analyse der **Anzahl an Probestellen** für eine aussagekräftige Bewertung von Seen ergab, dass eine Reduzierung der Probestellenzahl mit einem Verlust an Aussagekraft bezüglich der Bewertung des ökologischen Zustands einhergeht. Da die untersuchte Reduzierung der Probestellenzahl auf sieben bzw. sechs Stellen im Vergleich acht Probestellen jedoch vergleichsweise gering war, wären anhand der vorliegenden Ergebnisse mindestens sechs Probestellen für eine aussagekräftige Seenbewertung notwendig. Eine bundesweit verbindliche Mindestanzahl an Probestellen sollte jedoch erst dann festgelegt werden, wenn ein umfangreicherer Test mit Seen aus anderen Bundesländern durchgeführt wurde.

Inhaltsverzeichnis

	Seite
1 Einleitung	1
2 Methodik	2
2.1 Datenerhebung	2
2.2 Statistische Methoden der Datenauswertung	3
2.2.1 Allgemeine Charakterisierung des Arteninventars	3
2.2.2 Bewertungseignung der Chironomidae	4
2.2.3 Validierung des IGB Bewertungsverfahrens	5
2.2.4 Mindestanzahl an Probestellen	11
3 Ergebnisse und Diskussion	12
3.1 Charakterisierung des Arteninventars.....	12
3.2 Bewertungseignung der Chironomidae.....	16
3.3 Bewertung mit dem IGB Bewertungsverfahren.....	23
3.3.1 Modul Struktur.....	23
3.3.2 Modul Neozoa	40
3.4 Mindestanzahl an Probestellen.....	41
4 Literatur	44

Anhang

- 1 Geographische Lage der Probestellen der in 2009 untersuchten Seen sowie deren Zugehörigkeit zu den Uferstrukturtypen
- 2 Getestete Metric-Kombinationen sowie deren Spearman-Korrelationskoeffizient mit der gewichteten Habitatvielfalt der Probestellen
- 3-12 Seenspezifische Gesamtartenübersicht des eulitoralen Makrozoobenthos 2008
- 13-19 Seenspezifische Gesamtartenübersicht des eulitoralen Makrozoobenthos 2009
- 20 Bewertungsergebnisse der Probestellen mit dem Modul "Neozoa"

1 Einleitung

Gemäß der im Dezember 2000 erlassenen EG-Wasserrahmenrichtlinie (WRRL, Europäisches Parlament und Europ. Rat 2000) wird von den Mitgliedstaaten eine Bewertung des ökologischen Zustands der Seen gefordert, auf deren Grundlage bei Nichterreichung des „guten ökologischen Zustandes“ gegebenenfalls Maßnahmen zur Verbesserung des Gewässerzustandes eingeleitet werden sollen. Die Bewertung erfolgt anhand biologischer Qualitätskomponenten, zu denen neben Fischen, Makrophyten, Phytorbenthos und Phytoplankton auch das Makrozoobenthos gehört. Bisherige Ansätze und Verfahren zur ökologischen Bewertung von Seen mit dem Makrozoobenthos bezogen sich entweder auf das Sublitoral oder Profundal (Lewis, Klemm & Thoeny 2001; Zenker, Baier & Böhmer 2006), wobei meist die Indikation der Eutrophierung von Seen im Vordergrund stand (Fittkau et al. 1992; Brodersen, Dall & Lindegaard 1998).

In Sanierungskonzepten für Seen wurden in der Vergangenheit Beeinträchtigungen des strukturellen Zustands der Uferzone nur in Einzelfällen berücksichtigt. Durch den zunehmenden Nutzungsdruck auf Seen und Ufergrundstücke wird jedoch vielerorts stärker in die Uferzonen eingegriffen, wobei nun auch bislang wenig beanspruchte Regionen betroffen sind (Walz, Brüggemann & Ostendorp 2002). Zurzeit gibt es allerdings keine landes- oder bundesweiten Erhebungen des strukturellen Beeinträchtigungsgrads der Seeufer und mögliche Beeinträchtigungen des in den Flachwasserzonen von Seen (nachfolgend Eulitoral genannt) lebenden Makrozoobenthos blieben bei Bewertungsverfahren weitgehend unberücksichtigt (Walz, Brüggemann & Ostendorp 2002; Schmieder 2004). Frühere eigene Arbeiten der Autoren zeigten, dass das Makrozoobenthos des Eulitorals eine starke Bindung zur Uferstruktur aufweist, so dass es als Indikator des strukturellen Zustands der Uferzone potenziell geeignet ist (Brauns et al. 2007a, b). Auf Basis dieser Arbeiten wurde am Leibniz-Institut für Gewässerökologie und Binnenfischerei (IGB) ein Verfahren entwickelt, das die ökologischen Auswirkungen hydromorphologischer Beeinträchtigungen der Seeufer anhand des litoralen Makrozoobenthos bewertet. Der entwickelte Bewertungsansatz enthält zwei Module, nämlich die Bewertung des ökologischen Zustandes auf Basis der Präsenz typischer Habitatstrukturen (struktureller Teil) sowie die darauf angetroffenen Makrozoobenthos-Gemeinschaft (biozönotischer Teil). Erste Anwendungen dieses Verfahrens an 10 schleswig-holsteinischen Seen zeigten, dass der dem strukturell-biozönotischen Bewertungsverfahren zugrundeliegenden Algorithmus prinzipiell geeignet ist, den Zustand der untersuchten Seen anzulegen (Brauns, Garcia & Pusch 2008). Der strukturelle Bewertungsteil des Verfahrens folgte dabei weitgehend dem angetroffenen morphologischen Zustand, wogegen die biozönotische Bewertung meist in einer schlechteren Einstufung resultierte.

Für eine WRRL-konforme Bewertung des ökologischen Zustands von Seen muss eine Bewertung mit aus der Makrozoobenthos-Gemeinschaft abgeleiteten Kenngrößen

durchgeführt werden. Vor diesem Hintergrund war der strukturelle Teil des IGB Verfahrens nicht zielführend, so dass eine grundlegende Überarbeitung notwendig wurde.

Im biozönotischen Teil des IGB Verfahrens wurde bisher über die Präsenz von habitatspezifischen Indikatorarten der Zustand von an einer Probestelle vorkommenden Habitate bewertet. Allerdings fehlt diesem Verfahrensschritt eine stressorspezifische Ausrichtung, da das Fehlen von Indikatorarten auf mehrere anthropogene Beeinträchtigungen zurückzuführen sein kann, wie z.B. Eutrophierung, Wellenschlag oder das Vorkommen von Neozoa.

Eine weitere, bei der Bewertung von Seen mit dem Makrozoobenthos relevante Fragestellung bezieht sich auf das Indikationspotential der von als Larven besammelten litoralen Chironomidae (Zuckmücken). In der bisherigen Bewertungspraxis blieben Chironomidae meist unberücksichtigt, wobei als Begründung häufig der taxonomische Mehraufwand der Determination dieser Familie auf Artniveau angeführt wurde. Allerdings fehlen sowohl auf nationaler, als auch auf internationaler Ebene Studien, die zeigen, inwiefern auf das bestmögliche taxonomische Niveau bestimmte Chironomidae das Bewertungsergebnis verbessern.

Ziel des vorliegenden Berichtes war es, anhand von in 2009 erhobenen Daten aus sieben schleswig-holsteinischen Seen sowie der in 2008 erhobenen Daten für 10 schleswig-holsteinischen Seen a) die Bewertungseignung von Chironomidae auf Artniveau zu prüfen, b) das IGB Bewertungsverfahren grundlegend zu überarbeiten sowie die Seen erneut zu bewerten, und c) zu analysieren, ob eine aussagekräftige Bewertung des ökologischen Zustands von Seen auch mit weniger als acht Probestellen möglich ist.

2 Methodik

2.1 Datenerhebung

Das eulitorale Makrozoobenthos des Belauer Sees, Bornhöveder Sees, Großensees, Schmalensees, Selenter See, Stocksee und Stolpeseen wurde im Zeitraum vom 22.04.2009 bis 11.05.2009 durch - in Absprache mit dem Auftraggeber - Herrn Dr. Claus-Joachim Otto nach Vorgabe der „Vorschrift für die standardisierte Probenahme des biologischen Qualitätselementes Makrozoobenthos im Litoral von Seen“ erhoben (Brauns, Garcia & Pusch 2009). Dazu wurden in jedem der zu untersuchenden Seen Proben von acht Probestellen genommen (Anhang 1), die so gewählt wurden, dass der Anteil der vorhandenen Uferstrukturtypen „Badestelle“, „Steganlagen“, „Steinschüttung“, „Spundwand“ und „natürliches Ufer“ prozentual abgedeckt war. Zur Festlegung der Anzahl an Probestellen auf die Uferstrukturtypen wurden aktuelle Strukturgütekartierungen (Gr. Plöner See), sowie Satellitenbilder (Google Earth) genutzt. Anhand der prozentualen Anteile der fünf Uferstrukturtypen wurde die Anzahl der zu beprobenden repräsentativen Probestellen je Uferstrukturtyp ermittelt (Anhang 1).

Die tatsächliche Anzahl an Probestellen wurde bei der Begehung den realen Gegebenheiten angepasst, da diese teilweise etwas von den aus Karten und Satellitenbildern zu entnehmenden Informationen abwichen.

Die Länge der zu beprobenden Uferzone je Probestelle entsprach bei Uferverbau und Badestellen deren tatsächlicher Länge, an natürlichen Ufern wurde eine Strecke von 20 - 50 m Länge beprobt.

Die Probenahmen des Makrozoobenthos erfolgten in einer Wassertiefe von 0,1 – 1,2 m und umfasste somit die ökologischen Uferzonen des Eu- und Infralitorals. Nach Festlegung der Verteilung der Probestellen auf die fünf Uferstrukturtypen im Gelände wurden an jeder Probestelle alle vorkommenden Habitate getrennt voneinander beprobt. Wie in Brauns, Garcia & Pusch (2009) beschrieben, wurde jedes vorkommende Habitat mit gleicher Intensität besammelt, wobei darauf geachtet wurde, dass die gesammelte Fläche je Habitat $0,25 \text{ m}^2$ nicht über- bzw. unterschritt. Zusätzlich dazu wurden die Probestelle und Habitate charakterisierende Parameter erfasst (Anhang 1).

Weiterhin wurden für die bereits in 2008 erhobenen Seen (Dieksee, Großer Eutiner See, Großer Küchensee, Großer Plöner See, Großer Ratzeburger See, Kellersee, Lanker See, Schöhsee, Stendorfer See, Suhrer See) die Familie der Sphaeriidae und Chironomidae taxonomisch bis auf das kleinstmögliche Niveau bestimmt. Da sich die Datenbasis für diese Seen damit von der in 2008 ausgewerteten unterscheidet, wurden alle nachfolgenden Analysen mit den vollständigen Makrozoobenthos Daten aus 2008 und 2009 ($N = 17$ Seen) durchgeführt.

2.2 Statistische Methoden der Datenauswertung

2.2.1 Allgemeine Charakterisierung des Arteninventars

Basierend auf den Daten der Probestellen an natürlichen Ufern der insgesamt 17 Seen wurde die Artenzahl, Artenzusammensetzung sowie für die Seen charakteristische Arten ausgewertet. Die Artenzahl wurde mittels einfaktorieller Varianzanalyse (ANOVA, paarweise Vergleiche mittels Scheffé's Post-hoc Tests) auf signifikante Unterschiede zwischen den Seen geprüft. Für den Vergleich der Artenzusammensetzung der Seen wurde eine Korrespondenzanalyse (CA) (Between-class correspondance analysis, ADE, Version 2001, Lyon, Frankreich) durchgeführt, die auf den Daten der Probestellen an natürlichen Ufern basierte. Die für die Analysen notwendige Normalverteilung und Varianzhomogenität wurde durch Shapiro-Wilk- und Levenè-Tests (SPSS, Version 17, SPSS Inc., Chicago, U.S.A.) geprüft und bei Abweichung durch $\log(x+1)$ -Transformierung angenähert. Anhand einer Indikatorartenanalyse (IndVal, PCORD, Version 4.25, MjM Software, Glenden Beach, U.S.A.) wurde untersucht, welche für die Seen charakteristischen Arten die faunistischen Unterschiede zwischen den Seen bedingten.

2.2.2 Bewertungseignung der Chironomidae

Mit dieser Auswertung wurde geprüft, inwiefern mit Chironomidae auf Artniveau eine bessere Trennung zwischen degradierten und natürlichen Probestellen erreicht wird als mit Chironomidae auf höheren taxonomischen Niveaus.

Dazu wurden nur die Seen verwendet, die mindestens eine degradierte Stelle aufwiesen ($N = 11$ Seen). Für jeden See wurde zu jeder degradierten Probestelle (Badestelle, Steganlage, Steinschüttung) eine dazugehörige natürliche Probestelle ausgewählt. Für den statistischen Vergleich wurden als Zielgrößen die Artenzusammensetzung, sowie die funktionellen Ernährungstypen verwendet.

Für den Vergleich der Artenzusammensetzung zwischen degradierten und natürlichen Probestellen wurde für jede Stelle eine Artenmatrix erzeugt, die neben dem Makrozoobenthos die Chironomidae in folgenden - nachträglich durch Aggregation erzeugten - taxonomischen Auflösungen enthielt:

- Chironomidae auf dem kleinstmöglichen Niveau (nachfolgend als Artniveau bezeichnet)
- Chironomidae auf Tribus-Niveau
- Chironomidae auf Unterfamilien-Niveau
- Chironomidae auf Familien-Niveau
- Makrozoobenthos ohne Chironomidae.

Für jedes dieser taxonomischen Niveaus wurde anschließend die Bray-Curtis Unähnlichkeit zwischen natürlichen und degradierten Probestellen berechnet (PRIMER, Version 6, Primer-E Ltd., Plymouth, U.K.). Die Bray-Curtis Unähnlichkeit (Bray-Curtis dissimilarity) ist ein Maß für die relative faunistische Unähnlichkeit zwischen Probestellen und erreicht Werte zwischen 0 (keine Unähnlichkeit) bis 100 (hohe Unähnlichkeit). Die Bray-Curtis Unähnlichkeit zwischen natürlichen und degradierten Ufern bei unterschiedlicher taxonomischer Auflösung der Chironomidae wurde anschließend mittels gepaarter T-Tests (SPSS, Version 17) statistisch verglichen. Die dem Test zugrundeliegende Annahme war, dass wenn Chironomidae auf Artniveau eine bessere Trennung zwischen natürlichen und degradierten Ufern ermöglichen, dann muss der faunistische Unterschied zwischen natürlichen und degradierten Ufern bei Chironomidae auf Artniveau signifikant größer sein als bei allen anderen taxonomischen Niveaus.

Als zweite Zielgröße wurde die Individuendichte der funktionellen Ernährungstypen zwischen natürlichen und degradierten Ufern bei unterschiedlichem taxonomischem Niveau der Chironomidae verglichen. Die funktionellen Ernährungstypen wurden als Zielgröße herangezogen, da diese sehr häufig zur Bewertung anthropogener Beeinträchtigungen verwendet werden (Meier et al. 2006, Zenker, Baier & Böhmer 2006).

Allerdings sind Chironomidae je nach taxonomischem Niveau unterschiedlichen Ernährungstypen zugeordnet (Tabelle 1), so dass unterschiedliche Einstufungen in die Ernährungstypen potentielle Auswirkungen auf die Unterschiede zwischen natürlichen und degradierten Ufern haben können.

Tabelle 1: Zuordnung zu den funktionellen Ernährungstypen bei unterschiedlicher taxonomischer Auflösung von *Glyptotendipes pallens* (Meigen, 1804). Die Daten wurden der „Freshwater Ecology“ Datenbank (www.freshwaterecology.info) entnommen.

	<i>Glyptotendipes pallens</i>	Chironomini	Chironominae ¹	Chironomidae
Filtrierer, aktiv	6			2
Parasiten				1
Räuber				1
Sedimentfresser	1	10		3
Weidegänger	2			2
Zellstecher	1			1

¹ keine Zuordnung zu den Ernährungstypen

Daher wurden für alle Probestellen die funktionellen Ernährungstypen bei den oben erwähnten taxonomischen Auflösungen der Chironomidae errechnet. Nachfolgend wurden die daraus resultierenden Individuendichten der Ernährungstypen zwischen natürlichen und degradierten Ufern mittels gepaarter T-Tests miteinander verglichen (SPSS, Version 17). Hiermit sollte geprüft werden, dass wenn die taxonomische Auflösung der Chironomidae die Individuendichte der Ernährungstypen beeinflusst, dann sollte der Unterschied der Individuendichte der Ernährungstypen bei Chironomidae auf Artniveau zwischen natürlichen und degradierten Ufern signifikant von der Individuendichte der Ernährungstypen der anderen taxonomischen Niveaus verschieden sein.

2.2.3 Validierung des IGB Bewertungsverfahrens

Das bisherige IGB Bewertungsverfahren war in einen strukturellen Teil und in einen biozönotischen Teil untergliedert. Insbesondere der strukturelle Teil entsprach nicht den Vorgaben der WRRL, da nicht über die Makrozoobenthos-Zönose, sondern über das Vorkommen von *a priori* gewichteten Habitaten bewertet wurde.

Der biozönotische Teil des Verfahrens bewertete den Zustand anhand von habitatspezifischen Indikatorarten, wobei deren Nichtvorkommen jedoch nicht in Verbindung mit einem spezifischen Stressor gebracht wurde. Diese unspezifische Herangehensweise würde dazu führen, dass ein das Makrozoobenthos beeinträchtigender Stressor zwar indiziert wird, es aber unklar bleibt, welcher spezifische Stressor das ist und wie dieser durch geeignete Managementmaßnahmen so modifiziert werden kann, dass der gute ökologischen Zustand wieder hergestellt wird.

Daher wurde das IGB Verfahren grundlegend überarbeitet, um eine WRRL konforme Bewertung zu erreichen. Das neue IGB Verfahren „Ecological assessment of

hydromorphological alterations in lakes" (HYDRA-LAKE) ist in drei Kernmodule sowie ein Zusatzmodul unterteilt, die den hydromorphologisch-strukturellen Zustand (Modul Struktur), den hydrodynamischen Zustand (Modul Hydrodynamik), den trophischen Zustand (Modul Trophie) sowie den Zustand bezüglich der Besiedlung mit invasiven Arten (Zusatzmodul Neozoa) bewerten.

Die Module „Trophie“ und „Hydrodynamik“ befinden sich derzeit noch in Entwicklung und sollen im Rahmen des Endberichtes zum LAWA finanzierten Projektes „*Entwicklung einer validierbaren u. interkalibrierbaren Methode zur Bewertung von Seen mittels Makrozoobenthos*“ genauer dargestellt werden. Im Folgenden sollen daher die Entwicklung sowie die zugrundeliegenden Überlegungen der Module „Struktur“ und „Neozoa“ detailliert erläutert werden.

2.2.3.1 Entwicklung des Moduls Struktur

Ziel des Moduls Struktur ist die Bewertung des hydrodynamisch-strukturellen Zustands, d. h. der ökologischen Wirkungen einer durch strukturelle Degradation verursachte Reduktion der Vielfalt an litoralen Habitaten. Dazu wurde ein multimetrischer Index entwickelt, der die von der WRRL geforderten Aussagen über die „Zusammensetzung und Abundanz der Taxa“, den „Anteil störungsempfindlicher und robuster Taxa“ sowie den „Grad der Vielfalt“ innerhalb der Makrozoobenthos-Zönose ermöglicht.

Faunistische und abiotische Datenbasis

Die verwendete faunistische Datenbasis bildeten die im Rahmen der in 2008 und 2009 erhobenen Makrozoobenthos Daten von 136 Probestellen an 17 schleswig-holsteinischen Seen. Der große Vorteil dieser Daten bestand darin, dass diese Daten einheitlich erhoben und von den gleichen Bearbeitern taxonomisch determiniert wurden, so dass die durch unterschiedliche Probenahmemethoden und Bearbeiter entstehende Variabilität minimal ist. Weiterhin deckten diese Daten den gesamten Gradienten der strukturellen Degradation von natürlichen Stellen bis zu stark überformten Badestellen ab. Nicht-heimische bzw. invasive Arten wurden aus dieser Datenbasis entfernt, da deren Vorkommen eine Form der anthropogenen Beeinträchtigung darstellt, die separat über das Modul „Neozoa“ bewertet werden soll.

Weiterhin wurden bei der Datenerhebung strukturelle Begleitparameter erhoben, die zur Vorklassifikation der Probestellen bezüglich des strukturellen Zustands herangezogen wurden. Frühere Analysen zeigten, dass die Habitat heterogenität eine der zentralen Steuergrößen des litoralen Makrozoobenthos' ist und dass sich jegliche Modifikation direkt auf Zusammensetzung und Funktion des Makrozoobenthos auswirkt (Brauns et al. 2007a, b). Zur Vorklassifikation des strukturellen Zustands wurde daher die an einer Probestelle vorkommende Anzahl an Habitaten verwendet. Da für das

Makrozoobenthos nicht nur das Vorkommen von Habitaten sondern auch deren räumliche Komplexität entscheidend ist, wurde eine Gewichtung durchgeführt, bei der räumlich komplexe Habitate höher gewichtet wurden als räumlich homogene Habitate (Tabelle 2).

Tabelle 2: Gewichtungsfaktoren für die Habitate zur Berechnung der gewichteten Habitatvielfalt.

Habitat	Gewichtungsfaktor
Wurzeln, Schilf	3
Steine, Totholz	2
Sand	1

Anschließend wurde für jede Probestelle die gewichtete Habitatvielfalt als Summe der vorkommenden Habitate, multipliziert mit deren Gewichtungsfaktor errechnet.

Identifikation der Kandidatenmetrics

Für jede Probestelle wurden mit der PERLODES-Software zahlreiche Metrics berechnet. Die daraus resultierenden Metriclisten wurden um die Metrics reduziert;

- die ausdrücklich zur Indikation der organischen Belastung entwickelt wurden (z.B. Saprobenindex)
- die nicht auf das litoralen Makrozoobenthos zutrafen (z.B. Strömungspräferenzen)
- die relative Abundanz von Großgruppen beschreiben, die nur in sehr wenigen Probenahmen vertreten sind (z. B. prozentualer Anteil Plecoptera).

Jeder Metric wurde einem Metric-Typ zugeordnet, die den in der WRRL, Annex V genannten Kriterien entsprechen: „Zusammensetzung und Abundanz“, „Vielfalt und Diversität“, „Störungsempfindliche Taxa“ und „funktionale Metrics“. Diese Einteilung ermöglichte eine Gruppierung der Metrics gemäß ihrer ökologischen Aussagequalität. Die so errechneten Metrics wurden im Anschluss einzeln mit dem vorklassifizierten strukturellen Zustand (gewichtete Habitatvielfalt) korreliert (Spearman-Rang Korrelation, SPSS, Version 17), um diejenigen Metrics (Kandidatenmetrics) zu ermitteln, die sich besonders gut für eine Bewertung des strukturellen Zustands eigneten. Als Auswahlkriterium diente dabei der Korrelationskoeffizient und es wurden nur die Metrics ausgewählt, die besonders hoch und signifikant mit der gewichteten Habitatvielfalt korreliert waren. Weiterhin wurden zur Vermeidung von Redundanzen nur Metrics ausgewählt, die unkorreliert mit anderen Metrics waren (Spearman's $\rho < 0,8$). Auf dieser Weise wurden 12 Kandidatenmetrics ausgewählt (Tabelle 3).

Tabelle 3: Übersicht über die Kandidatenmetrics des Moduls „Struktur“, sowie deren Spearman-Rang Korrelationskoeffizient mit der gewichteten Habitatvielfalt (** $P < 0,01$, * $P < 0,05$).

Metrictyp	Metric	Gewichtete Habitatvielfalt
Funktion	Holzfresser [%]	0,33**
	POM Bewohner [%]	0,31**
	Zerkleinerer [%]	0,38**
Störungsempfindliche Taxa	Artenzahl Coleoptera	0,33**
	Elmidae [% von Coleoptera]	0,31*
Vielfalt, Diversität	Artenzahl Ephemeroptera	0,51**
	Artenzahl Trichoptera	0,40**
	Fisher Diversität	0,68**
	Coleoptera + Odonata [%]	0,35**
Zusammensetzung, Abundanz	Crustacea [%]	0,44**
	Odonata [%]	0,32**

Standardisierung der Klassengrenzen und Auswahl der Kernmetrics

Da die Kandidatenmetrics teilweise unterschiedlich skaliert waren, wurden diese zur weiteren Verrechnung auf einen Wertebereich von 0 (niedrigster Wert, unterer Ankerpunkt) bis 1 (höchster Wert, oberer Ankerpunkt) bezogen. Oberer und unterer Ankerpunkt wurden für jeden der Kandidatenmetrics einzeln ermittelt, wofür aus allen Werten des Kandidatenmetrics ($N = 136$) das 95 %-Perzentil (oberer Ankerpunkt) und das 5 %-Perzentil (unterer Ankerpunkt) ermittelt wurde (siehe Meier et al. 2006). Anschließend wurde jeder Kandidatenmetric unter Verwendung der Ankerpunkte in einen Wert zwischen „0“ und „1“ umgewandelt.

Mit den so skalierten 12 Metrics wurden alle möglichen Metric-Kombinationen getestet, um den am besten geeigneten multimetrischen Index (MMI) auszuwählen. Dabei wurde festgelegt, dass der finale MMI mindestens einen Metric aus den von der WRRL geforderten Metric-Typen enthalten sollte. Zur Ermittlung der Kernmetrics und damit des finalen MMI's Metric-Kombination ($N = 2206$, siehe Anhang 2 auf der beigefügten CD) mit der gewichteten Habitatvielfalt korreliert und derjenige ausgewählt, der am höchsten mit der gewichteten Habitatvielfalt korreliert war (Tabelle 4).

Tabelle 4: Kernmetrics des Moduls „Struktur“ und deren oberer und unterer Ankerpunkt. Metric-Typen sind: F = Funktion, S = Störungsempfindliche Taxa, V = Vielfalt/Diversität, Z = Zusammensetzung und Abundanz

MetricTyp	Metric	Ankerpunkt	
		Unterer	Oberer
F	POM Bewohner [%]	2,1	15,9
	Zerkleinerer [%]	0,6	24,6
S	# Coleoptera	0,0	4,0
	# Ephemeroptera	0,0	5,0
V	# Trichoptera	1,0	10,0
	Fisher Diversität	3,1	15,7
Z	Odonata [%]	0,0	1,5

Der ausgewählte MMI bildet das Modul „Struktur“ und besitzt die auch in den anderen Bewertungsverfahren festgelegten Klassengrenzen (Tabelle 5).

Tabelle 5: Klassengrenzen des multimetrischen Index (MMI) und die dazugehörigen Zustandsklassen des Moduls Struktur.

Strukturelle Zustandsklasse	Klassengrenze des MMI
Sehr gut	> 0,8
Gut	> 0,6 - 0,8
Mäßig	> 0,4 - 0,6
Unbefriedigend	> 0,2 - 0,4
Schlecht	≤ 0,2

Mit dem finalen MMI des Moduls „Struktur“ wurden alle Probestellen im Anschluss bewertet und deren strukturelle Zustandsklasse ermittelt.

Berechnung der strukturellen Zustandsklasse des gesamten Sees

Die strukturelle Zustandsklasse des gesamten Sees (K_{See}) errechnet sich als Mittel aus der strukturellen Zustandsklasse jeder Probestelle (K_{Stelle}) gewichtet mit der Anzahl des Uferstrukturtyps (N_{Typ}) zu dem die Probestelle gehört wie folgt:

$$K_{See} = \frac{\sum K_{Stelle} \times N_{Typ}}{\sum N_{Typ}}$$

2.2.3.2 Entwicklung des Zusatzmoduls Neozoa

Aquatische nichtheimische Arten (Neozoa) stellen eine zunehmende Beeinträchtigung für das Makrozoobenthos dar (Nehring 2009). Insbesondere die invasiven Amphipoda wie z.B. *Dikerogammarus villosus* sind durch ihre ausgeprägte Konkurrenzstärke in der Lage, die heimische Makrozoobenthos-Gemeinschaft durch Prädation oder Verdrängung zu verändern.

Die Ausbreitung von Neozoa erfolgt überwiegend anthropogen durch die Schifffahrt, so dass es sich bei den Neozoa um eine Form der anthropogenen Beeinträchtigung von aquatischen Ökosystemen handelt, die durch ein Bewertungsverfahren erfasst und bewertet werden muss.

Daher wurde im Zuge der Überarbeitung des IGB Verfahrens das Modul „Neozoa“ entwickelt, mit dem eine Bewertung des ökologischen Zustands bezüglich der Besiedlungsdichte mit Neozoa möglich ist.

Ein großes Problem dieser Form der anthropogenen Beeinträchtigung ist, dass aquatische Neozoa nach erfolgreicher Etablierung kaum wieder aus dem Ökosystem entfernbare sind, so dass es keine Managementmaßnahmen gibt, die den „guten Zustand“ bezüglich der Besiedlung mit Neozoa wieder herstellen könnten. Da bei modulartig aufgebauten Bewertungsverfahren (wie das neue IGB-Verfahren) immer das Modul mit der schlechtesten Bewertung die Bewertung des ökologischen Gesamtzustands vorgibt, würde das bedeuten, dass ein See bei Neozoa-Dominanz immer nur den schlechten ökologischen Zustand erreichen würde, auch wenn keine weiteren Beeinträchtigungen vorliegen. Daher ist das Modul „Neozoa“ als Zusatzmodul konzipiert, das nur den aktuellen Zustand anzeigen und nicht in die Gesamtbewertung einfließen soll, da sich daraus keine Handlungsmaßnahmen zur Verbesserung des Zustands ableiten lassen.

Datenbasis

Zur Entwicklung des Zusatzmoduls wurden nur Probestellen verwendet, die nicht durch strukturelle Degradation beeinträchtigt waren. Diese Auswahl war notwendig, da die Etablierung von Neozoa in Seen meist zuerst an strukturell stark degradierten Stellen wie z.B. Spundwänden stattfindet, so dass an solchen Stellen schon Dominanzpopulationen aufgebaut werden können, auch wenn die natürlichen Stellen im See noch nicht von Neozoa besiedelt sind. Anhand dieses Kriteriums wurden 106 Stellen ausgewählt. Zusätzlich dazu wurden fünf natürliche Probestellen aus Berliner und Brandenburger Flusseen (Müggelsee, Plauer See, Oberhavel, Tegeler See, Unterhavel) einbezogen, da diese Seen bereits nahezu vollständig durch Neozoa besiedelt sind und somit den „worst case“ darstellen. Das Zusatzmodul ist wiederum als multimetrischer Index aufgebaut, wobei die Kernmetrics diejenigen Großgruppen widerspiegeln, zu denen der Großteil der invasiven Arten gehört (Tabelle 5). Für jeden Kernmetric wurden aus den Werten aller Probestellen der obere Ankerpunkt (95 %-Perzentil) und der unter Ankerpunkt (5 %-Perzentil) berechnet (Tabelle 6). Im Anschluss wurde jeder Kernmetric unter Verwendung der Ankerpunkte auf den Wertebereich von „0“ und „1“ normiert.

Tabelle 6: Kernmetrics des Moduls „Neozoa“ und deren unterer und oberer Ankerpunkt.

	Ankerpunkt	
	Unterer	Oberer
% Neozoa Bivalvia an Bivalvia	0,0	100,0
% Neozoa Crustacea an Crustacea	0,0	100,0
% Neozoa Gastropoda an Gastropoda	0,0	96,5
% Neozoa Turbellaria an Turbellaria	0,0	50,0

Berechnung der Zustandsklasse der Probestellen und des Sees

Zur Berechnung des multimetrischen Indexes einer Probestelle wurde der arithmetische Mittelwert der normierten vier Kernmetrics gebildet. Die Zustandsklasse wurde dann mit den aus Tabelle 5 ersichtlichen Klassengrenzen bestimmt. Zur Berechnung des multimetrischen Indexes des gesamten Sees wurde zunächst der arithmetische Mittelwert eines jeden normierten Kernmetrics errechnet. Aus den so gemittelten Einzelwerten der Kernmetrics wurde dann der Mittelwert über alle Kernmetrics berechnet, der den multimetrischen Index des gesamten Sees darstellt. Dieser wurde dann wiederum mit den Klassengrenzen den Zustandsklassen zugeordnet.

Abschließend wurden alle Probestellen und Seen mit dem Modul „Struktur“ und „Neozoa“ bewertet.

2.2.4 Mindestanzahl an Probestellen

Mit dieser Analyse wurde geprüft, ob eine repräsentative Bewertung des ökologischen Zustands eines Sees auch mit weniger als den derzeit vorgeschrieben acht Probestellen möglich ist. Dazu wurden die Zielgrößen Artenzusammensetzung und die Ergebnisse des Moduls „Struktur“ des IGB-Bewertungsverfahrens verwendet.

Bei der Analyse der Zielgröße Artenzusammensetzung wurde sich auf diejenigen Seen beschränkt, die keinerlei degradierte Probestellen aufwiesen (Belauer See, Eutiner See, Schmalensee, Stendorfer See, Stocksee). Für jeden See wurde zunächst eine Gesamtsee-Artenmatrix erstellt, die aus der Summe der Individuendichte aller acht Probestellen resultierte. Danach wurde für jeden See Artenmatrizen erstellt, bei denen schrittweise eine Probestelle ausgelassen wurde, bis die theoretische Gesamtsee-Artenmatrix nur noch aus einer Probestelle bestand. Damit das Auslassen von Probestellen nicht willkürlich erfolgte, wurden Artenmatrizen für alle möglichen Kombinationsmöglichkeiten je Probestellenzahl ($N = 255$ je See) erstellt.

Anschließend wurde für jede Kombinationsmöglichkeit die Bray-Curtis Ähnlichkeit zur tatsächlichen Gesamtsee-Artengemeinschaft mit acht Probestellen errechnet. Diese Ergebnisse wurden in Form von Boxplots dargestellt, die die abnehmende faunistische Ähnlichkeit mit abnehmender Anzahl an Probestellen darstellen.

Mit der Analyse der zweiten Zielgröße, dem überarbeiteten Modul „Struktur“, sollte getestet werden, inwiefern die ökologische Seenbewertung mit weniger als acht Probestellen von der mit acht Probestellen abweicht. Dazu wurden Seen verwendet, die mindestens eine verbaute Stelle aufweisen sowie eine Zustandsklasse, gemäß des überarbeiteten Moduls „Struktur“, von ≥ 3 aufwiesen (Dieksee, Großensee, Selenter See). Nachfolgend wurde die ökologische Zustandsklasse eines jeden Sees für alle Kombinationen je Anzahl an Probestellen ($N = 126$) errechnet, wobei nur die Kombinationen berücksichtigt wurden, die mindestens eine verbaute Stelle enthielten.

3 Ergebnisse und Diskussion

3.1 Charakterisierung des Arteninventars

Im Rahmen der Untersuchungen wurden an den 17 Seen an insgesamt 136 Probestellen 378 habitatspezifische Proben von einer Fläche von insgesamt $81,5 \text{ m}^2$ genommen. Dabei wurden 322.473 Individuen gezählt und bestimmt und es konnten 216 Arten bzw. höhere Taxa des Makrozoobenthos aus 149 Gattungen, 64 Familien und 17 Großgruppen nachgewiesen werden (Anhänge 3-19). Das eulitorale Makrozoobenthos war – alle untersuchten Seen zusammen betrachtet – zu 31 % durch Zweiflügler (Diptera) dominiert, wobei die Chironomidae mit 97 % den Hauptteil aller Individuen der Diptera stellten. Die Schnecken (Gastropoda) trugen 23 % zur Gesamtindividuendichte bei, wobei die nichtheimische Art *Potamopyrgus antipodarum* mit 52 % mehr als die Hälfte aller Individuen der Gastropoda stellte. Die Insektenordnungen Coleoptera (Wasserkäfer), Ephemeroptera (Eintagsfliegen), Plecoptera (Steinfliegen), Odonata (Libellen) und Trichoptera (Köcherfliegen) besaßen mit zusammen 11 % einen vergleichsweise geringen Anteil an der eulitoralen Zoozönose.

Die Auswertung der Artenzahlen (Mittelwert \pm Standardfehler) der Seen ergab, dass der Stocksee mit 66 (± 2) die höchste und der Kellersee mit 34 (± 4) Arten die geringste Artenzahl aufwies (Abb. 1). Beide Seen unterschieden sich signifikant in ihrer Artenzahl (ANOVA, Scheffé's Post-hoc Test, $P < 0,05$); die Unterschiede in der Artenzahl zwischen den übrigen Seen war nicht signifikant (ANOVA, Scheffé's Post-hoc-Test, $P > 0,05$).

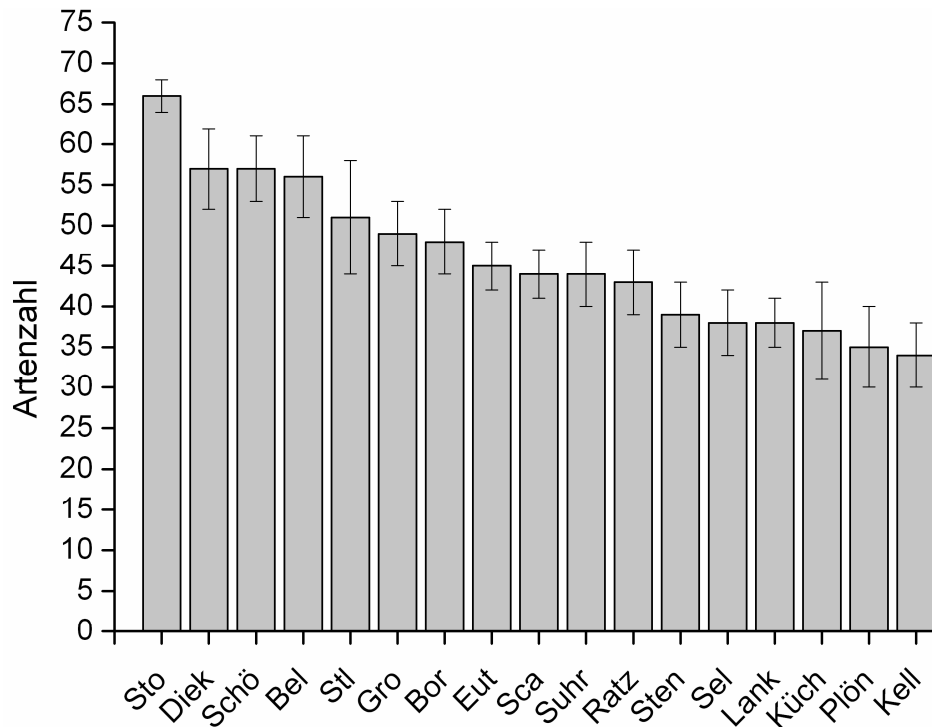


Abb. 1: Artenzahl (Mittelwert + Standardfehler) der untersuchten Seen an den Probestellen an natürlichen Ufern.

Der Vergleich der Artenzusammensetzung der natürlichen Ufer der untersuchten Seen mittels Korrespondenzanalyse (CA) ergab eine weniger klare Trennung der Seen voneinander (Abb. 2). Lediglich die isolierte Lage des Gr. Plöner Sees und des Gr. Ratzeburger Sees im oberen rechten Quadranten des Ordinationsplots deutete auf ein relativ eigenständiges Arteninventar hin.

Als Ursache für das eigenständige Arteninventar des Gr. Ratzeburger Sees wurden durch die Indikatoranalyse mit dem Schlickkrebs *Chelicorophium curvispinum* und mit *Pontogammarus robustoides* (beide Crustacea) zwei typische Neozoa ermittelt, deren Vorkommen offenbar durch die Verbindung des Sees mit einem schiffbaren Gewässer, in diesem Fall der Wakenitz, bedingt ist (Tabelle 7). Für beide Arten ist die Ausbreitung und Besiedlung von Seen über schiffbare Flüsse nachgewiesen (de Vaate et al. 2002). Zumindest *C. curvispinum* scheint sich derzeit noch nicht weiter ausgebreitet zu haben, da der Schlickkrebs im Rahmen dieser Untersuchung aus dem mit dem Gr. Ratzeburger See in Verbindung stehenden Gr. Küchensee nicht nachgewiesen wurde. Damit besitzt der Gr. Ratzeburger See eine Makrozoobenthos-Besiedlung, die insbesondere durch die Neozoenpräsenz von der natürlichen Besiedlung anderer Seen des Seetyps 10 abweicht und eher der Besiedlung des Seetyps 12 („Flusssee“) ähnelt.

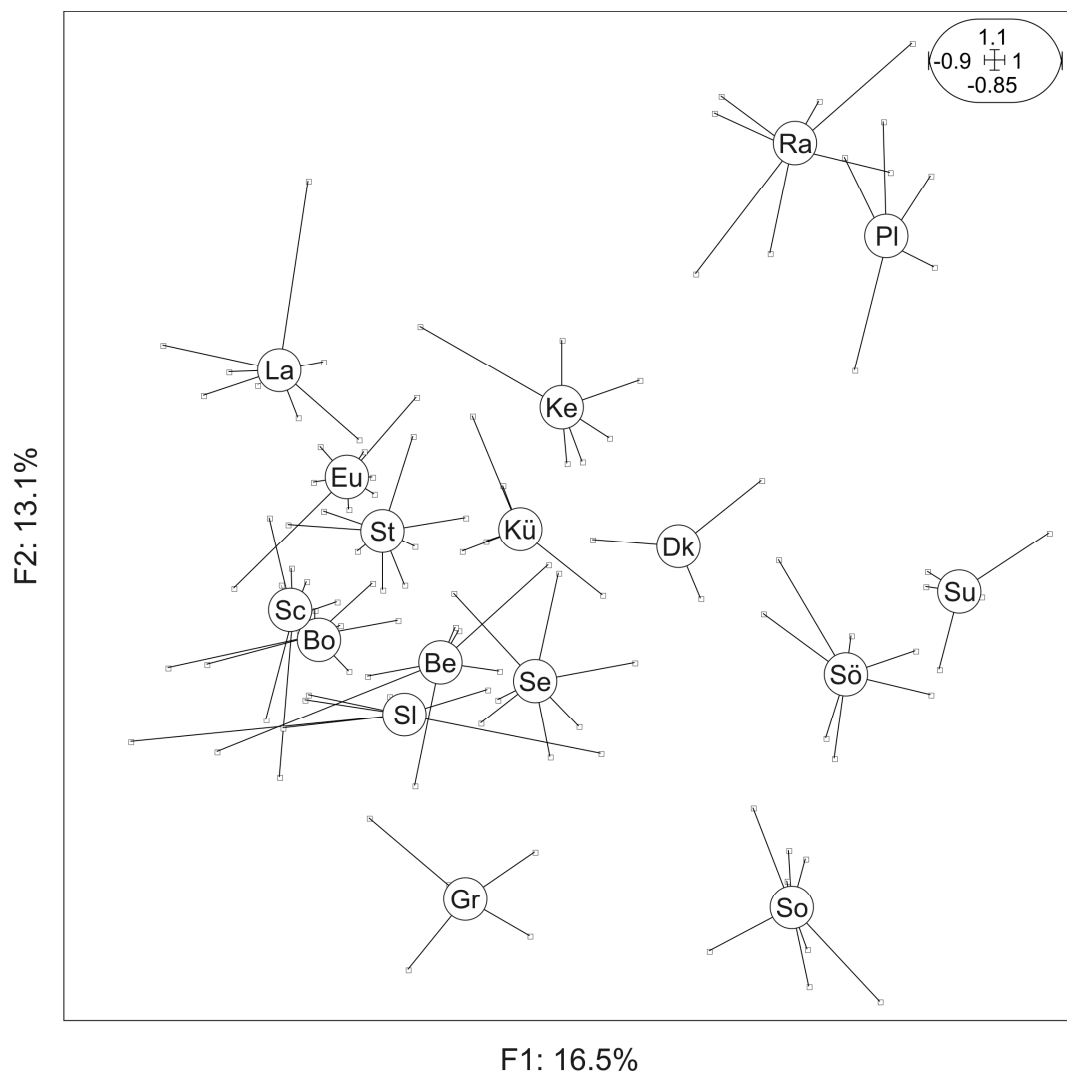


Abb. 2: Ordinationsplot der Korrespondenzanalyse basierend auf Daten der Probestellen an natürlichen Ufern. Die Kreise repräsentieren das Zentrum jedes Sees anhand seines Arteninventars, die Endpunkte der Linien die jeweiligen Probestellen. Kürzel entsprechen: Be=Belauer See, Bo=Bornhöveder See, Dk=Dieksee, Eu=Eutiner See, Gr=Großensee, Ke=Keller See, Kü=Küchensee, La=Lanker See, Pl=Plöner See, Ra=Ratzeburger See, Sl=Schmalensee, Sö=Schöhsee, Se=Selenter See, St=Stendorfer See, St=Stocksee, St=Stolper See, Su=Suhrer See

Tabelle 7: Ergebnisse der Indikatorartenanalyse für die Probestellen an natürlichen und naturnahen Ufern. Es sind jeweils nur die Indikatorarten angegeben, deren Indikatorwert >40 ist.

	Indikatorwert	P
Dieksee		
<i>Orthocladius</i> sp.	86	0.000
Kellersee		
<i>Paratanytarsus</i> sp.	43	0.000
Lanker See		
<i>Orthotrichia</i> sp.	47	0.002
Gr. Plöner See		
<i>Brillia flavifrons</i>	45	0.000
Gr. Ratzeburger See		
<i>Chelicorophium curvispinum</i>	86	0.000
<i>Paratendipes albimanus</i>	71	0.000
<i>Pisidium motessierianum</i>	57	0.000
<i>Pontogammarus robustoides</i>	59	0.001
Schöhsee		
<i>Proasellus meridianus</i>	43	0.001
Suhrer See		
<i>Pisidium liljeborgii</i>	74	0.000
<i>Leptophlebia marginata</i>	48	0.000
<i>Psectrocladius</i> sp.	44	0.000
<i>Haliplus</i> sp.	26	0.001
<i>Potamopyrgus antipodarum</i>	41	0.002
Belauer See		
<i>Polypedilum albicone</i>	50	0.001
Bornhöveder See		
<i>Naididae/Tubificidae</i>	52	0.000
Großensee		
<i>Platycnemis pennipes</i>	40	0.005
Schmalensee		
<i>Bithynia tentaculata</i>	60	0.002
Selenter See		
<i>Gammarus lacustris</i>	59	0.000
<i>Agraylea multipunctata</i>	50	0.001
<i>Erpobdella monostriata</i>	43	0.002
Stocksee		
<i>Epoicocladius flavens</i>	85	0.000
<i>Ephemera vulgata</i>	65	0.000
<i>Oecetis testacea</i>	50	0.000
<i>Clinotanypus nervosus</i>	46	0.000
<i>Prodiamesa olivacea</i>	41	0.000
Stolper See		
<i>Cloeon dipterum</i>	56	0.008

3.2 Bewertungseignung der Chironomidae

3.2.1 Faunistische Ähnlichkeit

In diesem Analyseschritt wurde geprüft, ob die faunistische Unähnlichkeit zwischen natürlichen Ufern und Badestellen, Steganlagen und Steinschüttungen bei Makrozoobenthos mit Chironomidae auf Artniveau signifikant größer ist als bei allen anderen taxonomischen Niveaus, d.h. ob mit den Chironomidae auf Artniveau eine größere Trennschärfe zwischen natürlichen und degradierten Seeufern erreicht werden kann.

Der Vergleich der faunistischen Unähnlichkeiten zwischen natürlichen Ufern und Badestellen zeigte, dass die faunistische Unähnlichkeit mit abnehmender taxonomischer Auflösung abnahm (Abb. 3). So wurde die höchste faunistische Unähnlichkeit mit den auf Artniveau bestimmten Chironomidae erreicht (Abb. 3), während die Unähnlichkeiten bei den Vergleichen mit Chironomidae auf Tribus-, Unterfamilien- und Familienniveau signifikant geringer als bei Chironomidae auf Artniveau war. Im Gegensatz dazu konnte kein signifikanter Unterschied der faunistischen Unähnlichkeiten bei Chironomidae auf Artniveau und dem Makrozoobenthos ohne Chironomidae gefunden werden. Mit dem Makrozoobenthos ohne Chironomidae wurde nur eine um im Mittel 1% geringere faunistische Unähnlichkeit erreicht als mit dem Makrozoobenthos mit Chironomidae auf Artniveau.

Ein ähnliches Muster zeigte der Vergleich zwischen natürlichen Ufern und Steganlagen, bei dem der größte faunistische Unterschied mit den Chironomidae auf Artniveau erreicht wurde, wogegen die faunistischen Unähnlichkeiten bei den Chironomidae mit geringerer taxonomischer Auflösung signifikant und um bis zu 39 % geringer als bei den Chironomidae auf Artniveau (Abb. 3). Wiederum gab es keinen signifikanten Unterschied der faunistischen Unähnlichkeiten zwischen Chironomidae auf Artniveau und dem Makrozoobenthos ohne Chironomidae.

Im Gegensatz dazu konnten keine signifikanten Unterschiede in den faunistischen Unähnlichkeiten zwischen Chironomidae auf Artniveau und den anderen taxonomischen Auflösung beim Vergleich zwischen natürlichen Ufern und Steinschüttungen gefunden werden (Abb. 3). Zwar war die faunistische Unähnlichkeit zwischen natürlichen Ufern und Steinschüttungen bei Chironomidae auf Artniveau am höchsten, allerdings wiesen die Mittelwerte aller paarweisen Vergleiche bei z.B. Chironomidae auf Familienniveau sehr große Standardfehler auf (Abb. 3), da bei zwei Vergleichen mit den Chironomidae auf Familienniveau sogar ein um 12 % größerer faunistischer Unterschied gefunden wurde als bei Chironomidae auf Artniveau. Diese zwei Vergleiche waren das Ergebnis von deutlichen Unterschieden in der Individuendichte der Chironomidae zwischen natürlichen Stellen und Steinschüttungen.

So war die Individuendichte der Chironomidae am Suhrer See an der Steinschüttung 11-fach geringer als an der natürlichen Stelle (Steinschüttung: 240 Ind. m^{-2} vs. Natürliches Ufer: 2524 Ind. m^{-2}), wogegen die Individuendichte der Chironomidae am Gr. Plöner See an der Steinschüttung sogar 39-fach geringer war als an der natürlichen Stelle (Steinschüttung: 50 Ind. m^{-2} vs. Natürliches Ufer: 1956 Ind. m^{-2}). Diese extremen Abundanzunterschiede beeinflussten die Analysen der faunistischen Unähnlichkeiten und führten zu einer deutlichen Trennung zwischen natürlichen und degradierten Ufern bereits bei Chironomidae auf höherem taxonomischem Niveau als das Artniveau.

Zusammenfassend kann festgestellt werden, dass mit dem Makrozoobenthos und Chironomidae auf Artniveau immer eine bessere Trennung der natürlichen von den degradierten Ufern gelang als das mit Chironomidae auf höheren taxonomischen Niveaus der Fall war. Hervorzuheben sind hier die Vergleiche zwischen natürlichen Ufern und Steganlagen, da es sich bei Steganlagen um eine Form der strukturellen Degradation mit mittlerem Beeinträchtigungsgrad handelt. Bei Steganlagen ist die für das litorale Makrozoobenthos entscheidende Habitatheterogenität vergleichsweise weniger stark reduziert, so dass frühere Bewertungen mit dem Makrozoobenthos und Chironomidae auf Familienniveau nicht immer eindeutig waren (Brauns, Garcia & Pusch 2008). Die Ergebnisse zu diesem Vergleich zeigten, dass der faunistische Unterschied zwischen Makrozoobenthos und den auf Artniveau bestimmten Chironomidae um bis zu 39 % höher sein kann als bei fehlender oder geringer taxonomischer Auflösung der Chironomidae. Eine unzureichende taxonomische Auflösung könnte in solchen Fällen also dazu führen, dass trotz bestehender Beeinträchtigung und den damit einhergehenden Veränderungen der Zusammensetzung des Makrozoobenthos keine Unterschiede erkannt und somit auch keine Maßnahmen zur Verbesserung des ökologischen Zustands ergriffen werden würden.

Weiterhin konnte gezeigt werden, dass eine Bewertung der biozönotischen Effekte struktureller Degradation mit Chironomidae auf Familienniveau nur dann zielführend war, wenn die Abundanzunterschiede zwischen natürlichen und degradierten Stellen ausreichend groß waren. Dies war aber nur sehr selten der Fall, da bei allen durchgeföhrten 19 Vergleichen nur in drei Fällen die Individuendichte der Chironomidae an natürlichen Ufern um mehr als 10-fach höher war als an degradierten Ufern. Geringe Abundanzunterschiede der Chironomidae zwischen natürlichen und degradierten Ufern führen vielmehr zu einer statistischer „Homogenisierung“ der Unterschiede, da die Trennschärfe statistischer Tests bei der Betrachtung reiner Abundanzunterschiede wie auf Familienniveau deutlich geringer ist als beim Ausfall bzw. Wechsel von Arten (Abb. 3). Somit wird aufgrund des hohen Anteils der Chironomidae an der Gesamtabundanz des litoralen Makrozoobenthos bei der Verwendung von Chironomidae auf Familienniveau mit deren Abundanz ein Artefakt in die Analyse integriert, das eventuell bestehende Unterschiede überlagern kann.

Aus diesem Grund waren die faunistischen Unterschiede zwischen Makrozoobenthos mit Chironomidae auf Familienniveau immer deutlich geringer als beim Makrozoobenthos ohne Chironomidae (Abb. 3).

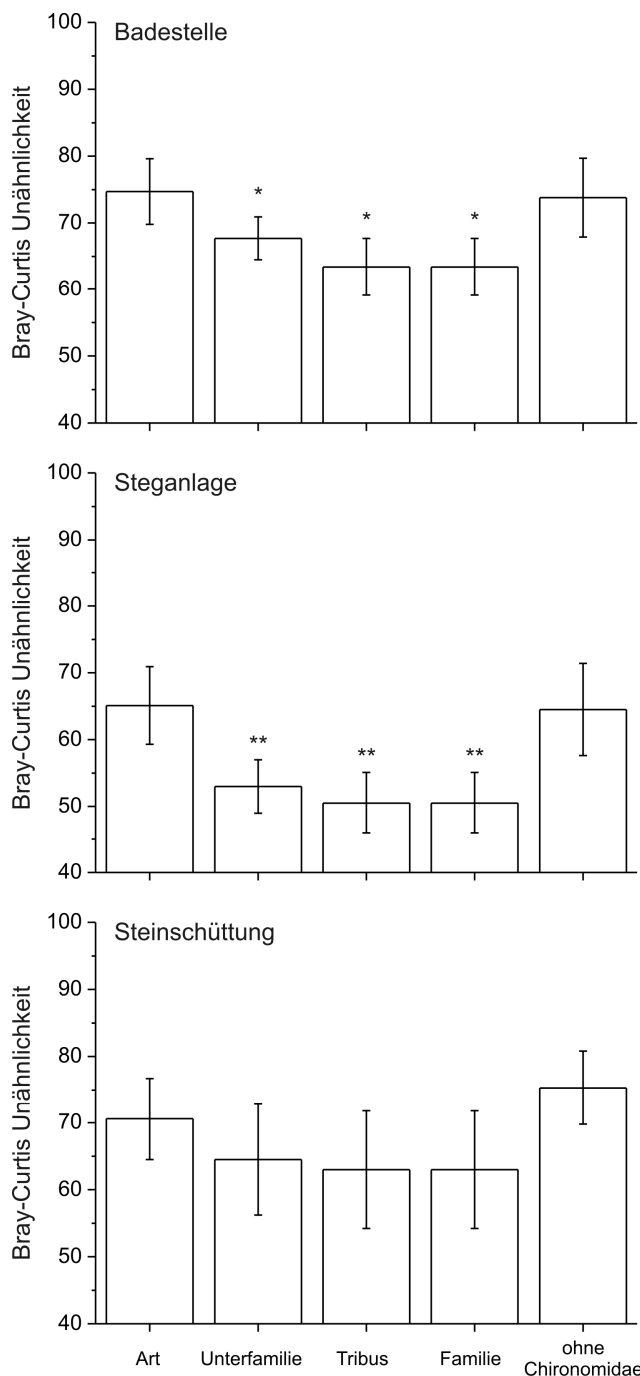


Abb. 3: Vergleich der faunistischen Unähnlichkeiten (Bray-Curtis Unähnlichkeit) von natürlichen Ufern mit Badestellen, Steganlagen und mit Steinschüttungen unter Verwendung des Makrozoobenthos mit Chironomidae auf Artniveau (Art), Unterfamilienniveau, Tribusniveau, Familienniveau sowie dem Makrozoobenthos ohne Chironomidae. Signifikante Unterschiede (Gepaarter T-Test) zwischen Chironomidae auf Artniveau und den höheren taxonomischen Niveaus sind mit Sternchen markiert (** P < 0,01, * P < 0,05).

3.2.1 Funktionelle Ernährungstypen

Anhand der Individuendichten der funktionellen Ernährungstypen wurde analysiert, inwiefern Chironomidae auf taxonomischen Niveaus größer als das Artniveau und deren unterschiedliche Zuordnung zu den Ernährungstypen zu einer Über- oder Unterschätzung des wahren Unterschiedes zwischen natürlichen Ufern und Badestellen, Steganlagen und Steinschüttungen führen. Dabei wurde gestestet, ob der Unterschied der Ernährungstypen bei Chironomidae auf Artniveau zwischen natürlichen und degradierten Ufern signifikant von den Unterschieden der Ernährungstypen der anderen taxonomischen Niveaus verschieden ist.

Tabelle 8: Zusammenfassung der Vergleiche der funktionellen Ernährungstypen zwischen natürlichen und degradierten Ufern bei unterschiedlicher taxonomischer Auflösung der Chironomidae. Angegeben ist der Prozentsatz der Fälle, bei denen sich das Ergebnis von Chironomidae auf Tribus-, Unterfamilien-, Familienniveau sowie ohne Chironomidae vom Ergebnis mit Chironomidae auf Artniveau unterschied. Signifikante Unterschiede (Signifik.) bedeuteten, dass ein signifikanter Unterschied der funktionellen Ernährungstypen zwischen natürlichen und degradierten Stellen nachgewiesen wurde, obwohl mit Chironomidae auf Artniveau kein signifikanter Unterschied bestand. Umgekehrt verhält es sich bei nicht signifikant (Nicht signifik.).

	Tribus		Unterfamilie		Familie		ohne Chironomidae	
	Signifik.	Nicht signifik.	Signifik.	Nicht signifik.	Signifik.	Nicht signifik.	Signifik.	Nicht signifik.
Badestelle	43		43		14	14	43	
Steganlage						29		
Stein-schüttung	14		14				14	

Mit den Tests auf Unterschiede zwischen natürlichen Ufern und Badestellen wurde mit Chironomidae auf größerem taxonomischem Niveau in rund 40 % aller Fälle ein Ergebnis erzielt, das sich vom Ergebnis mit Chironomidae auf Artniveau signifikant unterschied. So wurde mit den Chironomidae auf Tribus- und Unterfamilienlevel in 43 % aller Fälle ein signifikanter Unterschied festgestellt, obwohl bei Chironomidae auf Artniveau kein signifikanter Unterschied nachgewiesen wurde (Tabelle 8). Dies traf hauptsächlich auf die Ernährungstypen aktiver Filtrierer, Zerkleinerer und Räuber, wobei bei letzteren die Differenz der Individuendichte und damit die Stärke des Unterschiedes zwischen natürlichen Ufern und Badestellen um bis zu 5-fach höher war als bei Chironomidae auf Artniveau (Tabelle 9). Dasselbe Muster wurde beim Makrozoobenthos ohne Chironomidae nachgewiesen, die einen signifikanten Unterschied in der Individuendichte der aktiven Filtrierer, Zerkleinerer und Räuber zeigten, obwohl kein signifikanter Unterschied bestand.

Demgegenüber wurden mit den Chironomidae auf Familienniveau bei der Individuendichte der Weidegänger kein signifikanter Unterschied zwischen natürlichen Ufern und Badestellen gefunden, obwohl der Unterschied bei Chironomidae auf Artniveau signifikant war.

Tabelle 9. Gepaarter T-Test der Individuendichte der funktionellen Ernährungstypen zwischen Natürlichen Ufern und Badestellen bei unterschiedlicher taxonomischer Auflösung der Chironomidae. Für jeden Vergleich sind die mittleren Paardifferenzen angegeben. Fett hervorgehobene Paardifferenzen indizieren, dass sich das Ergebnis des Signifikanztests vom Ergebnis des Signifikanztests mit Chironomidae auf Artniveau unterscheidet (** P < 0,001, ** P < 0,01, * P < 0,05, ns = nicht signifikant).

	Bestimmungsniveau Chironomidae				
	Art	Tribus	Unterfamilie	Familie	ohne Chironomidae
Filtrierer Aktiv	-379 ^{ns}	-220*	-218*	-511 ^{ns}	-218*
Filtrierer Passiv	84 ^{ns}	0 ^{ns}	0 ^{ns}	0 ^{ns}	0 ^{ns}
Räuber	-30 ^{ns}	-149*	-138*	-302	-155*
Sedimentfresser	22 ^{ns}	-1540 ^{ns}	-242 ^{ns}	-555 ^{ns}	-116 ^{ns}
Weidegänger	-295 ^{**}	-277 ^{***}	-275 ^{***}	-530^{ns}	-237 ^{**}
Zellstecher	14 ^{ns}	38 ^{ns}	38 ^{ns}	-108 ^{ns}	38 ^{ns}
Zerkleinerer	-317 ^{ns}	-307*	-307*	-307*	-307*

Mit den Tests auf Unterschiede zwischen natürlichen Ufern und Steganlagen wurde mit Chironomidae auf größerem taxonomischem Niveau in rund 6 % aller Fälle ein Ergebnis erzielt, das sich vom Ergebnis mit Chironomidae auf Artniveau signifikant unterschied (Tabelle 8). Dies beruhte auf den Chironomidae auf Familieniveau, mit denen beim Vergleich der Individuendichte der Räuber und Weidegänger zwischen natürlichen Ufern und Steganlagen kein signifikanter Unterschied erbracht wurde, obwohl bei Chironomidae auf Artniveau bei beiden Ernährungstypen ein signifikanter Unterschied bestand (Tabelle 10).

Bei den Tests auf Unterschiede zwischen natürlichen Ufern und Steinschüttungen konnte gezeigt werden, dass der Unterschied in der Individuendichte der Sedimentfresser mit Chironomidae auf Tribus- und Artniveau sowie beim Makrozoobenthos ohne Chironomidae signifikant war, obwohl kein signifikanter Unterschied mit Chironomidae auf Artniveau erbracht wurde (Tabelle 8).

Tabelle 10: Gepaarter T-Test der Individuendichte der funktionellen Ernährungstypen zwischen Natürlichen Ufern und Steganlagen bei unterschiedlicher taxonomischer Auflösung der Chironomidae. Für jeden Vergleich sind die mittleren Paardifferenzen angegeben. Fett hervorgehobene Paardifferenzen indizieren, dass sich das Ergebnis des Signifikanztests vom Ergebnis des Signifikanztests mit Chironomidae auf Artniveau unterscheidet (** $P < 0,01$, * $P < 0,05$, ns = nicht signifikant).

	Bestimmungsniveau Chironomidae				
	Art	Tribus	Unterfamilie	Familie	ohne Chironomidae
Filtrierer Aktiv	1 ^{ns}	-51 ^{ns}	-53 ^{ns}	16 ^{ns}	-51 ^{ns}
Filtrierer Passiv	24 ^{ns}	-1 ^{ns}	-1 ^{ns}	-1 ^{ns}	-1 ^{ns}
Räuber	-182*	-221**	-245*	-172^{ns}	-206*
Sedimentfresser	-22 ^{ns}	-96 ^{ns}	-122 ^{ns}	-66 ^{ns}	-168 ^{ns}
Weidegänger	-179*	-237**	-239**	-193^{ns}	-261**
Zellstecher	-8 ^{ns}	-17 ^{ns}	-17 ^{ns}	17 ^{ns}	-17 ^{ns}
Zerkleinerer	-640*	-669*	-669*	-669*	-669*

Auch wenn der Unterschied in der Individuendichte der Sedimentfresser bei Chironomidae auf Familienniveau sich nicht signifikant von Chironomidae auf Artniveau unterschied, wurde die Differenz der Individuendichte und damit die Stärke des Unterschiedes zwischen natürlichen Ufern und Steinschüttungen um fast das doppelte überschätzt (Tabelle 11).

Tabelle 11: Gepaarter T-Test der Individuendichte der funktionellen Ernährungstypen zwischen Natürlichen Ufern und Steganlagen bei unterschiedlicher taxonomischer Auflösung der Chironomidae. Für jeden Vergleich sind die mittleren Paardifferenzen angegeben. Fett hervorgehobene Paardifferenzen indizieren, dass sich das Ergebnis des Signifikanztests vom Ergebnis des Signifikanztests mit Chironomidae auf Artniveau unterscheidet (** $P < 0,01$, * $P < 0,05$, ns = nicht signifikant).

	Bestimmungsniveau Chironomidae				
	Art	Tribus	Unterfamilie	Familie	ohne Chironomidae
Filtrierer Aktiv	-51 ^{ns}	19 ^{ns}	19 ^{ns}	-49 ^{ns}	19 ^{ns}
Filtrierer Passiv	99 ^{ns}	9 ^{ns}	9 ^{ns}	9 ^{ns}	9 ^{ns}
Räuber	-115 ^{ns}	-151 ^{ns}	-202 ^{ns}	-138 ^{ns}	-104 ^{ns}
Sedimentfresser	-216 ^{ns}	-409**	-873**	-407 ^{ns}	-307*
Weidegänger	-149 ^{ns}	-141 ^{ns}	-141 ^{ns}	-200 ^{ns}	-133 ^{ns}
Zellstecher	14 ^{ns}	26 ^{ns}	26 ^{ns}	-7 ^{ns}	26 ^{ns}
Zerkleinerer	-359 ^{ns}	-371 ^{ns}	-371 ^{ns}	-371 ^{ns}	-371 ^{ns}

Zusammenfassend kann festgestellt werden, dass litorale Chironomidae eine große Bedeutung bei der Bewertung von struktureller Degradation haben, wenn die taxonomische Auflösung ausreichend groß, d.h. das kleinstmögliche taxonomische Niveau verwendet wird. Diese Feststellung wird jedoch dadurch relativiert, dass bei der Analyse der faunistischen Unähnlichkeit zwischen natürlichen und degradierten Stellen keine Unterschiede bei einer Bewertung mit Makrozoobenthos und Chironomidae auf Artniveau und einer Bewertung mit

Makrozoobenthos ohne Chironomidae gefunden wurde (Abb. 3). Offensichtlich weisen Chironomidae bei der Betrachtung von faunistischen Unähnlichkeiten eine gewisse Form der Redundanz mit dem übrigen Makrozoobenthos auf, so dass das Makrozoobenthos ohne Chironomidae bereits eine ausreichend deutliche Trennung von natürlichen und degradierten Stellen ermöglicht und eine Hinzunahme der Chironomidae auf Artniveau keine weiter Verbesserung der Trennschärfe mehr bringt. Daher wäre der zeitliche und finanzielle Mehraufwand einer hochauflösenden Determination der Chironomidae nicht gerechtfertigt, wenn eine Bewertung lediglich auf Ähnlichkeitsanalysen basieren würde. Allerdings werden bei der Bewertung von Beeinträchtigungen sehr selten Metrics verwendet, die die Artenzusammensetzung der gesamten Makrozoobenthos-Gemeinschaft abbilden und damit auf die faunistische Unähnlichkeiten/Ähnlichkeiten abzielen. Vielmehr basieren Bewertungsverfahren üblicherweise auf Metrics, die entweder nur bestimmte taxonomische Gruppen verwenden (z.B. % EPT) bzw. die funktionellen Charakteristika der Makrozoobenthos-Gemeinschaft reflektieren sollen. Hier sind insbesondere die funktionellen Ernährungstypen zu nennen, die als Metrics in nahezu allen derzeit verwendeten Bewertungsverfahren, incl. des überarbeiteten IGB Verfahrens, integriert sind. Unsere Analyse bezüglicher des Fehlers bei den funktionellen Ernährungstypen zeigte, dass eine Verwendung von Chironomidae auf höherem Niveau als das Artniveau zu einer teilweise ausgeprägten Über- oder Unterschätzung des wahren Unterschiedes zwischen natürlichen und degradierten Stellen führen kann (Tabelle 8). Auch wenn die Unterschiede nicht bei allen Vergleichen signifikant waren, wurde der wahre Unterschied jedoch durch Verwendung von Chironomidae auf höherem Niveau ausnahmslos über- bzw. unterschätzt. Dies traf ebenfalls auf das Makrozoobenthos ohne Chironomidae zu, bei denen der wahre Unterschied in bis zu 43 % aller Vergleiche überschätzt wurde (Tabelle 8). In diesen Fällen wäre der ökologische Zustand einer degradierten Stelle also zu schlecht bewertet worden, so dass unter Umständen Maßnahmen zur Verbesserung ökologischen Zustands ergriffen werden müssten, obwohl diese nicht notwendig wären. Aus diesem Grund ist eine Bestimmung der Chironomidae auf das kleinstmögliche taxonomische Niveau unabdingbar. Der damit verbundene zeitliche und finanzielle Mehraufwand könnte dadurch kompensiert werden, dass das Bestimmungsniveau von weniger gut zur Bewertung geeigneten Makrozoobenthos-Gruppen (z.B. Turbellaria, Hirudinea) reduziert werden könnte. Diese Abwägung zwischen taxonomischen Aufwand und ökologischer Aussagekraft findet derzeit im Rahmen der Arbeiten an der „Operationellen Taxaliste für das Makrozoobenthos in Seen“ statt, in der die hier gewonnenen Erkenntnisse einfließen werden.

3.3 Bewertung mit dem IGB-Bewertungsverfahren

Nach erfolgter grundlegender Überarbeitung des IGB Bewertungsverfahrens wurden alle Probestellen und Seen mit dem Modul „Struktur“ und dem Modul „Neozoa“ bewertet.

3.3.1 Modul Struktur

Die Bewertung des strukturellen Zustands mit dem Modul „Struktur“ auf Ebene der Seen zeigte, dass die Seen überwiegend den „mäßigen“ bis „unbefriedigenden“ strukturellen Zustand erreichten (Abb. 4). Im Folgenden soll das Bewertungsergebnis spezifisch für jeden Seen diskutiert werden.

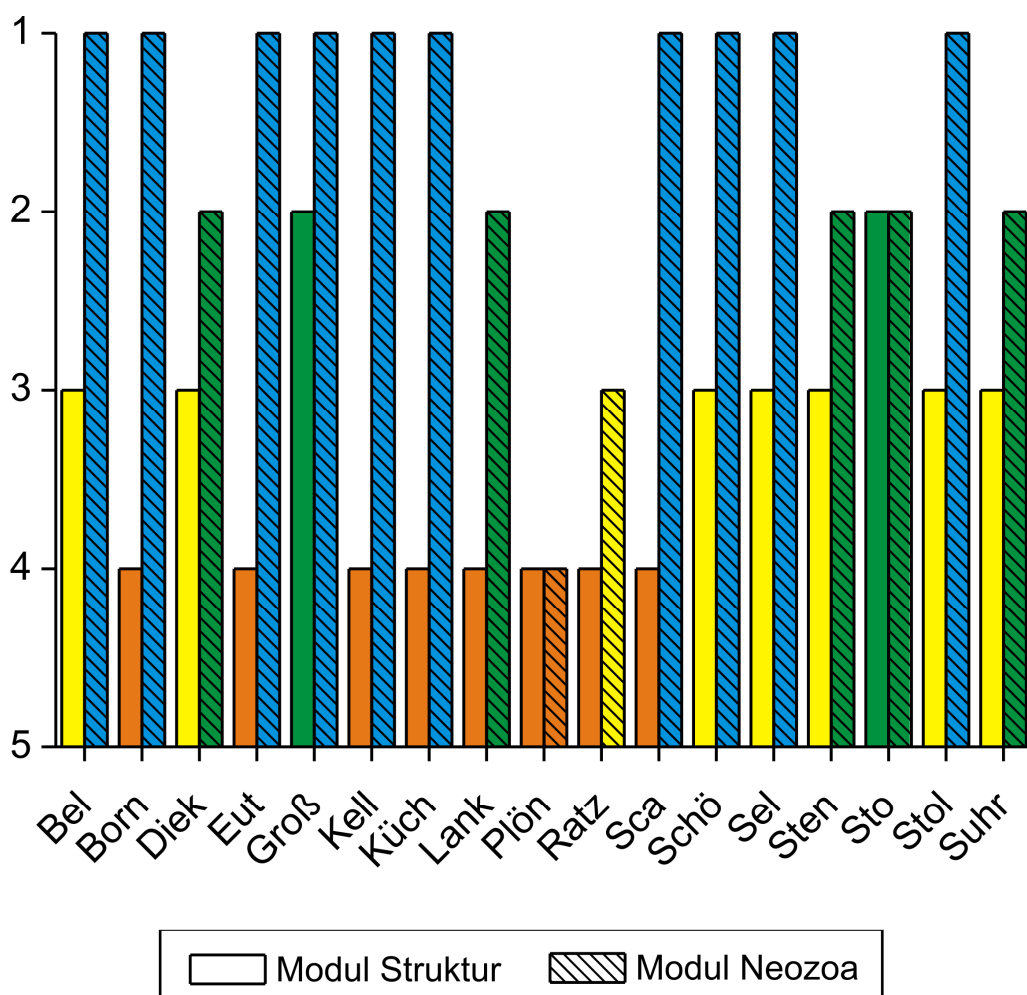


Abb. 4: Ergebnisse der Bewertung der untersuchten Seen mit dem Modul „Struktur“ und „Neozoa“ des überarbeiteten IGB-Verfahrens. Die Farbgebung entspricht der Zustandsklasse (Blau = „Sehr gut“, Grün = „Gut“, Gelb = „Mäßig“, Orange = „Unbefriedigend“, Rot = „Schlecht“). Die der Bewertung der Probestellen findet sich im Anhang 20.

Belauer See

Der Belauer See gehört mit nur einer strukturell degradierten Stelle zu den morphologisch weitgehend unbeeinträchtigten Seen (Tabelle 12). Trotzdem erreichten die einzelnen Stellen nur den „mäßigen“ bzw. „unbefriedigenden“ strukturellen Zustand. Auffällig ist das geringe Vorkommen von Wurzelhabitaten, die bis auf eine Probestelle fehlten (Anhang 13). Dies zeigte sich vor allem in den Metrics Anteil Odonata und Anzahl Coleoptera, die bis auf wenige Ausnahmen vergleichsweise geringe Werte annahmen (Tab. 12). Da die einzelnen Probestellen jedoch augenscheinlich strukturell intakt waren (z.B. Abb. 5), scheint das Bewertungsergebnis des Belauer Sees eher auf einen unpassenden Referenzzustand zu beruhen. Eine Bewertungsalternative mit einem an die lokalen Rahmenbedingungen angepassten Referenzzustand befindet sich in der Entwicklung.

Tabelle 12: Bewertungsergebnisse der Probestellen des Belauer Sees mit dem Modul "Struktur". Für jede Probestelle sind die normierten Werte der Kernmetrics sowie die zugehörige Zustandsklasse angegeben (Odo = Anteil Odonata [%], Eph = Artenzahl Ephemeroptera, Fisher = Fisher Diversität (log series α), Tricho = Artenzahl Trichoptera, POM = Anteil POM-Besiedler, ZerkI = Anteil Zerkleinerer, Col = Artenzahl Coleoptera).

Stelle	Ufertyp	Odo	Eph	Fisher	Tricho	POM	ZerkI	Col	Zustands-klasse
1	Natürlich	0,53	0,20	0,13	0,22	0,91	0,14	0,00	4
2	Natürlich	0,07	0,60	0,62	1,00	0,08	0,27	0,75	3
3	Natürlich	0,20	0,80	0,38	0,67	0,20	0,18	0,00	4
4	Natürlich	0,00	0,80	0,62	0,44	0,36	0,15	1,00	3
5	Natürlich	0,07	0,80	0,76	1,00	0,57	0,14	0,00	3
6	Natürlich	0,00	0,80	0,75	0,89	0,31	0,18	0,75	3
7	Steg anlage	0,00	0,60	0,30	0,78	0,42	0,01	0,50	4
8	Natürlich	0,07	0,60	0,55	0,89	0,04	0,16	0,00	4



Abb. 5: Probestelle 2 am natürlichen Ufer des Belauer Sees.

Bornhöveder See

Der Bornhöveder See erreichte auf See-Ebene nur den „unbefriedigenden“ strukturellen Zustand, obwohl auch hier nur eine Probestelle strukturell degradiert war (Tab. 13). Während die Zustandsklasse der Probestelle 4 aufgrund der Nutzung als Badestelle und der damit verbundenen deutlichen Einschränkung der Habitatheterogenität zutreffend ist, erscheint die Einstufung der verbleibenden natürlichen Stellen unplausibel. Auffällig ist, dass die einzelnen Metrics auch bei Probestellen mit faunistischen wertvollen Habitaten wie Wurzeln und Schilf (Abb. 6) vergleichsweise geringe Werte annahmen, was auf eine Störung hinweist, die die Uferstruktur nicht beeinträchtigt, sich jedoch auf die Besiedlung der Stellen mit dem Makrozoobenthos auswirkt. Hierbei könnte es sich um die Trophie handeln, die sich mit im Mittel 90 µg/L im polytropfen Bereich befindet (persönliche Mitteilung, Landesamt für Natur und Umwelt, 2009). Für diese Vermutung spricht das Fehlen von Arten der Gattung *Leptophlebia* (Ephemeroptera) (Anhang 14), die neben einer Bindung an komplexe Habitate ebenfalls hohe Ansprüche an die Trophie haben.

Tabelle 13: Bewertungsergebnisse der Probestellen des Bornhöveder Sees mit dem Modul "Struktur". Für jede Probestelle sind die normierten Werte der Kernmetrics sowie die zugehörige Zustandsklasse angegeben. Siehe Tabelle 12 für die Abkürzungen der Kernmetrics.

Stelle	Ufertyp	Odo	Eph	Fisher	Tricho	POM	ZerkL	Col	Zustands-klasse
1	Natürlich	0,00	0,40	0,52	0,44	0,25	0,25	0,50	4
2	Natürlich	0,00	0,60	0,17	0,22	0,69	0,53	0,00	4
3	Natürlich	0,00	0,40	0,28	0,22	0,40	0,35	0,25	4
4	Badestelle	0,00	0,60	0,05	0,33	0,26	0,05	0,00	5
5	Natürlich	0,13	0,60	0,60	1,00	0,41	0,23	0,50	3
6	Natürlich	0,00	0,80	0,54	0,89	0,46	0,23	0,25	3
7	Natürlich	0,00	0,40	0,28	0,00	0,16	0,87	0,50	4
8	Natürlich	0,07	0,80	0,54	0,56	0,20	0,35	1,00	3

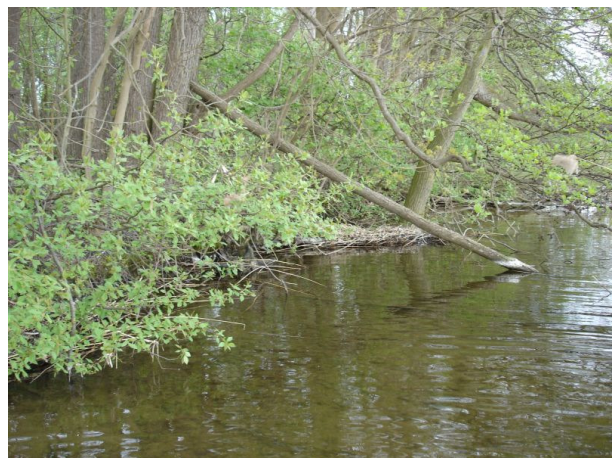


Abb. 6: Probestelle 5 und 6 an natürlichen Ufern des Bornhöveder Sees.

Dieksee

Der Dieksee erreichte auf Ebene des gesamten Sees die strukturelle Zustandsklasse „mäßig“. Dies scheint bei dem vergleichsweise hohen Anteil an degradierten Ufern durchaus plausibel (Tab. 14). So wiesen die untersuchten degradierten Probestellen eine teilweise deutlich reduzierte Habitatheterogenität auf (z. B. Abb. 7), was insbesondere in den geringen Werten der Metrics Odonata und Coleoptera zum Ausdruck kam.

Tabelle 14: Bewertungsergebnisse der Probestellen des Dieksees mit dem Modul "Struktur". Für jede Probestelle sind die normierten Werte der Kernmetrics sowie die zugehörige Zustandsklasse angegeben. Siehe Tabelle 12 für die Abkürzungen der Kernmetrics.

Stelle	Ufertyp	Odo	Eph	Fisher	Tricho	POM	ZerkI	Col	Zustands-klasse
1	Natürlich	0,00	1,00	0,67	1,00	0,59	0,71	0,50	2
2	Steganlage	0,00	0,40	0,48	0,56	1,00	0,13	0,25	3
3	Steinschüttung	0,00	0,20	0,00	0,11	0,00	0,00	0,00	5
4	Natürlich	0,00	0,40	0,74	1,00	0,64	0,27	0,75	3
5	Natürlich	0,00	0,80	0,34	1,00	0,00	0,00	0,50	4
6	Natürlich	0,20	1,00	1,00	1,00	0,29	1,00	1,00	2
7	Steganlage	0,20	0,80	0,55	0,78	0,07	0,10	0,00	4
8	Steganlage	0,00	0,80	0,36	0,67	0,23	0,09	0,50	4



Abb. 7: Probestelle 3 am strukturell stark degradierten Ufer des Dieksees.

Gr. Eutiner See

Der Gr. Eutiner See erreichte trotz der geringen strukturellen Beeinträchtigungen nur den unbefriedigenden strukturellen Zustand. Dieses unplausible Ergebnis ist wahrscheinlich wiederum auf einen unpassenden Referenzzustand zurückzuführen. So sind einige Stellen durch dichte Schilfbestände dominiert, so dass Wurzelhabitante an diesen Stellen natürlicherweise fehlen können (Abb. 8). Da das Vorkommen von Wurzelhabitaten jedoch sowohl den strukturellen als auch den daraus abgeleiteten faunistischen Referenzzustand charakterisiert, wird das Fehlen von Wurzelhabitaten bei der faunistischen Bewertung durch das Makrozoobenthos als Störung indiziert, obwohl dies in diesem Fall natürliche Ursachen hat. Auch hier ist eine Verfahrensanpassung mit den spezifischen Referenzzuständen notwendig.

Tabelle 15: Bewertungsergebnisse der Probestellen des Gr. Eutiner Sees mit dem Modul "Struktur". Für jede Probestelle sind die normierten Werte der Kernmetrics sowie die zugehörige Zustandsklasse angegeben. Siehe Tabelle 12 für die Abkürzungen der Kernmetrics.

Stelle	Ufertyp	Odo	Eph	Fisher	Tricho	POM	ZerkI	Col	Zustands-klasse
1	Natürlich	0,00	0,60	0,34	0,11	0,96	0,49	0,25	4
2	Natürlich	0,00	0,20	0,25	0,44	0,04	0,22	0,25	4
3	Natürlich	0,00	0,40	0,52	0,56	0,25	0,18	0,50	4
4	Natürlich	0,00	0,60	0,77	0,78	0,62	0,57	0,75	3
5	Natürlich	0,13	0,40	0,59	0,56	0,41	0,29	1,00	3
6	Naturnah	0,00	0,60	0,62	0,56	0,25	0,24	0,50	4
7	Natürlich	0,47	0,40	0,25	0,33	0,48	0,25	0,00	4
8	Natürlich	0,00	0,60	0,46	0,44	0,52	1,00	0,25	3



Abb. 8: Probestelle 1 am natürlichen Ufer des Gr. Eutiner Sees.

Großensee

Der Großensee erreichte bei der Bewertung des strukturellen Zustands den „guten Zustand“, was vor allem auf den geringen Anteil degradierten Uferabschnitte zurückzuführen ist (Tabelle 16). Dabei indizieren die Metrics, dass es sich bei den degradierten Abschnitten um eine eher extensive Nutzung handelt, da trotz morphologischer Defizite z.B. an der Stelle 8 noch ein hoher Anteil an Odonata gefunden wurde. Ferner entspricht die Habitatausstattung der natürlichen Ufer weitgehend dem Referenzzustand (z.B. Abb. 9), so dass einzelne morphologische Defizite durch den guten strukturellen Zustand der natürlichen Stellen bei der Bewertung auf See-Ebene kompensiert werden.

Tabelle 16: Bewertungsergebnisse der Probestellen des Großensees mit dem Modul "Struktur". Für jede Probestelle sind die normierten Werte der Kernmetrics sowie die zugehörige Zustandsklasse angegeben. Siehe Tabelle 12 für die Abkürzungen der Kernmetrics.

Stelle	Ufertyp	Zustands-							
		Odo	Eph	Fisher	Tricho	POM	ZerkI	Col	klasse
1	Natürlich	1,00	1,00	0,95	0,67	0,42	0,82	0,50	2
2	Natürlich	1,00	1,00	0,92	0,67	0,29	0,46	1,00	2
3	Badestelle	0,00	0,40	0,09	0,11	0,85	0,00	0,00	4
4	Steganganlage	1,00	1,00	1,00	1,00	0,49	0,45	0,50	2
5	Natürlich	0,00	0,40	0,52	0,56	0,33	0,44	0,75	3
6	Natürlich	1,00	0,80	0,89	0,56	0,67	0,71	0,75	2
7	Natürlich	1,00	0,80	1,00	0,89	0,91	0,64	0,75	1
8	Badestelle	0,80	0,40	0,47	0,44	0,40	0,20	0,50	3



Abb. 9: Probestelle 6 am natürlichen Ufer des Großensees.

Kellersee

Der Kellersee erreichte trotz vergleichsweise geringem strukturellen Beeinträchtigungsgrad nur den „unbefriedigenden“ strukturellen Zustand. Dies ist wiederum auf die Bewertung der natürlichen Stellen zurückzuführen, die teilweise den „schlechten“ strukturellen Zustand erreichten. Der Grund dafür ist im Fehlen der strukturell komplexen Habitate Schilf und Wurzeln zu suchen, so dass hier nicht nur die Metrics Odonata, sondern auch die Metrics Ephemeroptera und Trichoptera geringe Werte annahmen. Das Fehlen von Wurzeln scheint jedoch nicht natürliche Ursachen zu haben, da erkennbar ist, dass dieses Habitat zwar vorhanden, jedoch aufgrund des offensichtlich gesunkenen Wasserspiegels nicht überstaut ist (Abb. 10). Inwiefern die geringen Pegelstände am Kellersee anthropogen durch Stauregulierung oder klimatisch bedingt durch geringe Niederschläge hervorgerufen wurden, kann nicht zweifelsfrei beantwortet werden (pers. Mitteilung S. Speth, C.-J. Otto)

Tabelle 17: Bewertungsergebnisse der Probestellen des Kellersees mit dem Modul "Struktur". Für jede Probestelle sind die normierten Werte der Kernmetrics sowie die zugehörige Zustandsklasse angegeben. Siehe Tabelle 12 für die Abkürzungen der Kernmetrics.

Stelle	Ufertyp	Odo	Eph	Fisher	Tricho	POM	ZerkI	Col	Zustandsklasse
1	Natürlich	0,00	0,40	0,16	0,11	0,17	0,15	0,25	5
2	Natürlich	0,00	0,00	0,13	0,11	0,10	0,71	0,25	5
3	Natürlich	0,00	0,20	0,07	0,11	0,00	1,00	0,50	4
4	Natürlich	0,00	0,20	0,43	0,56	0,25	0,81	0,25	4
5	Steganlage	0,00	0,20	0,29	0,22	0,36	0,09	0,50	4
6	Natürlich	0,00	0,60	0,24	0,11	0,44	0,48	0,25	4
7	Steinschüttung	0,13	0,60	0,52	0,56	0,54	0,15	0,00	4
8	Natürlich	0,07	0,40	0,60	0,67	0,50	0,43	0,75	3



Abb. 10: Durch zu geringen Pegelstand trocken gefallene Bereiche an den Probestellen 1 und 4 des Kellersees.

Gr. Küchensee

Der Gr. Küchensee erreichte bei der Bewertung des Zustands nur den „unbefriedigenden“ strukturellen Zustand. Dieses eher unplausible Ergebnis resultiert weniger am Anteil tatsächlich degradierten Ufer, sondern vielmehr am unbefriedigenden Zustand der natürlichen Ufer (Tabelle 18). Auch an diesem See fehlen Wurzel- und Schilfhabitata an manchen Stellen (Abb. 11), wobei dies natürliche Ursachen zu haben scheint.

Tabelle 18: Bewertungsergebnisse der Probestellen des Gr. Küchensees mit dem Modul "Struktur". Für jede Probestelle sind die normierten Werte der Kernmetrics sowie die zugehörige Zustandsklasse angegeben. Siehe Tabelle 12 für die Abkürzungen der Kernmetrics.

Stelle	Ufertyp	Odo	Eph	Fisher	Tricho	POM	ZerkI	Col	Zustands-klasse
1	Steinschüttung	0,07	0,60	0,44	0,78	0,52	0,09	0,50	3
2	Steinschüttung	0,00	0,60	0,30	0,56	0,00	0,25	0,50	4
3	Natürlich	0,00	0,60	0,48	0,78	0,13	0,07	0,00	4
4	Natürlich	0,67	0,80	0,60	0,78	0,37	0,25	0,25	3
5	Natürlich	0,00	0,00	0,14	0,78	0,00	0,03	0,00	5
6	Natürlich	0,20	0,40	0,27	0,22	0,12	0,35	0,50	4
7	Natürlich	0,00	0,00	0,04	0,22	0,00	0,11	0,00	5
8	Steg anlage	0,33	0,60	0,24	0,44	0,66	0,06	0,00	4



Abb. 11. Natürliches Ufer (Probestelle 5) am Gr. Küchensee.

Lanker See

Der Lanker See erreichte trotz des Fehlens von strukturellen Beeinträchtigungen bei der Bewertung des strukturellen Zustands den „unbefriedigenden“ strukturellen Zustand. Da fast alle Probestellen dieses Sees durch dichte Schilfgürtel dominiert sind (Abb. 12), ist auch hier ein unpassender Referenzzustand die Ursache für das unplausible Bewertungsergebnis.

Tabelle 19: Bewertungsergebnisse der Probestellen des Lanker Sees mit dem Modul "Struktur". Für jede Probestelle sind die normierten Werte der Kernmetrics sowie die zugehörige Zustandsklasse angegeben. Siehe Tabelle 12 für die Abkürzungen der Kernmetrics.

Stelle	Ufertyp	Odo	Eph	Fisher	Tricho	POM	ZerkI	Col	Zustands-klasse
1	Naturnah	0,00	0,20	0,29	0,11	0,49	0,11	0,25	4
2	Natürlich	0,13	0,40	0,33	0,56	0,20	0,72	0,75	3
3	Natürlich	0,00	0,40	0,45	0,22	0,30	0,22	1,00	4
4	Naturnah	0,00	0,80	0,40	0,33	0,52	0,25	0,50	3
5	Naturnah	0,00	0,60	0,38	0,33	0,93	0,06	0,25	4
6	Natürlich	0,87	0,40	0,33	0,11	0,75	0,50	0,00	3
7	Natürlich	0,00	0,60	0,21	0,22	0,48	0,23	0,00	4
8	Naturnah	0,00	0,20	0,23	0,11	0,51	0,22	0,00	5



Abb. 12: Schilfgürtel an Probestelle 8 des Lanker Sees.

Gr. Plöner See

Der Gr. Plöner See erreichte bei der Bewertung des strukturellen Zustands den „unbefriedigenden“ strukturellen Zustand. Diese schlechte Einstufung ist einerseits auf die drei degradierten Stellen zurückzuführen, die durch ihre Ausprägung deutliche faunistische Beeinträchtigungen hervorufen haben (Abb. 13). Ferner erreichten auch die natürlichen Stellen nur den „mäßigen“ bis „schlechten“ Zustand, wobei insbesondere der Metric „Fisher Diversität“ als Maß der Artenvielfalt teilweise sehr geringe Werte annahm (Tabelle 20). Als Ursache könnten hier die bereits erwähnte Seegröße und die damit verbundene hohe Windexposition infrage kommen. Diese Vermutung wird durch das Vorkommen von *Theodoxus fluviatilis* (Gastropoda) und *Goera pilosa* (Trichoptera) bestätigt, die ihren Vorkommensschwerpunkt an wellenschlagsexponierten und steinigen Brandungsfern haben (Brauns, Garcia & Pusch 2008). Weiterhin erreichte der See gemäß dem Modul „Neozoa“ ebenfalls nur den „unbefriedigenden“ Zustand, da im Gr. Plöner See invasive Crustacea wie *Pontogammarus robustoides* vorkommen. Andere Studien zeigten in diesem Zusammenhang, dass die Einwanderung von invasiven Crustacea meist zum Aussterben der heimischen Arten führt, so dass dieser Umstand zumindest das Fehlen heimischer Crustacea und die dadurch bedingte geringe Artenvielfalt der Crustacea erklären könnte (Anhang 8).

Tabelle 20: Bewertungsergebnisse der Probestellen des Gr. Plöner Sees mit dem Modul "Struktur". Für jede Probestelle sind die normierten Werte der Kernmetrics sowie die zugehörige Zustandsklasse angegeben. Siehe Tabelle 12 für die Abkürzungen der Kernmetrics.

Stelle	Ufertyp	Odo	Eph	Fisher	Tricho	POM	ZerkI	Col	Zustands-klasse
1	Natürlich	0,00	0,40	0,38	0,67	0,20	0,79	1,00	3
2	Steinschüttung	0,00	0,00	0,00	0,22	0,34	0,06	0,50	5
3	Steganganlage	0,00	0,20	0,07	0,22	0,41	0,18	0,50	4
4	Natürlich	0,00	0,00	0,09	0,33	0,54	0,19	0,00	5
5	Natürlich	0,00	0,20	0,16	0,33	0,51	0,23	0,25	4
6	Natürlich	0,00	0,40	0,18	0,33	0,12	0,86	0,75	4
7	Steinschüttung	0,00	0,40	0,33	0,56	0,73	0,09	0,25	4
8	Natürlich	0,13	0,40	0,60	1,00	0,60	0,14	0,50	3



Abb. 13: Steganlage (Probestelle 3) am Gr. Plöner See

Gr. Ratzeburger See

Der Gr. Ratzeburger See erreichte bei der Bewertung des strukturellen Zustands den „unbefriedigenden“ strukturellen Zustand. Auch hier scheinen weniger strukturelle Defizite als vielmehr strukturunabhängige Belastungen das Makrozoobenthos zu beeinträchtigen. Die Trophie scheidet als Stressor aus, da der Gr. Ratzeburger See derzeit als mesotroph eingestuft ist. Wie am Gr. Plöner See auch, könnte die eingeschränkte Besiedlung zumindest teilweise durch die Präsenz von Neozoa erklärt werden.

Tabelle 21: Bewertungsergebnisse der Probestellen des Gr. Ratzeburger Sees mit dem Modul "Struktur". Für jede Probestelle sind die normierten Werte der Kernmetrics sowie die zugehörige Zustandsklasse angegeben. Siehe Tabelle 12 für die Abkürzungen der Kernmetrics.

Stelle	Ufertyp	Odo	Eph	Fisher	Tricho	POM	ZerkI	Col	Zustands-klasse
1	Natürlich	0,00	0,40	0,57	0,33	0,68	0,05	0,50	4
2	Natürlich	0,00	0,20	0,73	0,44	0,51	0,22	0,00	4
3	Natürlich	0,00	0,40	0,33	0,67	0,43	0,16	0,50	4
4	Natürlich	0,00	0,20	0,25	0,56	0,72	0,10	0,00	4
5	Natürlich	0,00	0,20	0,19	0,22	0,03	0,20	0,25	5
6	Natürlich	0,00	0,20	0,27	0,33	0,39	0,04	0,25	4
7	Natürlich	0,00	0,20	0,78	0,78	0,45	0,33	0,25	4
8	Steganlage	0,27	0,20	0,13	0,22	0,09	0,15	0,50	4

Schmalensee

Der Schmalensee erreichte bei der Bewertung des strukturellen Zustands den „unbefriedigenden“ strukturellen Zustand. Wiederum scheinen weniger strukturelle Defizite als vielmehr strukturunabhängige Belastungen das Makrozoobenthos zu beeinträchtigen, da der See an allen Probestellen natürliche Ufer aufweist. Faunistisch auffällig ist auch hier das

Fehlen von *Leptophlebia* spp., was auf Beeinträchtigungen durch die hohe Trophie des Schmalensees hinweist.

Tabelle 22: Bewertungsergebnisse der Probestellen des Schmalensees mit dem Modul "Struktur". Für jede Probestelle sind die normierten Werte der Kernmetrics sowie die zugehörige Zustandsklasse angegeben. Siehe Tabelle 12 für die Abkürzungen der Kernmetrics.

Stelle	Ufertyp	Odo	Eph	Fisher	Tricho	POM	ZerkI	Col	Zustands-klasse
1	Natürlich	0,00	0,60	0,33	0,33	0,86	0,05	0,00	4
2	Natürlich	0,00	0,40	0,03	0,00	1,00	0,04	0,00	4
3	Natürlich	0,13	0,20	0,38	0,67	0,60	0,23	0,50	4
4	Natürlich	0,00	0,20	0,52	0,89	0,22	0,21	0,75	4
5	Natürlich	0,00	0,40	0,37	0,78	0,38	0,13	0,75	3
6	Natürlich	0,00	0,00	0,23	0,89	0,86	0,15	0,00	4
7	Natürlich	0,00	0,60	0,56	0,56	0,59	0,14	0,75	3
8	Natürlich	0,20	0,40	0,56	0,56	0,80	0,12	0,50	3

Schöhsee

Der Schöhsee erreichte bei der Bewertung des strukturellen Zustands den „mäßigen“ strukturellen Zustand. Während Wurzelhabitante an diesem See an fast allen Stellen vorhanden waren, fehlten Schilfhabitante dagegen fast vollständig. Die Windexposition, durch die Schilfhabitante auch natürlicherweise fehlen können, würde nur das Fehlen an Probestelle 8 erklären, die sich am Nordost Ufer des Sees befinden (Abb. 14). Eventuell könnte es sich um den auch in schleswig-holsteinischen Seen zu beobachtende Rückgang der Schilfbestände handeln (z.B. am Gr. Plöner See, Gr. Eutiner See, pers. Mitteilung C.-J. Otto), auf den die im Modul „Struktur“ integrierten Metrics „Odonata“ und „Coleoptera“ sensibel reagierten. Über die Ursache des Schilfrückgangs kann an dieser Stelle jedoch nur spekuliert werden.

Tabelle 23: Bewertungsergebnisse der Probestellen des Schöhsees mit dem Modul "Struktur". Für jede Probestelle sind die normierten Werte der Kernmetrics sowie die zugehörige Zustandsklasse angegeben. Siehe Tabelle 12 für die Abkürzungen der Kernmetrics.

Stelle	Ufertyp	Odo	Eph	Fisher	Tricho	POM	ZerkI	Col	Zustands-klasse
1	Naturnah	0,00	0,80	0,43	0,44	0,68	0,96	0,50	3
2	Natürlich	0,13	0,80	0,63	0,22	0,25	0,17	0,00	4
3	Natürlich	0,00	1,00	0,93	0,67	0,72	0,34	0,50	3
4	Natürlich	0,27	1,00	1,00	0,67	0,28	0,30	0,75	2
5	Naturnah	0,07	1,00	0,97	0,56	0,59	0,22	0,75	3
6	Steganlage	0,13	1,00	0,46	0,44	0,53	0,35	1,00	3
7	Natürlich	0,13	1,00	1,00	0,89	0,33	0,24	1,00	2
8	Natürlich	0,00	0,80	0,66	1,00	0,36	0,78	0,25	3



Abb. 14: Windexponiertes Nordufer (Probestelle 8) am Schöhsee

Selenter See

Der Selenter erreichte bei der Bewertung des strukturellen Zustands den „mäßigen“ strukturellen Zustand, was wahrscheinlich wiederum auf den unpassenden Referenzzustand zurückzuführen ist.

Tabelle 24: Bewertungsergebnisse der Probestellen des Selenter Sees mit dem Modul "Struktur". Für jede Probestelle sind die normierten Werte der Kernmetrics sowie die zugehörige Zustandsklasse angegeben. Siehe Tabelle 12 für die Abkürzungen der Kernmetrics.

Stelle	Ufertyp	Odo	Eph	Fisher	Tricho	POM	ZerkI	Col	Zustands-klasse
1	Natürlich	0,00	0,20	0,30	0,22	0,59	0,63	0,50	4
2	Natürlich	0,00	0,40	0,32	0,22	0,77	0,63	0,50	3
3	Natürlich	0,07	0,80	0,63	0,67	1,00	1,00	0,75	2
4	Natürlich	0,00	0,20	0,35	0,56	0,54	1,00	0,25	3
5	Natürlich	0,00	0,20	0,12	0,33	0,91	0,31	0,00	4
6	Badestelle	0,00	0,40	0,16	0,00	0,50	0,46	0,25	4
7	Natürlich	0,00	0,40	0,43	0,56	0,44	1,00	0,00	3
8	Natürlich	0,00	0,60	0,33	0,56	1,00	1,00	0,25	3

Stendorfer See

Der Stendorfer See erreichte bei der Bewertung des strukturellen Zustands den „mäßigen“ Zustand. Dieses Ergebnis kann neben dem unpassenden Referenzzustand noch andere Ursachen haben. Auffällig sind an diesem See, dass ein Großteil der Ufer sehr steilschaarig und daher bereits nach kurzer Uferentfernung nicht mehr bewatbar ist. Ein solcher Ufertyp schränkt die Aussagekraft des Moduls „Struktur“ ein, da Habitate zwar vorhanden sein können, sich aber in nicht erreichbarer Tiefe befinden. Daher muss bei Festlegung des Referenzzustandes der Parameter Ufergefälle Berücksichtung finden, um morphologisch ähnliche Seen adäquat bewerten zu können. Auf der anderen Seite weißt der See hohe Gesamtphosphatkonzentrationen auf und befindet sich aktuell im polytropfen Zustand (persönliche Mitteilung, Landesamt für Natur und Umwelt, 2008). Die Trophie hat zwar keine substantiellen direkten Effekte auf das litorale Makrozoobenthos, allerdings konnte am Stendorfer See die Entwicklung von Grünalgenmatten beobachtet werden, die die Schilfhabitare überzogen (Abb. 15). Solche Sekundäreffekte erhöhter Nährstoffkonzentrationen auf die Habitatqualität könnten durchaus als eine Ursache für den mäßigen Zustand des Stendorfer Sees angesehen werden.

Tabelle 25: Bewertungsergebnisse der Probestellen des Stendorfer Sees mit dem Modul "Struktur". Für jede Probestelle sind die normierten Werte der Kernmetrics sowie die zugehörige Zustandsklasse angegeben. Siehe Tabelle 12 für die Abkürzungen der Kernmetrics.

Stelle	Ufertyp	Odo	Eph	Fisher	Tricho	POM	ZerkI	Col	Zustands-klasse
1	Natürlich	0,47	0,20	0,58	0,44	1,00	0,53	0,25	3
2	Natürlich	0,00	0,40	0,50	0,44	1,00	0,19	0,50	3
3	Natürlich	1,00	0,40	0,25	0,22	0,54	0,34	1,00	3
4	Natürlich	0,33	0,20	0,17	0,11	0,76	0,52	0,25	4
5	Natürlich	1,00	0,20	0,13	0,00	0,78	0,47	0,25	3
6	Natürlich	0,67	0,40	0,27	0,22	0,08	0,36	0,75	4
7	Natürlich	0,80	0,40	0,39	0,44	0,27	0,20	0,75	3
8	Natürlich	0,40	0,40	0,60	0,44	0,33	0,25	0,75	3



Abb. 15: Algenmatten an der Probestelle 4 des Stendorfer Sees.

Stocksee

Der Stocksee erreichte bei der Bewertung des strukturellen Zustands den „guten“ Zustand. Die einzige im See vorkommende Beeinträchtigung ist eine Badestelle mit Steganlage, die jedoch extensiv ausgeprägt ist und daher keine größeren faunistischen Auswirkungen hat (Abb. 16). Ferner entspricht die Habitatausstattung der natürlichen Ufer weitgehend dem Referenzzustand und weiß eine dementsprechende natürliche Besiedlung auf.

Tabelle 26: Bewertungsergebnisse der Probestellen des Stocksees mit dem Modul "Struktur". Für jede Probestelle sind die normierten Werte der Kernmetrics sowie die zugehörige Zustandsklasse angegeben. Siehe Tabelle 12 für die Abkürzungen der Kernmetrics.

Stelle	Ufertyp	Odo	Eph	Fisher	Tricho	POM	ZerkI	Col	Zustands-klasse
1	Natürlich	0,00	1,00	1,00	1,00	0,66	0,31	0,50	2
2	Natürlich	0,00	0,80	0,89	1,00	0,66	0,55	0,75	2
3	Natürlich	0,60	1,00	0,77	1,00	0,96	0,46	1,00	1
4	Natürlich	0,07	1,00	0,89	1,00	0,36	0,50	1,00	2
5	Natürlich	0,20	1,00	0,96	1,00	0,54	0,29	1,00	2
6	Natürlich	0,00	1,00	0,75	1,00	0,52	0,43	0,75	2
7	Natürlich	0,07	1,00	0,87	1,00	0,51	0,23	0,75	2
8	Steganlage	0,00	1,00	0,83	1,00	0,33	0,95	1,00	2



Abb. 16: Extensive Badestelle (Probestelle 8) am Stocksee.

Stolper See

Der Stolper See erreichte bei der Bewertung des strukturellen Zustands den „mäßigen“ strukturellen Zustand, was wahrscheinlich wiederum auf den unpassenden Referenzzustand zurückzuführen ist.

Tabelle 27: Bewertungsergebnisse der Probestellen des Stolper Sees mit dem Modul "Struktur". Für jede Probestelle sind die normierten Werte der Kernmetrics sowie die zugehörige Zustandsklasse angegeben. Siehe Tabelle 12 für die Abkürzungen der Kernmetrics.

Stelle	Ufertyp	Odo	Eph	Fisher	Tricho	POM	ZerkI	Col	Zustandsklasse
1	Natürlich	0,00	0,40	0,59	0,78	0,54	0,24	0,25	4
2	Natürlich	0,00	0,40	0,34	0,67	0,70	0,39	0,00	4
3	Natürlich	0,00	0,40	0,11	0,00	0,35	0,16	0,50	4
4	Natürlich	0,13	1,00	1,00	1,00	0,49	0,14	0,75	2
5	Natürlich	0,00	0,40	0,22	0,33	0,94	0,56	0,25	4
6	Natürlich	0,07	0,20	0,40	0,33	1,00	0,50	0,75	3
7	Natürlich	0,00	1,00	0,65	1,00	0,41	0,11	1,00	3
8	Spundwand	0,00	0,40	0,20	0,56	0,62	0,04	0,00	4

Suhrer See

Der Suhrer See erreichte bei der Bewertung des strukturellen Zustands den „mäßigen“ strukturellen Zustand, was wahrscheinlich wiederum auf den unpassenden Referenzzustand zurückzuführen ist. Wie am Schöhsee auch, fehlte Schilf am Suhrer See fast vollständig, so dass unklar ist, inwiefern das Fehlen von Schilf natürliche oder anthropogene Ursachen hat.

Tabelle 28: Bewertungsergebnisse der Probestellen des Suhrer Sees mit dem Modul "Struktur". Für jede Probestelle sind die normierten Werte der Kernmetrics sowie die zugehörige Zustandsklasse angegeben. Siehe Tabelle 12 für die Abkürzungen der Kernmetrics.

Stelle	Ufertyp	Odo	Eph	Fisher	Tricho	POM	ZerkI	Col	Zustands-klasse
1	Natürlich	0,40	1,00	0,52	0,56	0,01	0,22	0,75	3
2	Natürlich	0,00	1,00	0,68	0,22	0,20	0,36	0,75	3
3	Natürlich	0,00	0,60	0,15	0,44	0,00	0,65	0,50	4
4	Natürlich	0,07	0,60	0,41	0,67	0,89	0,14	1,00	3
5	Natürlich	0,00	0,20	0,57	1,00	0,31	0,26	1,00	3
6	Natürlich	0,00	1,00	0,86	1,00	0,67	0,36	0,75	2
7	Steinschüttung	0,00	0,20	0,05	0,44	0,00	0,40	0,50	4
8	Natürlich	0,13	1,00	0,64	1,00	0,54	0,17	0,75	2

Zusammenfassend ist festzustellen, dass die Bewertung der Probestellen an natürlichen Ufern meist unplausible Ergebnisse lieferte (Tab. 29). An diesen 106 Stellen wurden Zustandsklassen von „sehr gut“ bis „schlecht“ erreicht. Dabei wurden Stellen mit hoher Habitatheterogenität (Anzahl Habitate ≥ 3) in 97 % aller Fälle nie schlechter als mit „mäßiger struktureller Zustand“ bewertet, was zeigt, dass eine Bewertung mit dem Modul „Struktur“ bei natürlichen Stellen zielführend ist. Allerdings wurden bei den Untersuchungen auch natürliche Stellen vorgefunden, bei denen die Habitatheterogenität ohne ersichtliche anthropogene Modifikation eingeschränkt war. Da das Modul „Struktur“ hauptsächlich auf die Habitatheterogenität geeicht ist, erreichten Stellen mit einer Habitatanzahl < 3 in 69 aller Fälle eine Zustandsklasse ≥ 4 . Die teilweise schlechte Bewertung der natürlichen Stellen war auch der Grund dafür, dass der Großteil der untersuchten Seen nur den „mäßigen“ oder „unbefriedigenden strukturellen Zustand“ erreichten (Abb. 4). Bei acht der 17 untersuchten Seen konnte als Ursache ein unpassender Referenzzustand als Ursache herausgearbeitet werden, so dass der Referenzzustand im Zuge der weiteren Verfahrensentwicklung angepasst werden muss.

Tabelle 29: Zusammenfassende Plausibilitätsprüfung der Bewertungsergebnisse mit dem Modul „Struktur“ auf Ebene des Sees.

See	Strukturelle Zustandsklasse	Plausibilität der Bewertung
Dieksee	3	plausibel
Großensee	2	plausibel
Kellersee	4	plausibel
Stocksee	2	plausibel
Belauer See	3	
Gr. Eutiner See	4	
Gr. Küchensee	4	
Lanker See	4	
Schmalensee	4	Unpassender Referenzzustand
Schöhsee		
Selenter See	3	
Stolper See	3	
Gr. Plöner See	4	Unpassender Referenzzustand / Neozoa
Gr. Ratzeburger See	4	Unpassender Referenzzustand / Neozoa
Suhrer See	3	Unpassender Referenzzustand / Schilfrückgang
Bornhöveder See	4	Unpassender Referenzzustand / Trophie
Schmalensee	4	Unpassender Referenzzustand / Trophie
Stendorfer See	3	Unpassender Referenzzustand / Trophie

3.3.2 Modul Neozoa

Die Bewertung mit dem Modul „Neozoa“ zeigte, dass sich die untersuchten Seen größtenteils im unbeeinträchtigten Zustand befinden, da 89 % der bewerteten Stellen eine Zustandsklasse ≥ 2 erreichten (Anhang 21). Dies zeigte sich auch auf der Gesamtseen-Ebene, wo 15 der 17 untersuchten Seen eine Zustandsklasse ≥ 2 erreichten (Abb. 4). Lediglich im Gr. Plöner See und Gr. Ratzeburger See traten erhöhte Individuendichten von Neozoa auf, so dass beide Seen den „guten Zustand“ bezüglich Neozoa verfehlten (Abb. 4). Auf die Ursachen der Neozoa-Präsenz in beiden Seen ist im Kapitel 3.1 hingewiesen worden.

3.4 Mindestanzahl an Probestellen

3.4.1 Artenzusammensetzung

Mit dieser Auswertung wurde getestet, wie sich die faunistische Ähnlichkeit der Artengemeinschaft von weniger als acht Probestellen zur tatsächlichen Gesamtsee-Artengemeinschaft mit acht Probestellen verhält.

Erwartungsgemäß nahm die faunistische Ähnlichkeit zur Gesamtsee-Artengemeinschaft mit abnehmender Anzahl an Probestellen in jedem der analysierten Seen deutlich ab (Abb. 17). So betrug die faunistische Ähnlichkeit mit 7 Probestellen im Mittel noch 93 % zur tatsächlichen Gesamtsee-Artengemeinschaft, während die Ähnlichkeit mit 3 Probestellen nur noch 54 % betrug (Abb. 17). Den Endpunkt bildete die Gesamtsee-Artengemeinschaft bestehend aus einer Probestelle, bei der die faunistische Ähnlichkeit zur tatsächlichen Gesamtsee-Artengemeinschaft nur noch 22 % betrug.

3.4.2 Modul „Struktur“

Hier wurde geprüft, inwiefern die ökologische Seenbewertung mit dem Modul „Struktur“ bei weniger als acht Probestellen von der mit acht Probestellen abweicht. Auch hier zeigte sich, dass mit abnehmender Anzahl an Probestellen die Zustandsklasse des Moduls „Struktur“ abnahm. Bei allen analysierten Seen nahm der Zustand zunächst um eine halbe Klasse ab, wenn anstatt acht Stellen nur sieben Stellen verwendet wurden (Abb. 18).

Bei der Verwendung von weniger als sieben Stellen konnten dagegen keine weiteren Änderungen der Zustandsklasse mehr gefunden werden. Erst bei der Reduzierung auf im Mittel fünf Stellen trat eine weitere deutliche Reduzierung der Zustandsklasse auf, so dass der See auf dieser Basis um eine ganze Zustandsklasse schlechter bewertet wurde, als dies mit acht Stellen der Fall gewesen wäre.

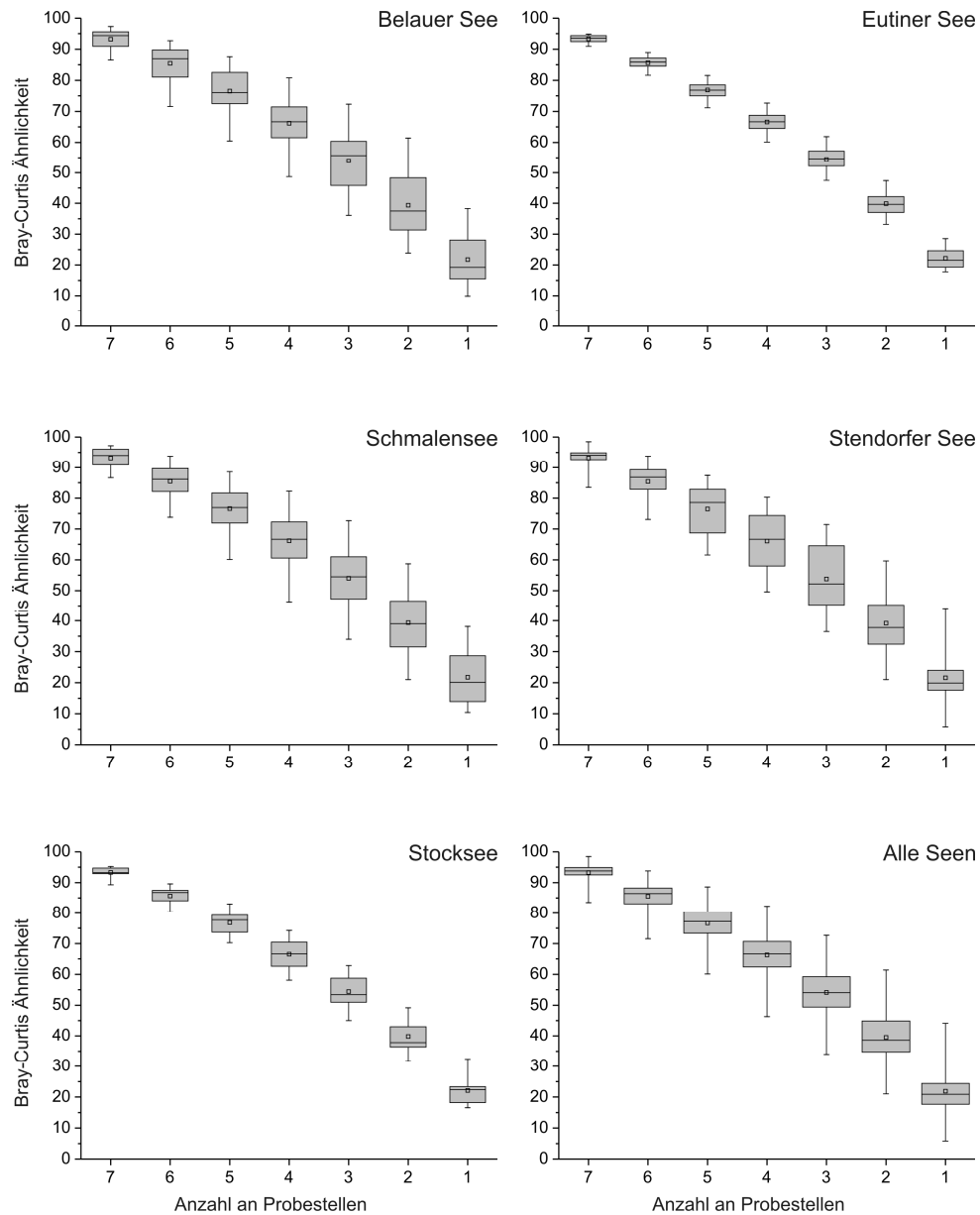


Abb. 17: Faunistische Ähnlichkeit (Bray-Curtis Ähnlichkeit) der Artengemeinschaft von weniger als acht Probestellen zur tatsächlichen Gesamtsee-Artengemeinschaft mit acht Probestellen.

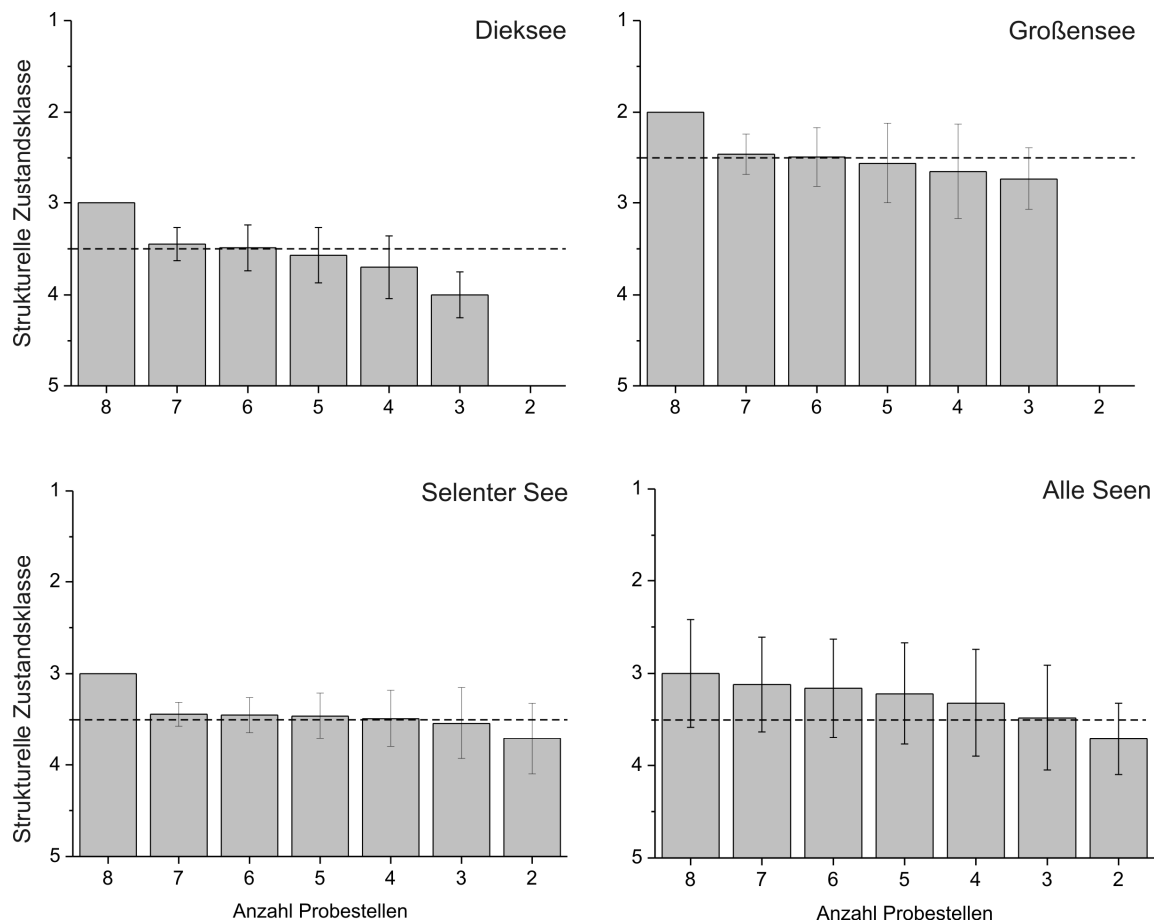


Abb. 18: Ergebnisse der Berechnung der strukturellen Zustandsklasse (Mittelwert \pm Standardabweichung) mit dem Modul „Struktur“ bei einer schrittweisen Reduzierung der Anzahl an Probestellen. Die gestrichelte Linie zeigt an, ab welcher Anzahl an Probestellen sich die Zustandsklasse bei ganzzahliger Schreibweise um eine Zustandsklasse verschlechtern würde.

Zusammenfassend ist festzustellen, dass eine Reduzierung der Probestellenzahl immer mit einem Verlust an Aussagekraft sowohl bei der faunistischen Ähnlichkeit als auch bei Bewertung des strukturellen Zustands einherging. Der Verlust bei einer Reduzierung der Probestellenzahl von acht auf sieben bzw. sechs war jedoch vergleichsweise gering, so dass anhand der vorliegenden Ergebnisse als Mindestanzahl sechs Probestellen für eine aussagekräftige Seenbewertung ausreichen würden. Bevor die Mindestanzahl an Probestellen jedoch verbindlich reduziert werden kann, sollte ein umfangreicherer Test mit Seen aus anderen Bundesländern durchgeführt werden.

4 Literatur

- Brauns, M., X.-F. Garcia & M. Pusch (2009): Vorschrift für die standardisierte Probenahme des biologischen Qualitätselementes „Makrozoobenthos“ im Litoral von Seen.- Projektbericht im Auftrag der Senatsentwicklung für Gesundheit, Umwelt und Verbraucherschutz Berlin, 19 pp.
- Brauns, M., X.-F. Garcia, M. Pusch & N. Walz (2007a): Eulittoral macroinvertebrate communities of lowland lakes: discrimination among trophic states. *Freshwater Biology* 52: 1022-1032.
- Brauns, M., X.-F. Garcia, N. Walz & M. Pusch (2007b): Effects of human shoreline development on littoral macroinvertebrates in lowland lakes.- *Journal of Applied Ecology* 44: 1138-1144.
- Brauns, M., X.-F. Garcia, N. Walz & M. Pusch (2008): Untersuchung des eulitoralen Makrozoobenthos an zehn Seen in Schleswig-Holstein.- Projektbericht im Auftrag Landesamt für Natur und Umwelt des Landes Schleswig-Holstein, 24 pp.
- Brodersen, K.P., P.C. Dall & C. Lindegaard (1998): The fauna in the upper stony littoral of Danish lakes: macroinvertebrates as trophic indicators.- *Freshwater Biology* 39: 577-592.
- de Vaate, A.B., K. Jazdzewski, H.A.M. Ketelaars, S. Gollasch & G. van der Velde (2002): Geographical patterns in range extension of Ponto-Caspian macroinvertebrate species in Europe. *Canadian Journal of Fisheries and Aquatic Sciences* 59: 1159-1174.
- Europäisches Parlament und Rat der Europäischen Union (2000): Richtlinie 2000/60/EG vom 23.10.2000 zu Schaffung eines Ordnungsrahmens für Maßnahmen der Gemeinschaft im Bereich der Wasserpolitik-kurz: Europäische Wasserrahmenrichtlinie (WRRL).- Amtsblatt der Europäischen Gemeinschaften L 327 vom 22.12.2000, 1-72.
- Fittkau, E. J., M. Colling, M. Hess, G. Hofmann, C. Orendt, N. Reiff & W. Riss, W. (1993): Biologische Trophieindikation im Litoral von Seen.- Informationsberichte des Bayerischen Landesamt für Wasserwirtschaft: 1-184.
- Lewis, P.A., D.J. Klemm & W.T. Thoeny (2001): Perspectives on use of a multimetric lake bioassessment integrity index using benthic macroinvertebrates.- *Northeastern Naturalist* 8: 233-246.
- Meier, C., J. Böhmer, R. Biss, C. Feld, P. Haase, A. Lorenz, C. Rawer-Jost, P. Rolauffs, k. Schindehütte, F. Schöll, A. Sundermann, A. Zenker & D. Hering (2006): Weiterentwicklung und Anpassung des nationalen Bewertungssystems für Makrozoobenthos an neue internationale Vorgaben.- Bericht im Auftrag des Umweltbundesamtes, 198 pp.

Nehring, S. (2009): Neozoa (Makrozoobenthos) in den deutschen Gewässern - Eine Einführung. - AeT Umweltplanung Koblenz, <http://www.neozoa.de>

Schmieder, K. (2004): European lake shores in danger - concepts for a sustainable development. Limnologica 34: 3-14.

Walz, N., R. Brüggemann & W. Ostendorp (2002): Die ökologische Bewertung von Seeufern in Deutschland.- UWSF - Z. Umweltchem. Ökotox. 14 (4): 255-256.

Zenker, A., B. Baier & J. Böhmer (2006): Feinabstimmung des Bewertungsverfahrens für Makrozoobenthos in stehenden Gewässern – Abschlussbericht 2005.- Institut für Zoologie, Universität Hohenheim, 50 pp.

Anhang 1: Geographische Lage der Probestellen der in 2009 untersuchten Seen sowie deren Zugehörigkeit zu den Uferstrukturtypen.

Seename	Stelle	G.-K.-Koordinaten			Landwirtige Uferstruktur	Probe- datum
		RW	HW	Ufertyp		
Belauer See	1	3581552	5996531	Natürlich	Wald	23.04.09
Belauer See	2	3581628	5997177	Natürlich	Wald	23.04.09
Belauer See	3	3581745	5997779	Natürlich	Wald	23.04.09
Belauer See	4	3582136	5998460	Natürlich	Weideland	22.04.09
Belauer See	5	3582319	5997974	Natürlich	Weideland	23.04.09
Belauer See	6	3582342	5997433	Natürlich	Weideland	23.04.09
Belauer See	7	3582361	5997158	Badestelle	Parkanlage	23.04.09
Belauer See	8	3582009	5996833	Natürlich	Wald	23.04.09
Bornhöveder See	1	3581829	5994773	Natürlich	Wald	22.04.09
Bornhöveder See	2	3581493	5994589	Natürlich	Teichanlagen	22.04.09
Bornhöveder See	3	3581086	5994532	Natürlich	Wald	22.04.09
Bornhöveder See	4	3580946	5994711	Badestelle	Badestelle	22.04.09
Bornhöveder See	5	3581020	5995161	Natürlich	Wald	22.04.09
Bornhöveder See	6	3581287	5995373	Natürlich	Wald	22.04.09
Bornhöveder See	7	3581618	5995453	Natürlich	Wald	22.04.09
Bornhöveder See	8	3581614	5995453	Natürlich	Siedlung	22.04.09
Großensee	1	3589896	5944692	Natürlich	Wald	11.05.09
Großensee	2	3589423	5944265	Natürlich	Wald	11.05.09
Großensee	3	3589248	5943231	Badestelle	Badestelle	11.05.09
Großensee	4	3589014	5943772	Steganlage	Parkanlage	11.05.09
Großensee	5	3589004	5944142	Natürlich	Siedlung	11.05.09
Großensee	6	3589582	5944913	Natürlich	Wald	11.05.09
Großensee	7	3589812	5945199	Natürlich	Wald	11.05.09
Großensee	8	3590052	5945213	Badestelle	Badestelle	11.05.09
Schmalensee	1	3581141	5995672	Natürlich	Acker	22.04.09
Schmalensee	2	3581141	5996088	Natürlich	Wald	22.04.09
Schmalensee	3	3581977	5995961	Natürlich	Wald	22.04.09
Schmalensee	4	3582296	5995847	Natürlich	Wald	22.04.09
Schmalensee	5	3583118	5995584	Natürlich	Wasserentnahmestelle	22.04.09
Schmalensee	6	3582827	5995291	Natürlich	Weideland	22.04.09
Schmalensee	7	3582310	5995580	Natürlich	Wald	22.04.09
Schmalensee	8	3581911	5995387	Natürlich	Weideland	22.04.09
Selenter See	1	3597417	6019070	Natürlich	Wald	08.05.09
Selenter See	2	3596860	6020657	Natürlich	Wald	08.05.09
Selenter See	3	3594766	6021692	Natürlich	Wald	08.05.09
Selenter See	4	3592865	6021865	Natürlich	Wald	08.05.09
Selenter See	5	3590327	6022072	Natürlich	Parkanlage	08.05.09
Selenter See	6	3590134	6020183	Badestelle	Badestelle	08.05.09
Selenter See	7	3592686	6019633	Natürlich	Wald	08.05.09
Selenter See	8	3594784	6018434	Natürlich	Wald	08.05.09
Stocksee	1	3596882	6017235	Natürlich	Wald	06.05.09
Stocksee	2	3587966	5994696	Natürlich	Wald	06.05.09
Stocksee	3	3588347	5995491	Natürlich	Wald	06.05.09
Stocksee	4	3588987	5995692	Natürlich	Weideland	06.05.09
Stocksee	5	3598345	5996104	Natürlich	Wald	06.05.09
Stocksee	6	3589179	5996798	Natürlich	Wald	06.05.09
Stocksee	7	3588499	5996505	Natürlich	Wald	06.05.09
Stocksee	8	3587947	5995965	Badestelle	Badestelle	06.05.09
Stolper See	1	3580395	6000646	Natürlich	Mischwald	07.05.09
Stolper See	2	3580220	6000028	Natürlich	Weidengebüsche	07.05.09
Stolper See	3	3580032	5999216	Natürlich	Verlandung	07.05.09
Stolper See	4	3580552	5999419	Natürlich	Wald	07.05.09
Stolper See	5	3580911	6000090	Natürlich	Wald	07.05.09
Stolper See	6	3580956	6001056	Natürlich	Wald	07.05.09
Stolper See	7	3580740	6001382	Natürlich	Wald	07.05.09
Stolper See	8	3587946	5995964	Spundwand	Hafenanlage	07.05.09

Anhang 2: Getestete Metrickombinationen sowie deren Spearman-Korrelationskoeffizient mit der gewichteten Habitativelfalt der Probestellen. Die finale Metrickombination ist hervorgehoben.

Anhang 2: Getestete Metrickombinationen sowie deren Spearman-Korrelationskoeffizient mit der gewichteten Habitativelfalt der Probestellen. Die finale Metrickombination ist hervorgehoben.

Anhang 2: Geetestete Metrickombinationen sowie deren Spearman-Korrelationskoeffizient mit der gewichteten Habitatvielfalt der Probestellen. Die finale Metrickombination ist hervorgehoben.

Vielfalt		Zusammensetzung			Funktion			Störungsempfindliche Taxa				
# Coleoptera	# Ephemeroptera	Fisher Diversität	# Trichoptera	Coleoptera [%] + Odonata [%]	Crustacea [%]	Odonata [%]	POM Bewohner [%]	Zerkleinerer [%]	Dytiscidae [%] an Coleoptera]	Etimidae [%] an Coleoptera]	ρ	P
x				x	x	x	x	x	x	x	0.63	0.000
	x	x		x	x	x	x	x	x	x	0.63	0.000
	x		x	x	x	x			x	x	0.63	0.000
		x		x	x	x		x	x	x	0.63	0.000
			x	x	x	x	x	x	x	x	0.63	0.000
			x	x	x	x	x	x	x	x	0.63	0.000
x	x	x	x	x	x	x	x	x	x	x	0.63	0.000
x	x	x	x	x	x	x	x	x	x	x	0.63	0.000
x	x	x	x	x	x	x	x	x	x	x	0.63	0.000
x	x	x	x	x	x	x	x	x	x	x	0.63	0.000
x	x	x	x	x	x	x	x	x	x	x	0.63	0.000
x	x	x	x	x	x	x	x	x	x	x	0.63	0.000
x	x	x	x	x	x	x	x	x	x	x	0.63	0.000
x	x	x	x	x	x	x	x	x	x	x	0.63	0.000
x	x	x	x	x	x	x	x	x	x	x	0.63	0.000
x	x	x	x	x	x	x	x	x	x	x	0.63	0.000
x	x	x	x	x	x	x	x	x	x	x	0.63	0.000
x	x	x	x	x	x	x	x	x	x	x	0.63	0.000
x	x	x	x	x	x	x	x	x	x	x	0.63	0.000
x	x	x	x	x	x	x	x	x	x	x	0.63	0.000
x	x	x	x	x	x	x	x	x	x	x	0.63	0.000
x	x	x	x	x	x	x	x	x	x	x	0.63	0.000
x	x	x	x	x	x	x	x	x	x	x	0.63	0.000
x	x	x	x	x	x	x	x	x	x	x	0.63	0.000
x	x	x	x	x	x	x	x	x	x	x	0.63	0.000
x	x	x	x	x	x	x	x	x	x	x	0.63	0.000
x	x	x	x	x	x	x	x	x	x	x	0.62	0.000
x	x	x	x	x	x	x	x	x	x	x	0.62	0.000
x	x	x	x	x	x	x	x	x	x	x	0.62	0.000
x	x	x	x	x	x	x	x	x	x	x	0.62	0.000

Anhang 2: Getestete Metrickombinationen sowie deren Spearman-Korrelationskoeffizient mit der gewichteten Habitativelfalt der Probestellen. Die finale Metrickombination ist hervorgehoben.

Anhang 2: Getestete Metrickombinationen sowie deren Spearman-Korrelationskoeffizient mit der gewichteten Habitativelfalt der Probestellen. Die finale Metrickombination ist hervorgehoben.

Anhang 2: Getestete Metrickombinationen sowie deren Spearman-Korrelationskoeffizient mit der gewichteten Habitativelfalt der Probestellen. Die finale Metrickombination ist hervorgehoben.

Anhang 2: Getestete Metrickombinationen sowie deren Spearman-Korrelationskoeffizient mit der gewichteten Habitativelfalt der Probestellen. Die finale Metrickombination ist hervorgehoben.

Anhang 2: Getestete Metrickombinationen sowie deren Spearman-Korrelationskoeffizient mit der gewichteten Habitativelfalt der Probestellen. Die finale Metrickombination ist hervorgehoben.

Anhang 2: Getestete Metrickombinationen sowie deren Spearman-Korrelationskoeffizient mit der gewichteten Habitativelfalt der Probestellen. Die finale Metrickombination ist hervorgehoben.

Anhang 2: Getestete Metrickombinationen sowie deren Spearman-Korrelationskoeffizient mit der gewichteten Habitativelfalt der Probestellen. Die finale Metrickombination ist hervorgehoben.

Anhang 2: Getestete Metrickombinationen sowie deren Spearman-Korrelationskoeffizient mit der gewichteten Habitativelfalt der Probestellen. Die finale Metrickombination ist hervorgehoben.

Anhang 2: Getestete Metrickombinationen sowie deren Spearman-Korrelationskoeffizient mit der gewichteten Habitativelfalt der Probestellen. Die finale Metrickombination ist hervorgehoben.

Anhang 2: Getestete Metrickombinationen sowie deren Spearman-Korrelationskoeffizient mit der gewichteten Habitativelfalt der Probestellen. Die finale Metrickombination ist hervorgehoben.

Anhang 2: Getestete Metrickombinationen sowie deren Spearman-Korrelationskoeffizient mit der gewichteten Habitativelfalt der Probestellen. Die finale Metrickombination ist hervorgehoben.

Anhang 2: Getestete Metrickombinationen sowie deren Spearman-Korrelationskoeffizient mit der gewichteten Habitativelfalt der Probestellen. Die finale Metrickombination ist hervorgehoben.

Anhang 2: Getestete Metrickombinationen sowie deren Spearman-Korrelationskoeffizient mit der gewichteten Habitativelfalt der Probestellen. Die finale Metrickombination ist hervorgehoben.

Anhang 2: Getestete Metrickombinationen sowie deren Spearman-Korrelationskoeffizient mit der gewichteten Habitativelfalt der Probestellen. Die finale Metrickombination ist hervorgehoben.

Anhang 2: Getestete Metrickombinationen sowie deren Spearman-Korrelationskoeffizient mit der gewichteten Habitativelfalt der Probestellen. Die finale Metrickombination ist hervorgehoben.

Anhang 2: Getestete Metrickombinationen sowie deren Spearman-Korrelationskoeffizient mit der gewichteten Habitativelfalt der Probestellen. Die finale Metrickombination ist hervorgehoben.

Anhang 2: Getestete Metrickombinationen sowie deren Spearman-Korrelationskoeffizient mit der gewichteten Habitativelfalt der Probestellen. Die finale Metrickombination ist hervorgehoben.

Anhang 2: Getestete Metrickombinationen sowie deren Spearman-Korrelationskoeffizient mit der gewichteten Habitativelfalt der Probestellen. Die finale Metrickombination ist hervorgehoben.

Anhang 2: Getestete Metrickombinationen sowie deren Spearman-Korrelationskoeffizient mit der gewichteten Habitativelfalt der Probestellen. Die finale Metrickombination ist hervorgehoben.

Anhang 2: Getestete Metrickombinationen sowie deren Spearman-Korrelationskoeffizient mit der gewichteten Habitativelfalt der Probestellen. Die finale Metrickombination ist hervorgehoben.

Anhang 2: Getestete Metrickombinationen sowie deren Spearman-Korrelationskoeffizient mit der gewichteten Habitativelfalt der Probestellen. Die finale Metrickombination ist hervorgehoben.

Anhang 2: Getestete Metrickombinationen sowie deren Spearman-Korrelationskoeffizient mit der gewichteten Habitativelfalt der Probestellen. Die finale Metrickombination ist hervorgehoben.

Anhang 2: Getestete Metrickombinationen sowie deren Spearman-Korrelationskoeffizient mit der gewichteten Habitativelfalt der Probestellen. Die finale Metrickombination ist hervorgehoben.

Anhang 2: Getestete Metrickombinationen sowie deren Spearman-Korrelationskoeffizient mit der gewichteten Habitativelfalt der Probestellen. Die finale Metrickombination ist hervorgehoben.

Anhang 2: Getestete Metrickombinationen sowie deren Spearman-Korrelationskoeffizient mit der gewichteten Habitativelfalt der Probestellen. Die finale Metrickombination ist hervorgehoben.

Anhang 2: Getestete Metrickombinationen sowie deren Spearman-Korrelationskoeffizient mit der gewichteten Habitativelfalt der Probestellen. Die finale Metrickombination ist hervorgehoben.

Anhang 2: Getestete Metrickombinationen sowie deren Spearman-Korrelationskoeffizient mit der gewichteten Habitativelfalt der Probestellen. Die finale Metrickombination ist hervorgehoben.

Anhang 2: Getestete Metrickombinationen sowie deren Spearman-Korrelationskoeffizient mit der gewichteten Habitativelfalt der Probestellen. Die finale Metrickombination ist hervorgehoben.

Anhang 2: Getestete Metrickombinationen sowie deren Spearman-Korrelationskoeffizient mit der gewichteten Habitativelfalt der Probestellen. Die finale Metrickombination ist hervorgehoben.

Anhang 2: Getestete Metrickombinationen sowie deren Spearman-Korrelationskoeffizient mit der gewichteten Habitativelfalt der Probestellen. Die finale Metrickombination ist hervorgehoben.

Anhang 2: Getestete Metrickombinationen sowie deren Spearman-Korrelationskoeffizient mit der gewichteten Habitativelfalt der Probestellen. Die finale Metrickombination ist hervorgehoben.

Anhang 2: Getestete Metrickombinationen sowie deren Spearman-Korrelationskoeffizient mit der gewichteten Habitativelfalt der Probestellen. Die finale Metrickombination ist hervorgehoben.

Anhang 2: Getestete Metrickombinationen sowie deren Spearman-Korrelationskoeffizient mit der gewichteten Habitativelfalt der Probestellen. Die finale Metrickombination ist hervorgehoben.

Anhang 2: Getestete Metrickombinationen sowie deren Spearman-Korrelationskoeffizient mit der gewichteten Habitativelfalt der Probestellen. Die finale Metrickombination ist hervorgehoben.

Anhang 2: Getestete Metrickombinationen sowie deren Spearman-Korrelationskoeffizient mit der gewichteten Habitativelfalt der Probestellen. Die finale Metrickombination ist hervorgehoben.

Anhang 2: Getestete Metrickombinationen sowie deren Spearman-Korrelationskoeffizient mit der gewichteten Habitativelfalt der Probestellen. Die finale Metrickombination ist hervorgehoben.

Anhang 2: Getestete Metrickombinationen sowie deren Spearman-Korrelationskoeffizient mit der gewichteten Habitativelfalt der Probestellen. Die finale Metrickombination ist hervorgehoben.

Anhang 2: Getestete Metrickombinationen sowie deren Spearman-Korrelationskoeffizient mit der gewichteten Habitativelfalt der Probestellen. Die finale Metrickombination ist hervorgehoben.

Anhang 2: Getestete Metrickombinationen sowie deren Spearman-Korrelationskoeffizient mit der gewichteten Habitativelfalt der Probestellen. Die finale Metrickombination ist hervorgehoben.

Anhang 2: Getestete Metrickombinationen sowie deren Spearman-Korrelationskoeffizient mit der gewichteten Habitativelfalt der Probestellen. Die finale Metrickombination ist hervorgehoben.

Anhang 2: Getestete Metrickombinationen sowie deren Spearman-Korrelationskoeffizient mit der gewichteten Habitativelfalt der Probestellen. Die finale Metrickombination ist hervorgehoben.

Anhang 2: Getestete Metrickombinationen sowie deren Spearman-Korrelationskoeffizient mit der gewichteten Habitativelfalt der Probestellen. Die finale Metrickombination ist hervorgehoben.

Anhang 2: Geetestete Metrickombinationen sowie deren Spearman-Korrelationskoeffizient mit der gewichteten Habitatvielfalt der Probestellen. Die finale Metrickombination ist hervorgehoben.

Vielfalt	Zusammensetzung			Funktion			Störungsempfindliche Taxa			ρ	P	
	# Coleoptera	# Ephemeroptera	Fisher Diversität	# Trichoptera	Coleoptera [%] + Odonata [%]	Crustacea [%]	Odonata [%]	POM Bewohner [%]	Zerkleinerer [%]	Dytiscidae [%] an Coleoptera]	Etimidae [%] an Coleoptera]	
x	x	x	x	x	x		x	x	x	x	0.47	0.000
x	x	x	x	x	x		x	x	x	x	0.47	0.000
x	x	x	x	x	x		x	x	x	x	0.47	0.000
x	x	x	x	x	x		x	x	x	x	0.47	0.000
x	x	x	x	x	x		x	x	x	x	0.47	0.000
x	x	x	x	x	x		x	x	x	x	0.47	0.000
x	x	x	x	x	x		x	x	x	x	0.47	0.000
x	x	x	x	x	x		x	x	x	x	0.47	0.000
x	x	x	x	x	x		x	x	x	x	0.47	0.000
x	x	x	x	x	x		x	x	x	x	0.47	0.000
x	x	x	x	x	x		x	x	x	x	0.47	0.000
x	x	x	x	x	x		x	x	x	x	0.47	0.000
x	x	x	x	x	x		x	x	x	x	0.47	0.000
x	x	x	x	x	x		x	x	x	x	0.47	0.000
x	x	x	x	x	x		x	x	x	x	0.47	0.000
x	x	x	x	x	x		x	x	x	x	0.47	0.000
x	x	x	x	x	x		x	x	x	x	0.47	0.000
x	x	x	x	x	x		x	x	x	x	0.47	0.000
x	x	x	x	x	x		x	x	x	x	0.46	0.000
x	x	x	x	x	x		x	x	x	x	0.46	0.000
x	x	x	x	x	x		x	x	x	x	0.46	0.000
x	x	x	x	x	x		x	x	x	x	0.46	0.000

Anhang 2: Getestete Metrickombinationen sowie deren Spearman-Korrelationskoeffizient mit der gewichteten Habitativelfalt der Probestellen. Die finale Metrickombination ist hervorgehoben.

Anhang 2: Getestete Metrickombinationen sowie deren Spearman-Korrelationskoeffizient mit der gewichteten Habitativelfalt der Probestellen. Die finale Metrickombination ist hervorgehoben.

Anhang 2: Getestete Metrickombinationen sowie deren Spearman-Korrelationskoeffizient mit der gewichteten Habitativelfalt der Probestellen. Die finale Metrickombination ist hervorgehoben.

Anhang 2: Getestete Metrickombinationen sowie deren Spearman-Korrelationskoeffizient mit der gewichteten Habitativelfalt der Probestellen. Die finale Metrickombination ist hervorgehoben.

Anhang 2: Getestete Metrickombinationen sowie deren Spearman-Korrelationskoeffizient mit der gewichteten Habitativelfalt der Probestellen. Die finale Metrickombination ist hervorgehoben.

Anhang 2: Getestete Metrickombinationen sowie deren Spearman-Korrelationskoeffizient mit der gewichteten Habitativelfalt der Probestellen. Die finale Metrickombination ist hervorgehoben.

Anhang 2: Getestete Metrickombinationen sowie deren Spearman-Korrelationskoeffizient mit der gewichteten Habitativelfalt der Probestellen. Die finale Metrickombination ist hervorgehoben.

Anhang 2: Getestete Metrickombinationen sowie deren Spearman-Korrelationskoeffizient mit der gewichteten Habitativelfalt der Probestellen. Die finale Metrickombination ist hervorgehoben.

Anhang 2: Getestete Metrickombinationen sowie deren Spearman-Korrelationskoeffizient mit der gewichteten Habitativelfalt der Probestellen. Die finale Metrickombination ist hervorgehoben.

Anhang 2: Geetestete Metrickombinationen sowie deren Spearman-Korrelationskoeffizient mit der gewichteten Habitatvielfalt der Probestellen. Die finale Metrickombination ist hervorgehoben.

Vielfalt	Zusammensetzung				Funktion				Störungsempfindliche Taxa				
	# Coleoptera	# Ephemeroptera	Fisher Diversität	# Trichoptera	Coleoptera [%] + Odonata [%]	Crustacea [%]	Odonata [%]	POM Bewohner [%]	Zerkleinerer [%]	Dytiscidae [%] an Coleoptera]	Etimidae [%] an Coleoptera]	ρ	P
x	x	x	x	x	x	x	x	x	x	x	x	0.40	0.000
x	x	x	x	x	x	x	x	x	x	x	x	0.40	0.000
x	x	x	x	x	x	x	x	x	x	x	x	0.40	0.000
x	x	x	x	x	x	x	x	x	x	x	x	0.40	0.000
x	x	x	x	x	x	x	x	x	x	x	x	0.39	0.000
x	x	x	x	x	x	x	x	x	x	x	x	0.39	0.000
x	x	x	x	x	x	x	x	x	x	x	x	0.39	0.000
x	x	x	x	x	x	x	x	x	x	x	x	0.39	0.000
x	x	x	x	x	x	x	x	x	x	x	x	0.39	0.000
x	x	x	x	x	x	x	x	x	x	x	x	0.39	0.000
x	x	x	x	x	x	x	x	x	x	x	x	0.39	0.000
x	x	x	x	x	x	x	x	x	x	x	x	0.39	0.000
x	x	x	x	x	x	x	x	x	x	x	x	0.39	0.000
x	x	x	x	x	x	x	x	x	x	x	x	0.39	0.000
x	x	x	x	x	x	x	x	x	x	x	x	0.39	0.000
x	x	x	x	x	x	x	x	x	x	x	x	0.39	0.000
x	x	x	x	x	x	x	x	x	x	x	x	0.39	0.000
x	x	x	x	x	x	x	x	x	x	x	x	0.39	0.000
x	x	x	x	x	x	x	x	x	x	x	x	0.39	0.000
x	x	x	x	x	x	x	x	x	x	x	x	0.39	0.000
x	x	x	x	x	x	x	x	x	x	x	x	0.39	0.000
x	x	x	x	x	x	x	x	x	x	x	x	0.39	0.000
x	x	x	x	x	x	x	x	x	x	x	x	0.39	0.000
x	x	x	x	x	x	x	x	x	x	x	x	0.38	0.000
x	x	x	x	x	x	x	x	x	x	x	x	0.38	0.000
x	x	x	x	x	x	x	x	x	x	x	x	0.38	0.000
x	x	x	x	x	x	x	x	x	x	x	x	0.38	0.000

Anhang 2: Geetestete Metrickombinationen sowie deren Spearman-Korrelationskoeffizient mit der gewichteten Habitatvielfalt der Probestellen. Die finale Metrickombination ist hervorgehoben.

# Coleoptera	# Ephemeroptera	Fisher Diversität	# Trichoptera	Zusammensetzung			POM Bewohner [%]	Odonata [%]	Crustacea [%]	Coleoptera [%] + Odonata [%]	Funktion	Dytiscidae [%] an Coleoptera	Elmidae [%] an Coleoptera	ρ	P
				Zerkleinerer [%]	Holzfresser [%]	Zerkleinerer [%]									
x	x	x	x	x	x	x	x	x	x	x	x	x	x	0.38	0.000
x	x	x	x	x	x	x	x	x	x	x	x	x	x	0.38	0.000
x	x	x	x	x	x	x	x	x	x	x	x	x	x	0.38	0.000
x	x	x	x	x	x	x	x	x	x	x	x	x	x	0.38	0.000
x	x	x	x	x	x	x	x	x	x	x	x	x	x	0.38	0.000
x	x	x	x	x	x	x	x	x	x	x	x	x	x	0.38	0.000
x	x	x	x	x	x	x	x	x	x	x	x	x	x	0.38	0.000
x	x	x	x	x	x	x	x	x	x	x	x	x	x	0.37	0.000
x	x	x	x	x	x	x	x	x	x	x	x	x	x	0.37	0.000
x	x	x	x	x	x	x	x	x	x	x	x	x	x	0.37	0.000
x	x	x	x	x	x	x	x	x	x	x	x	x	x	0.37	0.000
x	x	x	x	x	x	x	x	x	x	x	x	x	x	0.37	0.000
x	x	x	x	x	x	x	x	x	x	x	x	x	x	0.37	0.000
x	x	x	x	x	x	x	x	x	x	x	x	x	x	0.37	0.000
x	x	x	x	x	x	x	x	x	x	x	x	x	x	0.37	0.000
x	x	x	x	x	x	x	x	x	x	x	x	x	x	0.37	0.000
x	x	x	x	x	x	x	x	x	x	x	x	x	x	0.36	0.000
x	x	x	x	x	x	x	x	x	x	x	x	x	x	0.34	0.000

Anhang 3: Gesamtartenübersicht des eulitoralen Makrozoobenthos des Dieksees. Abundanzen sind als Individuendichte / m² angegeben.

	Stelle	1	2	3	4	5	6	7	8
	Ufertyp	Natürlich	Steg'anlage	Steinschüttung	Natürlich	Natürlich	Stein	Stein	Natürlich
	Habitat	Sand	Holz	Wurzel	Stahl	Sand	Stein	Schliff	Stein
Porifera									
Spongillidae			5						
Turbellaria									
Bidellocephala punctata					4				
Dendrocoelum lacteum						12			
Dugesia lugubris/polychroa						4			
Polycladius nigra/tenius	4				15	9	42		
Gastropoda									
Bathyomphalus contortus			4						
Bitthynia leachii	4	10	15		10	17	67		
Bitthynia tentaculata	25	8	195	120	35	70	5	13	154
Gyraulus albus			10						
Lymnaea stagnalis									
Marsktionopsis scholtzi	4						10		
Physa fontinalis			4						
Planorbis carinatus		10	5		4				5
Potamopyrgus antipodarum	4		5	5		5	4	1535	25
Radix auricularia			5						
Radix balthica	5	5				4			
Stagnicola sp.				4					
Theodoxus fluviatilis	5	85	10	61		30	65	21	60
Valvata cristata								25	10
Valvata piscinalis	25		10	20	22	10	4	25	5
Bivalvia									
Dreissena polymorpha	854	125	180	74	10	113	45	939	155
Psidium amnicum									
Psidium casertanum									
Psidium heisloianum		5	5						
Psidium hiboricum									
Psidium illiborgii									
Psidium milium	10			20					
Psidium nitidum	75	10	10	65					
Psidium obtusale									
Psidium subtruncatum	40			50					
Sphaerium corneum	20		40						

Anhang 3: Gesamtartenübersicht des eulitoralen Makrozoobenthos des Dieksees. Abundanzen sind als Individuendichte / m² angegeben.

	Stelle	1	2	3	4	5	6	7	8
	Ufertyp	Natürlich	Steg'anlage	Steinschüttung	Natürlich	Natürlich	Siedlungsanlage		
	Habitat	Sand	Holz	Wurzel	Schliff	Stein	Holz	Schliff	Stein
Unio pictorum									
Oligochaeta									
Oligochaeta	345	10	5	315	4	15	185	13	12
Hirudinea									
Alboglossiphonia heterocita		5			5				
Alboglossiphonia hyalina					9	4			5
Eriopodella nigricollis	12	25	5		4	12		20	4
Eriopodella octoculata	5	25	20	4	5	30	26	8	9
Eriopodella testacea		10				5			10
Glossiphonia complanata								5	5
Glossiphonia concolor		15							13
Glossiphonia paludosa						5			
Helobdella stagnalis	5		20		5	4	20		4
Piscicolidae									4
Theromyzon tessulatum		4							
Crustacea									
Aseillus aquaticus	5	54	860	5	35	87	4	60	233
Gammaurus lacustris		133	72					26	25
Gammaurus pulex		75	543					13	
Orconectes limosus			5						2540
Proasellus coxalis	4	45							4
Ephemeroptera									65
Caenis horaria	190	4	130	5	25	9	10	5	20
Caenis luctuosa	25		10		70			40	
Caenis robusta			5						
Centroptilum luteolum		50	30			45	21	10	60
Cloeon dipterum			15						95
Cloeon simile	20								5
Ephemerula vulgaris							5	5	
Odonata									5
Coenagrionidae									10
Heteroptera									8
Corixidae		3			438				
Coleoptera									
Haliphus sp.	30		10				10	4	30
									5
									13

Anhang 3: Gesamtartenübersicht des eulitoralen Makrozoobenthos des Dieksees. Abundanzen sind als Individuendichte / m² angegeben.

	Stelle	1	2	3	4	5	6	7	8
	Ufertyp	Natürlich	Steganganlage	Steinschüttung	Natürlich	Natürlich	Natürlich	Steganganlage	Natürlich
	Habitat	Sand	Holz	Wurzel	Stahl	Sand	Stein	Schliff	Stein
<i>Hyphydrus ovatus</i>									
<i>Laccophilus hyalinus</i>									
<i>Nebrioporus depressus</i>		10							
<i>Orectochilus villosus</i>					12	8	20		27
<i>Oulimnius sp.</i>							15		
<i>Oulimnius troglodytes</i>						8			
<i>Oulimnius tuberculatus</i>							15	4	10
<i>Piatambus maculatus</i>		5							
Trichoptera									
<i>Apatania furcata</i>	5	5	5				10		
<i>Alnabolia nervosa</i>		10	5						
<i>Althripsodes aterrimus</i>	15								
<i>Althripsodes cinereus</i>	5	5	10	17	4	22	42	5	30
<i>Ennomus tenellus</i>						4			
<i>Goera pilosa</i>						13	8	15	
<i>Halesus sp.</i>	15							13	9
<i>Hydropsilia sp.</i>							5		5
<i>Lepidostoma nitrum</i>						25	58	10	
<i>Limnephilus sp.</i>	4	15				10	4	17	
<i>Lype sp.</i>						67		25	10
<i>Molanna angustata</i>						5		25	141
<i>Mystacides azurea</i>	5	175	5	85	4		8	4	30
<i>Mystacides longicornis/nigra</i>	4		10			4			
<i>Nothobobia ciliaris</i>							4		
<i>Oecetis testacea</i>							4		
<i>Orthotrichia sp.</i>							4		
<i>Oxyethira sp.</i>	4	5					4		
<i>Polycentropus flavomaculatus</i>						30	50	46	4
<i>Polycentropus irroratus</i>									
<i>Sericostoma sp.</i>						4			
<i>Tinodes waeneri</i>	17						4	17	5
Diptera									
<i>Ceratopogoninae/Palpomyiinae</i>	5	105		20	78	40	9	30	4
<i>Chaoboridae</i>					5				
<i>Ablabesmyia ongistyta</i>					31	4			35
<i>Brilla bifida</i>							15		10
								5	109
								46	25
								75	25

Anhang 3: Gesamtartenübersicht des eulitoralen Makrozoobenthos des Dieksees. Abundanzen sind als Individuendichte / m² angegeben.

Stelle	Ufertyp	1		2		3		4		5		6		7		8										
		Natürlich	Holz	Wurzel	Sand	Stahl	Sand	Stein	Schiff	Stein	Holz	Schiff	Stein	Holz	Schiff	Stein	Holz	Stein	Pfahl	Sand	Stein	Wurzel	Schiff	Sand	Holz	
<i>Billinia flavifrons</i>																										
<i>Chironomus riparius</i> -Agg.	20																									
<i>Cladotanytarsus</i> sp.	398																									
<i>Conchapelopis melanops</i>																										
<i>Cricotopus</i> sp.	27																									
<i>Cryptochironomus</i> sp.	137																									
<i>Demicryptochironomus</i> sp.	10																									
<i>Dirotendipes modestus</i>																										
<i>Dirotendipes nervosus</i>	7																									
<i>Endochironomus albipennis</i>	20	308	35	15	8	4																				
<i>Glyptotendipes pallens</i>	82	5	20	46	17																					
<i>Glyptotendipes paripes</i>	10																									
<i>Microtendipes chloris</i>																										
<i>Microtendipes pedellus</i>																										
<i>Nanocladius</i> sp.	7	5	30																							
<i>Orthocladius</i> sp.	41	25	55	39																						
<i>Parachironomus arcuatus</i>																										
<i>Paracladopelma</i> sp.																										
<i>Paratanytarsus</i> sp.	68	5																								
<i>Paratendipes albimanus</i>																										
<i>Phaenopsectra</i> sp.	7																									
<i>Polypedilum nubeculosum</i>	31																									
<i>Polypedilum sordens</i>																										
<i>Pothisastia longimana</i>																										
<i>Proctadius</i> sp.	235																									
<i>Psectrocladius</i> sp.																										
<i>Pseudochironomus</i> prasinatus																										
<i>Stenochironomus</i> sp.																										
<i>Stictochironomus</i> sp.																										
<i>Tanytarsus</i> sp.	214	5																								
<i>Virgatanytarsus</i> arduennensis																										

Anhang 4: Gesamtartenübersicht des eulitoralen Makrozoobenthos des Großen Eutiner Sees. Abundanzen sind als Individuendichte / m² angegeben.

	Stelle	1	2	3	4	5	6	7	8
	Ufertyp	Natürlich							
	Habitat	Schlif	Sand	Holz	Schlif	Holz	Sand	Stein	Holz
Hydrozoa									
Hydrozoa							5		
Turbellaria									
Dendrocoelium lacteum						4	5		
Dugesia lugubris/polychroa	5				9	4	35	5	16
Polyxelis nigra/tenuis	3	2	2	12	2	14	93	8	2
Gastropoda									
Aclerix lacustris	5						15		5
Anisus vortex	15						10		10
Bathyomphalus contortus	5								
Bitynnia leachii	20	10			13	5	35	29	10
Bitynnia tentaculata	160	5	72	40	4	14	5	57	20
Gyraulus albus		4	5	4				5	4
Gyraulus crista								12	10
Hippeutis complanatus								5	10
Marsioniopsis scholtzi	5				4	9	20	4	4
Planorbarius corneus								35	35
Planorbis carinatus	5						5	4	5
Potamopygus antipodarum					5	5		5	5
Radix auricularia								5	5
Radix baltica									5
Theodoxus fluviatilis	5		75	14	5	39	15		
Valvata cristata	65	5			4	15	70	12	50
Valvata piscinalis	45	5	10		10	9	65	4	315
Viviparus concretus								8	110
Bivalvia									
Anodonta anatina									10
Dreissena polymorpha	5	10	4	35	279	15	186	15	143
Pisidium casertanum casertanum					5		20	45	75
Pisidium hibernicum	10								
Pisidium nitidum		20			50		35	9	20
Pisidium subtruncatum								5	55
Spisula cornuta	35							5	5
Unio pictorum								4	20
Unio tumidus								5	5

Anhang 4: Gesamtartenübersicht des eulitoralen Makrozoobenthos des Großen Eutinsee. Abundanzen sind als Individuendichte / m² angegeben.

	Stelle	1	2	3	4	5	6	7	8
	Ufertyp	Natürlich	Natürlich	Natürlich	Natürlich	Natürlich	Naturnah	Natürlich	Natürlich
	Habitat	Schlif	Schlif	Holz	Schlif	Holz	Schlif	Schlif	Schlif
		Schlif	Schlif	Schlif	Schlif	Schlif	Schlif	Schlif	Schlif
Oligochaeta									
Oligochaeta	30	55	8	155	225	115	48	10	70
								12	65
									345
									25
									45
									9
Hirudinea									
Alloglossiphonia heteroclitia		5			5		10	15	4
Eriobdella nigricollis	25	16			5	30	5	17	5
Eriobdella octoculata	40	25	36	25	29	5	57	9	35
Glossiphonia complanata					4	5	50	8	17
Glossiphonia concolor		25			5	4	5	25	4
Glossiphonia paludosa		10		4					10
Heleobdella stagnalis	15	15	4	10	12	18	109	9	5
Hemiclepsis marginata	5						5	12	10
Piscicolidae					5		4		30
Theromyzon tessulatum						9	4	4	5
									4
Crustacea									
Asellus aquaticus	175	55	460	95	54	5	17	14	15
Gammastris lacustris							45	290	235
Gammastris pullex	5		15		4		4	15	40
Proasellus coxalis	125	10	92			4	50	325	50
							90	4	8
								35	4
									4
Ephemeroptera									
Caenis horaria	60	165		90	75	4	5	85	52
Caenis luctuosa		5			5		105	26	5
Caenis robusta	20	25					5	10	8
								5	5
Odonata									
Coenagrionidae								5	
Orthetrum sp.									5
Heteroptera									
Corixidae	5	30		50	15		60	26	75
Coleoptera									
Haliphus sp.	5			10			9	4	10
Hygrotes sp.								5	5
Hyphydrus ovatus								20	10
									10

Anhang 4: Gesamtartenübersicht des eulitoralen Makrozoobenthos des Großen Eutiner Sees. Abundanzen sind als Individuendichte / m² angegeben.

	Stelle	1	2	3	4	5	6	7	8
	Ufertyp	Natürlich							
	Habitat	Schlif	Sand	Holz	Schlif	Holz	Sand	Stein	Holz
<i>Neorioporus depresso</i>									
<i>Orectochilus villosus</i>					5	9	9		
<i>Oulumnius tuberculatus</i>						5			
Trichoptera									
<i>Anabolia nervosa</i>								5	
<i>Atrichodes aterrimus</i>	4	10	25		15	48	5		
<i>Atrichodes cinereus</i>			50	12	80	22			
<i>Cymus trimaculatus</i>		25	10		13			5	8
<i>Goera pilosa</i>					5				9
<i>Holocentropus</i> sp.	4						20		
<i>Hydropsilia</i> sp.	5								
<i>Limnephilus</i> sp.		8				5			
<i>Lype</i> sp.					9				9
<i>Molanna angustata</i>		5							
<i>Mystacides longicornis/nigra</i>		4	132	5		215	25	4	
<i>Orthotrichia</i> sp.			8	5	5			58	5
<i>Tinodes waeneri</i>	35	17	25	86	5	22		4	
<i>Triaenodes unaninis/bicolor</i>							8	4	4
Diptera									
<i>Ceratopogoninae/Palpomyinae</i>	15	10	204	20	55	17	14	60	135
<i>Abibatesmyia longistyla</i>							9		105
<i>Chironomus</i> sp.					105		79	4	
<i>Chironomus tentans</i>									
<i>Cladotanytarsus</i> sp.	5		100	5	9	175	9		
<i>Conchapelopia melanops</i>								4	11
<i>Cricotopus</i> sp.	65	4	105	37	15	54	78		
<i>Cryptochironomus</i> sp.					30		36	4	
<i>Demicryptochironomus</i> sp.					10		6		
<i>Dicrotendipes nervosus</i>					12	45		13	8
<i>Endochironomus albipennis</i>	30		10	12	5	5	9	4	17
<i>Glyptotendipes pallens</i>	25	172	215	1133	26	217	843	63	95
<i>Glyptotendipes paripes</i>		10		19			179	9	
<i>Microtendipes pedellus</i>				10	5	36	4		
<i>Nanocladius</i> sp.								5	
<i>Parachironomus arcuatus</i>									15
<i>Paratanytarsus</i> sp.	20				5	5		4	5
								7	5

Anhang 4: Gesamtartenübersicht des eulitoralen Makrozoobenthos des Großen Eutinsee. Abundanzen sind als Individuendichte / m² angegeben.

	Stelle		1		2		3		4		5		6		7		8	
	UferTyp		Natürlich		Natürlich		Natürlich		Natürlich		Natürlich		Natürlich		Natürlich		Natürlich	
	Habitat	Schliff	Sand	Holz	Schliff	Holz	Sand	Stein	Holz	Schliff	Stein	Holz	Schliff	Stein	Holz	Schliff	Sand	Holz
<i>Polyxenus nubeculosum</i>							20		6							60		
<i>Polyxenus scalaenum</i>	5																	
<i>Polyxenus sordens</i>					73	5	17				5							
<i>Procladius</i> sp.	5					40			24	22	5	4	6	30	160	86	5	5
<i>Stenochironomus</i> sp.											5						40	
<i>Tanytarsus</i> sp.	5	95				10		6						5	5			25
<i>Tribelos intextus</i>							10								15			
<i>Tabanidae</i>							5								5			

Anhang 5: Gesamtartenübersicht des eulitoralen Makrozoobenthos des Kellersees. Abundanzen sind als Individuendichte / m² angegeben.

	Stelle	Ufertyp		Natürlich		Natürlich		Steeganlage		Natürlich		Steinschüttung		8		
	Habitat	Schliff	Sand	Holz	Stein	Holz	Stein	Holz	Pfahl	Sand	Stein	Schliff	Sand	Stein	Stein	Wurzel
Turbellaria																
<i>Bdellocephala punctata</i>					4											
<i>Dugesia lugubris/polychora</i>				4				36			5			7	9	
<i>Polycelis nigrafemoris</i>		13	7	11	3	3	2			5			4	5	5	
Gastropoda																
<i>Acroloxus lacustris</i>					30											
<i>Anisus vortex</i>					5	9	4									
<i>Anisus vorticulus</i>																
<i>Bathyomphalus contractus</i>																
<i>Bitbynia leachii</i>																
<i>Bitbynia tentaculata</i>		8	4	4	50	23	45	5		55	55	4	105	7	10	17
<i>Gyraulus albus</i>		17				5				5	35	5				10
<i>Hippeutis complanatus</i>		5				5			5							
<i>Marstoniopsis scholtzi</i>										5	30					
<i>Physa fontinalis</i>						5										
<i>Physella sp.</i>						5										
<i>Planorbis carinatus</i>							5		5	5	20			35	2	
<i>Potamopyrgus antipodarum</i>														5		
<i>Radix auricularia</i>																
<i>Radix balthica</i>									5	20						
<i>Theodoxus fluviatilis</i>	5	29	9	8	4	5	5	10		85				9	20	77
<i>Valvata cristata</i>		54				41	4		5	55	275	4		7		10
<i>Valvata piscinalis</i>	20	135				10		25	15	20	45	20	20	170	9	5
Bivalvia																
<i>Dreissena polymorpha</i>	10	279	17	312	13	10	223	8	40	135			5	123	10	68
<i>Musculium lacustre</i>														60		5
<i>Pisidium casertanum casertanum</i>		35												15	10	
<i>Pisidium henslowanum</i>	5													75	9	
<i>Pisidium hibernicum</i>	5															5
<i>Pisidium littoraleborgii</i>						5										
<i>Pisidium milium</i>														5		
<i>Pisidium nitidum</i>	10		15											325	47	20
<i>Pisidium subtruncatum</i>	5													10	9	5
<i>Sphaerium corneum</i>	5													10	5	10
<i>Unio tumidus</i>														5	40	5
															5	30

Anhang 5: Gesamtartenübersicht des eulitoralen Makrozoobenthos des Kellersees. Abundanzen sind als Individuendichte / m² angegeben.

	Stelle	1			2			3			4			5			6			7			8			
	Ufertyp	Natürlich			Natürlich			Natürlich			Steganganlage			Natürlich			Steinschüttung						Natürliche			
	Habitat	Schliff	Sand	Holz	Stein	Holz	Stein	Holz	Stein	Schliff	Pfahl	Sand	Stein	Schliff	Sand	Stein	Schliff	Sand	Stein	Sand	Stein	Schliff	Sand	Stein	Holz	Wurzel
Oligochaeta																										
Oligochaeta	115	845			4	4	4	4	140	14				380		40	110		230	14		290				25
Hirudinea																										
Alboglossiphonia heterocilta									5																	
Erpobdella nigricollis	10		8	12	8	5	5	5	5	5	5	15	5	20	60	30	30	30	30	7	10	14			5	
Erpobdella octoculata			42	29	5	41	4	5	41	4	5	15	5	20	60	30	30	30	30	9	5	18			5	
Erpobdella testacea																				2						
Glossiphonia complanata	15								9											14	5	9	8			
Glossiphonia concolor					4				5																	
Glossiphonia paludosa																										
Haemopis sanguisuga																										
Helobdella stagnalis								5				5		5	5	5	5	5	5	25	49	10	36			
Piscicolidae	5		4									5														
Crustacea																										
Asellus aquaticus	35	15	8	150	17	29	9	105	177	23					5	85	25	10	81	100	23	8	270			
Gammaurus lacustris			12	143	33																					20
Gammaurus pulex			26																							70
Ephemeroptera																										
Caenis horaria	10		4									5								10	55	5				
Caenis luctuosa															5		5	25	19							
Centropilum luteolum	20	5							5	9					5	10		5	15	5						
Odonata																										5
Coenagrionidae																										
Orthetrum sp.																										
Heteroptera																										
Corixidae	15																									
Coleoptera																										
Halipus sp.	10	4	4									20	9	12	5	5	10	5	5	4		85				
Hygrotus sp.																										
Laccophilus hyalinus																										10
Nebrioporus depressus																										5
Orectochilus villosus																										

Anhang 5: Gesamtartenübersicht des eulitoralen Makrozoobenthos des Kellersees. Abundanzen sind als Individuendichte / m² angegeben.

	Stelle	Ufertyp		Natürlich		Natürlich		Steeganlage		Natürlich		Steinschüttung		8		
	Habitat	Schliff	Sand	Holz	Stein	Holz	Stein	Holz	Pfahl	Sand	Stein	Schliff	Sand	Stein	Sand	Wurzel
Trichoptera																
<i>Agraylea multipunctata</i>																
<i>Atripsodes cinereus</i>	15		21				32								2	30
<i>Halesus sp.</i>															2	5
<i>Hydropsilia sp.</i>																
Lype sp.	5		8					4	5	8						117
<i>Molanna angustata</i>																5
<i>Orthotrichia sp.</i>								8								
<i>Oxyethira sp.</i>								15								
<i>Tinodes waeneri</i>								5	4						2	38
Diptera																
<i>Ceratopogoninae/Palpomyiinae</i>	10	35	4	50	9	8		55	18	4	5	75	25	275	35	8
<i>Cladotanytarsus sp.</i>	12	780						35	23			10		277	480	195
<i>Cricotopus sp.</i>	221		64	217	679	170	1388	739	77	341	25	100	30	25	356	10
<i>Cryptochironomus sp.</i>		5													147	5
<i>Dicrotendipes nervosus</i>			12													121
<i>Endochironomus albipennis</i>	215	15	990	72	35	5		46	5	19		180	30	230	40	10
<i>Eukiefferiella sp.</i>								17	12							
<i>Glyptotendipes pallens</i>	74		606	566	334	15	260	58	9	360		60		65	30	34
<i>Glyptotendipes paripes</i>																
<i>Kiefferulius tendipediformis</i>																9
<i>Microtendipes pedellus</i>																
<i>Nanocadius sp.</i>			12													
<i>Parachironomus arcuatus</i>	6															
<i>Paratanytarsus sp.</i>	80		108	46	220	104	185	23	237	5		20	198	122	5	74
<i>Phaenopsectra sp.</i>																
<i>Polyphemidium nubeculosum</i>																25
<i>Polyphemidium sordens</i>																
<i>Pothastia longimana</i>																
<i>Procladius sp.</i>																
<i>Pseudochironomus prasinatus</i>		349		20				23	113						65	70
<i>Stenochironomus sp.</i>			12													18
<i>Stictochironomus sp.</i>	55															
<i>Tanytarsus sp.</i>								15		5				50	4	70
<i>Tribelos intextus</i>															5	9
<i>Tabaniidae</i>	5	35														

Anhang 6: Gesamtartenübersicht des eulitoralen Makrozoobenthos des Großen Küchensees. Abundanzen sind als Individuendichte / m² angegeben.

	Stelle	1	2	3	4	5	6	7	8
	Ufertyp	Steinschüttung	Steinschüttung	Natürlich	Natürlich	Holz	Schiff	Stein	Stein
	Habitat	Sand	Stein	Holz	Stein	Wurzel	Schiff	Holz	Schiff
Turbellaria									
Dugesia lugubris/polychroa									
Polyclis nigra/tenuis		20							
Gastropoda									
Acroloxus lacustris			15	15					
Anisus vortex			30	5					
Bathyomphalus contortus						4			
Bitynia leachii	10	4	4	35	105	67	40	60	9
Bitynia tentaculata						25	4	5	
Gyraulus albulus							5		
Gyraulus crista								5	
Hippeutis complanatus					4				
Planorbarius corneus				4					
Planorbis carinatus				10					
Potamopyrgus antipodarum	170	5	40	12	40				
Radix auricularia				5					
Stagnicola sp.				5					
Theodoxus fluviatilis	15	62	39	88	45	30	12	10	5
Valvata cristata								14	12
Valvata piscinalis					90	12			15
Bivalvia									
Dreissena polymorpha	15	33	48	179	10	20	8	5	17
Pisidium casertanum casertanum	10				10				162
Pisidium henslowanum	15				45	4	5	35	5
Pisidium hibernicum	5					10	5		10
Pisidium milium					5				8
Pisidium nitidum					210	4	20	45	
Pisidium subtruncatum					40	4	10	5	130
Sphaerium corneum					10	70	5	27	21
Unio tumidus							5		5
Oligochaeta									
Oligochaeta	40	4	45	4	30	55	4		95
Hirudinea									
Alboglossiphonia heteroclitia								5	5
Erpobdella octoculata	4	4			20	33	5	14	4
Erpobdella testacea									4
Glossiphonia complanata							5	9	

Anhang 6: Gesamtartenübersicht des eulitoralen Makrozoobenthos des Großen Küchensees. Abundanzen sind als Individuendichte / m² angegeben.

	Stelle	1	2	3	4	5	6	7	8								
	Ufertyp	Steinschüttung	Steinschüttung	Natürlich	Natürlich	Natürlich	Natürlich	Natürlich	Stegelanlage								
	Habitat	Sand	Stein	Holz	Stein	Wurzel	Schiff	Holz	Stein	Holz	Schiff	Holz	Stein	Holz	Pfahl	Sand	
<i>Helobdella stagnalis</i>	4	4			10	4			23	20			4		70	5	
<i>Pisicolidae</i>				20		4											
<i>Theromyzon tessulatum</i>																	4
Crustacea																	
<i>Asellus aquaticus</i>					5	5	21	85	10	18	12	80	10	8			
<i>Gammarus pulex</i>					4	30			100					150			
<i>Pontogammarus robustoides</i>							25		10					5			
<i>Proasellus coxalis</i>																	
Ephemeroptera																	
<i>Caenis horaria</i>	15	9	8	20	45	4	475	85				80			5	130	
<i>Caenis luctuosa</i>	115		4		5	4	35	65							110		
<i>Centroptilum luteolum</i>	10	21	4	17	65	54	95	130				20			60	25	
<i>Ephemeria vulgata</i>								20									
Plecoptera																	
<i>Nemoura</i> sp.								4	5								
Odonata																	
<i>Coenagrionidae</i>				4				30	5			5			5		
Heteroptera															10		
<i>Conidae</i>																	
Coleoptera																	
<i>Helophorus</i> sp.												5					
<i>Laccophilus hyalinus</i>			4			5											
<i>Oreocochilius villosus</i>						5					5						
<i>Oulimnius tuberculatus</i>					8									30			
Megaloptera																	
<i>Sialis lutaria</i>								20	25								
Trichoptera																	
<i>Anabolia furcata</i>		5						15	135	45		4	10		5		
<i>Atripsodes aterrimus</i>		5						15							5	15	
<i>Atripsodes cinereus</i>	35	12	9												10		
<i>Cyamus trimaculatus</i>	5	4	29		10												
<i>Ecnomus tenellus</i>				4	5								5				
<i>Goera pilosa</i>					8								25				

Anhang 6: Gesamtartenübersicht des eulitoralen Makrozoobenthos des Großen Küchensees. Abundanzen sind als Individuendichte / m² angegeben.

Stelle	Ufertyp	1	2	3	4	5	6	7	8
Habitat	Sand	Stein	Holz	Stein	Wurzel	Schliff	Holz	Natürlich	Natürlich
Halesus sp.				25	5				
Hydroptila sp.					5				
Leptoceridae					5				
Limnephilus sp.					5	10			5
Lype sp.							4		4
Molanna angustata				5	15	45			10
Mystacides azurea	4			4	5				
Mystacides longicornis/nigra	8			10	4	15	17	5	8
Notidobia ciliaris							9		
Orthotrichia sp.							14	8	
Polycentropus flavomaculatus	5	25	30	8	70		36	54	8
Tinodes waeneri	233	161	154	35	21	5	4	4	10
Diptera									
Ceratopogoninae/Palpomyiinae	4	4	15	30	20	10	4	9	30
Ablabesmyia longistyla		4	24	11					25
Chironomus sp.	30	6				5			20
Cladotanytarsus sp.	917			65	8	5	10		185
Conchapelopia melanops				8	11	8	5	9	8
Cricotopus sp.	46	52	17	150	22	16	30	35	9
Cryptochironomus sp.	10					10			
Dicrotendipes nervosus	10	42	249	80	79	24		53	13
Endochironomus albipennis	20	13	31	13	102	194	144	20	225
Glyptotendipes pallens	30	126	246	80	348	702	511	79	60
Glyptotendipes paripes	10			9	32	32	46	10	6
Microtendipes chloris	9								
Microtendipes pedellus						5			
Nanocladius sp.						5	5		
Parachironomus arcuatus	12		71		8	20			
Paratanytarsus sp.	18	12	8		5		13	5	7
Phaenopsectra sp.								41	7
Polypedilum nubeculosum	30			8	11	16	9		5
Polypedilum sordens		6						21	
Procladius sp.	9				43	50	20	11	7
Prodiamesa olivacea							10		
Pseudochironomus prasinatus	18	4	46						41
Stenochironomus sp.		6						5	
Tanytarsus sp.		4		11	8	20			80

Anhang 7: Gesamtartenübersicht des eulitoralen Makrozoobenthos des Lanker Sees. Abundanzen sind als Individuendichte / m² angegeben.

	Stelle	Ufertyp	1	2	3	4	5	6	7	8
	Habitat	Schlif	Naturnah	Naturlich	Naturnah	Naturnah	Naturnah	Naturlich	Naturlich	Naturnah
		Sand	Stein	Sand	Stein	Schlif	Sand	Stein	Schlif	Schlif
Turbellaria										
Dugesia lugubris/polychroa				15		38	14			
Polycelis nigra/tenuis				20		14		5	4	
Gastropoda										
Acroloxus lacustris		5			5	30	10	20	5	20
Anisus vortex						5				
Anisus vorticulus									15	
Bathyomphalus contortus		5		10	20	5	45	45	10	5
Bitynia leachii				15	10	23	45	5	30	30
Bitynia tentaculata		5		20		5	5	5	10	15
Gyraulus albus						10			15	5
Gyraulus crista									5	
Hippeutis complanatus							4			
Marsontiopsis scholtzi					5					
Potamopyrgus antipodarum		190	60	4	930	17	5	2695	100	10
Theodoxus fluviatilis				4	5	38	5	10	183	5
Valvata cristata						25	5	121	23	
Valvata piscinalis		5						70	20	30
Bivalvia										
Dreissena polymorpha		5	80	150	150	40	155	158	77	25
Musculium lacustre								9	5	35
Psidium henstianum		5							5	10
Psidium nitidum						45		40	5	5
Oligochaeta										
Oligochaeta		120	12	10	15	280	65	8	185	940
Hirudinea										
Alboglossiphonia heteroclitia										5
Epibdella nigricollis						5	8		10	5
Epibdella octoculata		8		83		35	40	10	29	25
Epibdella testacea		4				5		4		
Glossiphonia concolor								4		
Glossiphonia paludosa								4	25	13
Heleodella stagnalis		8	5	12	5	60	35	10	25	5
Hemiclepsis marginata								4	4	4

Anhang 7: Gesamtartenübersicht des eulitoralen Makrozoobenthos des Lanker Sees. Abundanzen sind als Individuendichte / m² angegeben.

	Stelle	Ufertyp	1	2	3	4	5	6	7	8
	Habitat	Schliff	Naturnah	Naturlich	Naturnah	Naturnah	Naturnah	Naturlich	Naturlich	Naturnah
		Sand	Stein	Sand	Stein	Schliff	Sand	Stein	Schliff	Schliff
Piscicolidae				5	5			5		
Theromyzon tessulatum	5	8			10		5		4	5
										5
Crustacea										
Asellus aquaticus	8	5		330	85	50	79	9	495	
Gammarus lacustris								10		
Gammarus pulex				2570					22	380
Pontogammarus robustoides	4					70			5	
										10
Ephemeroptera										
Caenis horaria	10	95	4	265	740	8	14	90	55	70
Caenis luctuosa		15			15			5	5	
Caenis robusta							20		10	
Cloeon dipterum							10		15	
										5
Odonata										
Coenagrionidae			15							15
Heteroptera										
Corixidae	430			15	690	110	12	20	9	50
									70	5
Coleoptera										
Agabus sp.							5			
Haliphus sp.							5			
Laccobius sp.	30						5			
Noterus clavicornis							14			
Noterus crassicornis							9			
Orectochilus villosus				55	5					
Oulimnius sp.										
Oulimnius tuberculatus	4	5	45	5	5	5	5	12		
Trichoptera										
Arabolia furcata					5					
Athripsodes cinereus	150		40						5	
Ecnomus tenellus	5	8	18	10						
Hydropsyche angustipennis							5			
Hydropsyche sp.									4	
Limnephilus sp.								35		15
										5

Anhang 7: Gesamtartenübersicht des eulitoralen Makrozoobenthos des Lanker Sees. Abundanzen sind als Individuendichte / m² angegeben.

	Stelle	1	2	3	4	5	6	7	8
	Ufertyp	Naturnah		Natürlich		Naturnah		Natürlich	
	Habitat	Schlif	Sand	Stein	Schlif	Sand	Stein	Schlif	Sand
<i>Mystacides longicornis/nigra</i>	5		5	4	100	5	35	41	35
<i>Oecetis furva</i>									
<i>Oecetis ochracea</i>									
<i>Orthotrichia</i> sp.	5	4		17	164	65		271	345
<i>Tinodes waeneri</i>				10	83	55	30	5	5
Diptera									
<i>Ceratopogoninae/Palpomyiinae</i>	15	17	5	5	30		20	45	
<i>Ablatesmyia longistyla</i>			5						
<i>Chironomus plumosus</i> -Gr.	15			23					26
<i>Chironomus tentans</i>									
<i>Cladotanytarsus</i> sp.	85	624	55		25	125	4	5	954
<i>Conchapelopia melanops</i>	10	17	13	5	23	5			
<i>Corynoneura</i> sp.									5
<i>Cricotopus</i> sp.	75	21			135		302	50	20
<i>Cryptochironomus</i> sp.	40	248	4	40		115		76	
<i>Dicrotendipes nervosus</i>	13	50	46	71	139	20	21	32	357
<i>Endochironomus albipennis</i>	10	8	10	4	46	10	5	50	100
<i>Glyptotendipes pallens</i>	50	42	35	147	1915	1346	5	21	95
<i>Glyptotendipes paripes</i>	15		25	4	162		5		20
<i>Orthocladius</i> sp.							5	25	75
<i>Parachironomus arcuatus</i>			5	4	18	23		5	
<i>Paratanytarsus</i> sp.			8						
<i>Polyphemidium nubeculosum</i>	5	9	8	5					
<i>Polyphemidium sorolens</i>		13			29	35	464		
<i>Procladius</i> sp.		9							
<i>Psectrocladius</i> sp.	5	9	4	5					
<i>Stictochironomus</i> sp.		26							
<i>Tanytarsus</i> sp.			5		46	5	10	10	9
Tabanidae			5			5		10	10

Anhang 8: Gesamtartenübersicht des eulitoralen Makrozoobenthos des Großen Plöner Sees. Abundanzen sind als Individuendichte / m² angegeben.

	Stelle	1	2	3	4	5	6	7	8
	Ufertyp	Natürlich	Steinschüttung	Steganlage	Natürlich	Natürlich	Natürlich	Steinschüttung	Natürlich
	Habitat	Sand	Stein	Holz	Pfahl	Sand	Stein	Holz	Sand
Turbellaria									
<i>Bdellocephala punctata</i>						4			
<i>Dugesia lugubris/polychroa</i>									
<i>Polycelis nigra/tenius</i>	5		4						5
Gastropoda									
<i>Bitinnyia tentaculata</i>	4								
<i>Gyraulus albus</i>									
<i>Potamopyrgus antipodarum</i>	45	8462	4		475	104	1540	355	4
<i>Radix balthica</i>					10	4	5		
<i>Stagnicola</i> sp.									
<i>Theodoxus fluviatilis</i>	60	254	17	179	40	105	222	170	95
<i>Valvata cristata</i>									
<i>Valvata piscinalis</i>									
Bivalvia									
<i>Dreissena polymorpha</i>	130	521	62	146	20	125	100	295	223
<i>Plisidium amnicum</i>									
<i>Plisidium casertanum casertanum</i>					5	35		15	
<i>Plisidium henslowanum</i>	10					10	5	5	4
<i>Plisidium hibernicum</i>					5		4		
<i>Plisidium lilljeborgii</i>						10	5		
<i>Plisidium milium</i>									
<i>Plisidium nitidum</i>	50	21			50	40	32	5	
<i>Plisidium subfrundatum</i>	15					10			
<i>Sphaerium corneum</i>		8				5	5		5
Oligochaeta									
<i>Oligochaëta</i>	220	25			5	1160	9	1250	173
Hirudinea									
<i>Eriopodella nigricollis</i>									
<i>Eriopodella octoculata</i>					4				
Crustacea									
<i>Pontogammarus robustoides</i>	40	67							
<i>Proasellus coxalis</i>									
Ephemeroptera									
<i>Caenis horaria</i>	4								
		10							
			5	9					
				5	17	10	75	8	8
					5	17	10	75	8
						5	17	10	20

Anhang 8: Gesamtartenübersicht des eulitoralen Makrozoobenthos des Großen Plöner Sees. Abundanzen sind als Individuendichte / m² angegeben.

	Stelle	1	2	3	4	5	6	7	8
	Ufertyp	Natürlich	Steinschüttung	Steganganlage	Natürlich	Natürlich	Steinschüttung	Natürlich	Natürlich
	Habitat	Sand	Stein	Holz	Pfahl	Stein	Sand	Stein	Stein
Caenis luctuosa		10	4						
Plecoptera									
Nemoura sp.									
Odonata									
Coenagrionidae									
Heteroptera									
Corixidae	5								
Coleoptera									
Halipus sp.	5								
Oulimnius sp.	5	8	4	4	5	10			4
Oulimnius troglodytes		12							
Oulimnius tuberculatus	5	4	4	5	10				
Lepidoptera									
Lepidoptera									
Trichoptera									
Agraylea multipunctata							4		5
Anabolia furcata								80	
Athripsodes cinereus	10								
Goera pilosa	10								
Haleus sp.									
Hydropsilia sp.									
Lepidostoma hirtum									
Limnephilus sp.	4								
Lype sp.									
Molanna angustata									5
Mystacides azurea	5								
Oecetis ochracea									
Orthotrichia sp.									
Polycentropus flavomaculatus									
Tinodes waeneri	10	62	12	50	5	25	39	32	13
Diptera									
Ceratopogoninae/Palpomyiinae	5								
Ablabesmyia monilis									

Anhang 8: Gesamtartenübersicht des eulitoralen Makrozoobenthos des Großen Plöner Sees. Abundanzen sind als Individuendichte / m² angegeben.

Stelle	1		2		3		4		5		6		7		8		
	Ufertyp		Natürlich		Steinschüttung		Steg anlage		Natürlich		Steinschüttung		Natürlich		Steinschüttung		
Habitat	Sand	Stein	Holz	Stein	Pfahl	Sand	Stein	Holz	Stein	Holz	Sand	Stein	Holz	Sand	Stein	Holz	Wurzel
<i>Brilla bifida</i>				13													
<i>Brilla flavifrons</i>				38		20				4		4		4		55	
<i>Chaetocadius sp.</i>																15	
<i>Cladotanytarsus sp.</i>	140	8					390	9	140	36	460	26	4	231	4	3119	8
<i>Conchapelopia melanops</i>				4	10	10			4								30
<i>Cricotopus sp.</i>	25	50	580	13	85	10	9		18	46	30						1004
<i>Cryptochironomus sp.</i>											7						34
<i>Demicyclochironomus sp.</i>																	4
<i>Dicrotendipes modestus</i>																	21
<i>Dicrotendipes nervosus</i>	5	8		13	5												15
<i>Endochironomus albipennis</i>	5	6		25			5	27	88								
<i>Eukiefferiella sp.</i>				8													
<i>Glyptofendipes pallens</i>																	
<i>Microtendipes pedellus</i>	4					30											
<i>Orthocladius sp.</i>	5	13	8							4							
<i>Parachironomus arcuatus</i>										13							
<i>Paratanytarsus sp.</i>	5	13	19		25	20	17			21							
<i>Phaenopsectra sp.</i>					5												
<i>Polyednum nubeculosum</i>																	33
<i>Polyednum sordens</i>																	
<i>Procladius sp.</i>																	
<i>Psectrocladius sp.</i>					4												
<i>Pseudochironomus prasinatus</i>	15	13															
<i>Stictochironomus sp.</i>																	5
<i>Tanytarsus sp.</i>	10																
<i>Tribolos intextus</i>																	
<i>Virgatanytarsus arduennensis</i>	29										220	22					
<i>Limoniidae</i>					5												11
<i>Tabanidae</i>																	17
																	5

Anhang 9: Gesamtartenübersicht des eulitoralen Makrozoobenthos des Großen Rätzeburger Sees. Abundanzen sind als Individuendichte / m² angegeben.

	Stelle	1	2	3	4	5	6	7	8
	Ufertyp	Natürlich	Steg'anlage						
	Habitat	Schliff	Sand	Holz	Schliff	Sand	Holz	Schliff	Sand
Turbellaria									
Dugesia lugubris/polychroa					4				
Polyclis nigra/tenuis								3	5
Gastropoda								5	5
Acroloxus lacustris		5						10	15
Anisus vortex		5						5	15
Bathyomphalus contortus	10	5				5		10	5
Bithynia tentaculata	5	15	90	10	4	5	33	60	5
Gyraulus albus	10		15					5	10
Gyraulus crista								5	
Hippeditis complanatus		5							
Lymnaea stagnalis		5							
Marioniopsis scholtzi		4							
Physa fontinalis									5
Planorbarius corneus		5							
Planorbis carinatus		10							
Planorbis planorbis							10		
Potamopyrgus antipodarum	5	35	10	35	4	18/15	35	25	15/85
Radix auricularia					10			20	50
Radix baltica					4	4	5		
Stagnicola sp.	5	5							
Theodoxus fluviatilis	5			35	4			10	
Valvata cristata					4				
Valvata piscinalis		55	95				70	30	
Viviparus connectus		5						20	25
Bivalvia									
Ammodonta annatina			5						
Dreissena polymorpha	45	235	30	133	10/80	487	504	90	20
Psidium amnicum	10	15							
Psidium casertanum casertanum	25	5	10		40		19	364	35
Psidium henslowanum	20	40		20	150	4	142	15	5
Psidium hibemicum	5	10			70	4	90		
Psidium milium	5	30							5
Psidium moitessierianum	5	15						13	11
Psidium nitidum	35	5	35	65	25		15	174	20
Psidium oblongale				20					
Psidium personatum									
Psidium subtruncatum	35	25	15	70	5				10
Psidium supinum								84	30
								43	10

Anhang 9: Gesamtartenübersicht des eulitoralen Makrozoobenthos des Großen Rätzeburger Sees. Abundanzen sind als Individuendichte / m² angegeben.

	Stelle	1	2	3	4	5	6	7	8
	Ufertyp	Natürlich	Steganlage						
	Habitat	Schliff	Sand	Holz	Schliff	Sand	Holz	Wurzel	Schliff
<i>Sphaerium corneum</i>									
<i>Unio tumidus</i>			5						
Oligochaeta									
<i>Oligochaeta</i>	65	15	175	10	12	10	20	60	45
Hirudinea									
<i>Eropobdella octoculata</i>								115	30
<i>Eropobdella testacea</i>									55
<i>Piscicolidae</i>	5		5	12					
Crustacea									
<i>Asellus aquaticus</i>									10
<i>Chelicorophium curvispinatum</i>	5		40	38	139	142		20	150
<i>Gammarus pulex</i>								32	50
<i>Pontogammarus robustoides</i>	80	15	386	120	62	30	1354	15	45
Ephemeroptera									5
<i>Caenis horaria</i>	65	100		5	30	167		20	108
<i>Caenis luctuosa</i>	5				15	4	54		240
Plecoptera									35
<i>Nemoura</i> sp.									4
Odonata									255
<i>Coenagrionidae</i>									
Heteroptera									
<i>Corixidae</i>	28		28	23		28	115	13	40
Coleoptera									
<i>Dyops</i> sp.									8
<i>Haliphius</i> sp.			9						
<i>Laccophilus hyalinus</i>									4
<i>Orectochilus villosus</i>	5								
<i>Olimnius</i> sp.									
<i>Olimnius tuberculatus</i>									
Trichoptera									
<i>Anabolia furcata</i>	15								
<i>Athripsodes aterimus</i>									5
<i>Athripsodes cinereus</i>	5	15	5	21	5	74	42	10	20
<i>Goera pilosa</i>									15
									35
									14
									8

Anhang 9: Gesamtartenübersicht des eulitoralen Makrozoobenthos des Großen Rätzeburger Sees. Abundanzen sind als Individuendichte / m² angegeben.

	Stelle	1	2	3	4	5	6	7	8
	Ufertyp	Natürlich	Steganlage						
	Habitat	Schliff	Sand	Holz	Schliff	Sand	Holz	Schliff	Sand
Halesus sp.					8				15
Hydroptila sp.				4				80	
Limnephilus sp.	5	15	8		5			10	5
Lype sp.			17	139	8			27	40
Molanna angustata	10			4		40	20	5	5
Mystacides longicornis/nigra	5		5			20	5		
Tinodes waeneri				78			5	10	127
Diptera									
Ceratopogoninae/Palpomyiinae		5	5			15	5		15
Alabesmyia longistyla	9		7			22	10		10
Brilia bifida					8			14	10
Brilia flavifrons					17			23	
Chironomus plumosus-Gr.		5							
Cladotanytarsus sp.	10	634	351			328	18	95	65
Clinotanytus nervosus			5						323
Conchapelopia melanops	4	10	8	10	70	399	10	7	
Cricotopus sp.	30		85	13	17	50	5	75	
Cryptochironomus sp.	9		72	5		75	6		9
Demicyptochironomus sp.	9			5					
Dictrotendipes nervosus				35	943	16		15	
Dictrotendipes notatus		10		13					
Endochironomus albipennis	35	4	295	42	436	327	100	345	40
Glyptotendipes pallens	4		4	17	8		48	30	319
Glyptotendipes paripes							50	54	45
Kiefferulus tendipediformis				4					
Microtendipes pedellus						6	105	10	10
Nanocladius sp.									29
Parachironomus arcuatus	5								8
Paratanytarsus sp.	15		40	8	17	24	6	5	10
Phaenopsectra sp.			20	7	5	10	18	425	75
Polypedilum rubeculosum	9		10	13		5	18	10	
Polypedilum sordens						5	31		8
Procladius sp.	15	199	45	52			253	30	8
Prodiamesa olivacea	9						15	51	5
Pseudochironomus prasinatus	5								30
Stenochironomus sp.								10	
Stictochironomus sp.								10	
Tanytarsus sp.	10	27		33			67	6	5
Empididae								10	5

Anhang 10: Gesamtartenübersicht des eulitoralen Makrozoobenthos des Schönhäuser Sees. Abundanzen sind als Individuendichte / m² angegeben.

	Stelle	Ufertyp	1	2	3	4	5	6	7	8							
	Habitat	Schliff	Sand	Stein	Sand	Stein	Holz	Wurz	Sand	Natürliche Stein	Natürliche Holz	Natürliche Wurz	Natürliche Sand	Natürliche Stein	Natürliche Holz	Natürliche Wurz	Natürliche Sand
Turbellaria																	
Dendrocoelum lacteum																	
Dugesia lugubris/polychroa	10	17	61	5	5	12	5	5	5	5	5	5	5	15	5	17	15
Planaria torva																	
Polycella nigra/tenuis	5	8	33	13	10	5	64	8	55	4	85	40	82	45	5	30	25
Gastropoda																	
Aciculoxus lacustris		4		5													
Anisus vortex	10			5	5				4	5	20	10			5	4	50
Bathyomphalus contortus																	
Bitthynia leachii	5	4	4	9	9	15	21	15	5	4	100		20		4	4	
Bitthynia tentaculata	15	25	100	13	9	4	20	90	4	80	33	10	5	50	8	35	17
Gyraulus albus									5					5		40	4
Gyraulus crista									8	5	40			5			5
Lymnaea stagnalis			5														
Marstoniopsis scholtzi									5				55	2	5		125
Physa fontinalis			4												8	45	
Pianorbis carinatus	15	10															21
Potamopyrgus antipodarum			20			50		19	10	1044	10065	15	70	19	455	40	6735
Radix auricularia			4		9												15
Radix balthica	30	4															
Stagnicola sp.												5				4	20
Theodoxus fluviatilis	5	158		36	50	5	5	46	12	5	15	8	57	5	25	5	62
Valvata cristata	4	4	10	18	4	25	4	8	5	10	4	415		20	33	5	245
Valvata piscinalis	5											4					4
Bivalvia																	
Dreissena polymorpha	5	35	171	5	8	9	155	86	12	20	129	12	10	25	33	10	30
Musculium lacustre												4					
Pisidium amnicum																	10

Anhang 10: Gesamtartenübersicht des eulitoralen Makrozoobenthos des Schönhäuser Sees. Abundanzen sind als Individuendichte / m² angegeben.

Stelle	Ufertyp	1		2		3		4		5		6		7		8	
		Naturnah	Schliff	Sand	Stein	Sand	Stein	Holz	Wurz	Sand	Stein	Holz	Wurz	Sand	Stein	Holz	Wurz
Pisidium casertanum casertanum				10						5	4						
Pisidium henslowanum				5						15	13						
Pisidium hibernicum				15						5	4						
Pisidium lilljeborgii				20				40		125	71						
Pisidium milium				60					10				30				
Pisidium nitidum				45	170			25		80	92	45		25		50	
Pisidium obtusale													25				
Pisidium pseudosphaerium													245				
Pisidium subtruncatum				5	140			10		15	21		15				
Sphaerium corneum										15	8	20	15	10			
Oligochaeta																	
Oligochaeta		20	155	8	430	29	5	105	15	160	46	12	210	5	45	10	195
Hirudinea																	
Alloglossiphonia heterocita														5			
Alloglossiphonia hyalina													4	4	10	5	5
Empobdella nigricollis													4		5		8
Empobdella octoculata		10	25	8		4				5	5	8		25		15	5
Glossiphonia complanata																	4
Glossiphonia nebulosa/verrucata																	5
Glossiphonia pallidosa																	12
Heleobdella stagnalis																	8
Piscicolidae																	5
Crustacea																	
Asellus aquaticus		430	770	171	20	8	50	45	14	175	17	12	175	85	8	115	7
																	30
																	90
																	4
																	155
																	350
																	70

Anhang 10: Gesamtartenübersicht des eulitoralen Makrozoobenthos des Schöhsees. Abundanzen sind als Individuendichte / m² angegeben.

Anhang 10: Gesamtartenübersicht des eulitoralen Makrozoobenthos des Schönhäuser Sees. Abundanzen sind als Individuendichte / m² angegeben.

Stelle	Urtyp	1		2		3		4		5		6		7		8						
		Naturnah	Schliff	Sand	Stein	Sand	Stein	Holz	Wurz	Natürlich												
Oulimnius tuberculatus																						
Lepidoptera																						
Lepidoptera																						
Trichoptera																						
Agraylea multipunctata		25	5																			
Anabolia furcata																						
Apatania sp.																						5
Athripsodes cinereus		5	5	4	5																	4
Cyamus trimaculatus																						5
Geora pilosa																						
Halesus sp.																						
Hydroptilia sp.																						
Lepidostoma hirtum																						
Leptocerus tineiformis																						
Limnephilus sp.	10	4	25	12	9																	
Lype sp.	5	8																				
Molanna angustata																						
Myrscides aurea																						
Myrscides longicornis/nigra																						
Orthotrichia sp.																						
Oxyethira sp.																						
Polycentropus flavomaculatus																						
Sili nigricornis																						
Tinodes waeneri		112																				
Diptera																						
Ceratopogoninae/ Palpomyiinae	25	8	65																			4
Ababetesmyia longistyla																						25

Anhang 10: Gesamtartenübersicht des eulitoralen Makrozoobenthos des Schößhenses. Abundanzen sind als Individuendichte / m² angegeben.

Anhang 10: Gesamtartenübersicht des eulitoralen Makrozoobenthos des Schönhäuser Sees. Abundanzen sind als Individuendichte / m² angegeben.

Stelle	Ufertyp	1		2		3		4		5		6		7		8													
		Naturnah	Schliff	Natürliche	Sand	Stein	Holz	Wurz	Sand	Stein	Holz	Wurz	Sand	Holz	Wurz	Pfahl	Sand	Stein	Stein	Wurz	Sand	Stein	Holz	Wurz	Stein	Holz	Wurz	Natürlich	
Pseudochironomus prasinatus		35	19						11								10				12							137	5
Stenochironomus sp.										10							4												
Stictochironomus sp.																	10				12								
Tanytarsus sp.		35							239	5	5	35		5			30											5	
Tribelos intextus									22								155												8
Tvetenia sp.																													
Virgatanytarsus ardennensis																													
Zavrelimya sp.																	5		35			5							
Tabanidae		10								5		5										5						10	

Anhang 11: Gesamtartenübersicht des eulitoralen Makrozoobenthos des Stendorfer Sees. Abundanzen sind als Individuendichte / m² angegeben.

	Stelle	1	2	3	4	5	6	7	8
	Ufertyp	Natürlich							
	Habitat	Schiff	Holz	Sand	Schiff	Holz	Schiff	Holz	Schiff
Hydrozoa									
Hydrozoa					5				
Porifera									
Spongillidae	5		5				10	18	
Turbellaria									
Dugesia lugubris/polychroa		5	10		20		5	10	
Polyclavis nigra/tenuis									10
Gastropoda									
Acroloxus lacustris	5	8		5	15	15	5	15	45
Anisus vortex	5		5			5	5	5	4
Bitthynia leachii	5	17	115	10	64	260	815	110	1115
Bitthynia tentaculata	5		55	20	32	10	85	10	200
Gyraulus albus				5			5		
Gyraulus crista							5		
Hippeutis complanatus				35	5	5	5	5	
Lymnaea stagnalis			5						5
Marstoniopsis scholtzi	5							5	5
Physa fontinalis	10		5	5			10		65
Planorbis carinatus	5		10	5					45
Planorbis planorbis	5		10						
Potamopyrgus antipodarum	5		10			10			
Radix auricularia	5		5						
Radix balthica	5		5		15	10		15	
Stagnicola sp.				14					
Theodoxus fluviatilis	5		10			5	15		
Valvata cristata		5			25	45	15	60	
Valvata piscinalis	5		10			5	15		
Bivalvia									
Anodonta anatina	5								
Dreissena polymorpha	55	362	40	20	35	145	120	40	35
Pisidium henslowanum	20		5			10			5
Pisidium milium	5								20
Pisidium nitidum	20					15			
Pisidium obtusale	5						10	5	
Pisidium subiruncatum								25	5
Sphaerium corneum	5		15	5			10	15	40
Unio tumidus				5					60
								5	

Anhang 11: Gesamtartenübersicht des eulitoralen Makrozoobenthos des Stendorfer Sees. Abundanzen sind als Individuendichte / m² angegeben.

	Stelle	1	2	3	4	5	6	7	8
	Ufertyp	Natürlich							
	Habitat	Schiff	Holz	Sand	Schiff	Holz	Schiff	Wurzel	Schiff
Oligochaeta									
Oligochaeta	55	155	90	280	35	55	25	35	15
Hirudinea									
Alboglossiphonia heterocilata			10				5		
Erpobdella nigricollis		5			15	10	20		
Erpobdella octoculata	15	12	20	10	30		25	55	10
Erpobdella testacea					15				
Glossiphonia complanata		5		10	5				
Glossiphonia concolor					15				
Helobdella stagnalis	8	5		15	15	20		10	
Hemiclepsis marginata									5
Piscicolidae		5							
Crustacea									
Asellus aquaticus	50	12	215	64	360	305	70	955	105
Gammarus lacustris		85			5	130	5		
Ephemeroptera									
Caenis horaria	15	40	45	40	15	50	15	30	95
Caenis luctuosa			5						
Caenis robusta				10				25	
Odonata									
Coenagrionidae	10			5	35		15	10	5
Heteroptera									
Corixidae	20	20	395	5	5			5	60
Coleoptera									
Agabus sp.			20						15
Dytiscus sp.							10		
Enochrus sp.							5		
Halipus sp.									5
Hydrophilidae									
Hyphydrus ovatus									
Laccophilus hyalinus								10	
Nebrioporus depressus									5
Noterus clavicornis								5	5
Noterus crassicornis							18	5	

Anhang 11: Gesamtartenübersicht des eulitoralen Makrozoobenthos des Stendorfer Sees. Abundanzen sind als Individuendichte / m² angegeben.

	Stelle	1	2	3	4	5	6	7	8
	Ufertyp	Natürlich							
	Habitat	Schliff	Holz	Schliff	Holz	Schliff	Holz	Schliff	Holz
Orectochilus villosus									
Oulimnius tuberculatus									
Platambus maculatus									
Lepidoptera									
Lepidoptera									
Trichoptera									
Anabolia furcata	10	5		10	10		5	20	5
Athripsodes aterrimus	5	12	5	10	30		10	39	10
Athripsodes cinereus	25		95				5		30
Cymus trimaculatus							5		10
Glyphotaelius pellucidus							5		26
Limnephilus sp.							5		55
Mystacides longicornis/nigra	5	4	5				35		
Tinodes waeneri	35	117	25				15	5	4
							9	5	5
Diptera									
Ceratopogoninae/Palpomyiinae	25			5	25	20	15	5	4
Chaoboridae					5				10
Cladotanytarsus sp.	15	17	2378		5		5		5
Conchapelopia melanops	4	10		25	15		5	15	
Corynoneura sp.	5				10	5	220	5	15
Cricotopus sp.	30	25	60	15			8	5	35
Cryptochironomus sp.	5		205				45	5	15
Dicranodipes modestus							220	9	13
Dicranodipes nervosus	46	5						10	30
Endochironomus albipennis	5			5			5	5	10
Glyptotendipes pallens	20	353	45	5			5	5	5
Microtendipes chloris	5		5		15		5	15	10
Parachironomus arcuatus									5
Parachironomus vittatus									5
Paratanytarsus sp.	5	10							25
Polydilium sordens	5	13	10				35	159	4
Prociadius sp.									10
Psectrocladius sp.	35	4	110		5		10	55	10
Stenochironomus sp.	202	5		5			8	10	10
Stictochironomus sp.									26
Tanytarsus sp.							5		

Anhang 12: Gesamtartenübersicht des eulitoralen Makrozoobenthos des Suhrer Sees. Abundanzen sind als Individuendichte / m² angegeben.

Stelle	1	2	3	4	5	6	7	8				
Ufertyp	Natürlich			Natürlich			Natürlich			Steinschüttung		
Habitat	Schilf	Sand	Holz	Wurzel	Stein	Holz	Stein	Holz	Wurzel	Stein	Holz	Wurzel
Turbellaria												
Bdellocephala punctata						5						
Dendrocoelum lacteum			4									
Dugesia lugubris/polychora									5			
Polyclites nigra/tenuis				15					5			
Gastropoda												
Bittinia leachii												
Bittinia tentaculata		5					10	5	5	5		
Planorbis carinatus							4	1080	55	4	20	20965
Potamopygus antipodarum	15	1000	4	10	9400	84	1165			510	8	3760
Radix auricularia	5											
Radix balthica												
Stagnicola sp.												
Theodoxus fluviatilis	5					4		36	4	10	45	70
Valvata cristata								15	5	5		
Bivalvia												
Dreissena polymorpha	50	180			5	76	75	676	36	35	30	30
Psidium amnicum					5							
Psidium casertanum					5	25						
Psidium henslowanum					45							
Psidium hibernicum												
Psidium liliiflorum	50						95	5	4	76	5	655
Psidium milum							10				271	
Psidium nitidum	32	45					175	5	30			
Psidium subtruncatum	4	5					65					
Sphaerium corneum												
Unio tumidus												
Oligochaeta												
Oligochaeta	10	35										
Hirudinea												
Erpobdella nigricollis												
Erpobdella octoculata		3										

Anhang 12: Gesamtartenübersicht des eulitoralen Makrozoobenthos des Suhrer Sees. Abundanzen sind als Individuendichte / m² angegeben.

Stelle	1	2	3	4	5	6	7	8							
Ufertyp	Natürlich			Natürlich			Natürlich			Steinschüttung			Natürlich		
Habitat	Schilf	Sand	Holz	Stein	Holz	Wurzel	Stein	Holz	Stein	Holz	Wurzel	Stein	Sand	Holz	Wurzel
<i>Glossiphonia complanata</i>				12											
<i>Glossiphonia concolor</i>															4
<i>Helobdella stagnalis</i>		4				4									
Piscicolidae		4		10											5
Crustacea															
<i>Aeselius aquaticus</i>	45	30	65	16	9	340	10	15	85	60	10	130	20	4	15
<i>Gammarus pulex</i>	40	4	30	8	30	44			65	160			4	55	50
Ephemeroptera															
<i>Caenis horaria</i>	5			5	4		4	10	10			110		25	9
<i>Caenis luctuosa</i>	20											170		4	25
<i>Centropilum luteolum</i>	5	15	5	15		9						10		5	22
<i>Cloeon dipterum</i>	10		5												10
<i>Cloeon simile</i>	25	10	4	5	12		10	4				15	5	5	9
<i>Ephemeria vulgata</i>				5					55			5	5		
<i>Leptophlebia marginata</i>		5		4			100	8	8	20	20	190	5	136	5
<i>Leptophlebia vespertina</i>	40	8	110			35									20
Plecoptera															
<i>Nemoura</i> sp.													12		
Odonata															
<i>Coenagrionidae</i>	5		8											5	
Heteroptera															
<i>Corixidae</i>		5	10		5									5	
Coleoptera															
<i>Halipus</i> sp.	5	8	15		17	60	36		5	40		10	25	16	10
<i>Hydroglyphus</i> sp.		4													10
<i>Hygrota</i> sp.															
<i>Nebrioporus depressus</i>												5			
<i>Oretochilus villosus</i>	5	4			4		8	4	4			5		4	5
<i>Oulimnius</i> sp.							15			20					
<i>Oulimnius tuberculatus</i>										20	4		10		
<i>Platambus maculatus</i>											5				

Anhang 12: Gesamtartenübersicht des eulitoralen Makrozoobenthos des Suhrer Sees. Abundanzen sind als Individuendichte / m² angegeben.

Stelle	1	2	3	4	5	6	7	8								
Ufertyp	Natürlich				Natürlich				Natürlich				Steinschüttung			
Habitat	Schliff	Sand	Holz	Wurzel	Stein	Holz	Stein	Holz	Stein	Holz	Stein	Holz	Stein	Holz	Wurzel	
Trichoptera																
<i>Agraylea multipunctata</i>																
<i>Anabolia furcata</i>	10								10							5
<i>Atripsodes cinereus</i>									5							
<i>Ecnomus tenellus</i>																
<i>Glyphotaelius pellucidus</i>																
<i>Goera pilosa</i>																
<i>Halesus sp.</i>	10															
<i>Hydroptila sp.</i>																
<i>Lepidostoma hirtum</i>									8	4						
<i>Limnephilus sp.</i>									15							
<i>Lype sp.</i>										40						
<i>Volanna angustata</i>	5															
<i>Mystacides azurea</i>	5															
<i>Mystacides longicornis/nigra</i>	5															
<i>Oecetis testacea</i>																
<i>Oxyethira sp.</i>																
<i>Polycentropus flavomaculatus</i>																
<i>Tinodes waeneri</i>	8									16	8					
Diptera																
<i>Ceratopogoninae/Palpomyiinae</i>																
<i>Chaoboridae</i>																
<i>Ablabesmyia longistyla</i>																
<i>Ablabesmyia monilis</i>	6	25														
<i>Brilla flavifrons</i>																
<i>Cladotanytarsus sp.</i>	25	30														
<i>Conchapelopia melanops</i>	25															
<i>Cricotopus sp.</i>	50	10	60	5	12	108	90	76	140	5	100		20		30	16
<i>Cryptochironomus sp.</i>																
<i>Demicyclopteronotus sp.</i>	5															
<i>Dicrotendipes modestus</i>	5															
<i>Dicrotendipes nervosus</i>																
<i>Endochironomus albipennis</i>	419	10	719		115	40	706	40	72	100	21	40	92	10	55	190
																505
																10
																60
																96
																30
																80
																55
																125
																15

Anhang 12: Gesamtartenübersicht des eulitoralen Makrozoobenthos des Suhrer Sees. Abundanzen sind als Individuendichte / m² angegeben.

Stelle	Ufertyp	1				2				3				4				5				6				7				
		Habitat	Schlif	Sand	Holz	Wurzel	Stein	Holz	Stein	Holz	Stein	Holz	Wurzel	Sand	Stein	Holz	Wurzel													
Epoicocadius flavens																														
Eukiefferiella sp.																														
Glyptotendipes pallens																														
Glyptotendipes paripes																														
Nanocadius sp.																														
Paracladopelma sp.																														
Paratanytarsus sp.	38	43																												
Phaenopsectra sp.																														
Polypedilum scalaenum																														
Pothisastia longimana																														
Procladius sp.																														
Psectrocladius sp.	75	10	77	15	5	40	127	250	108	80																				
Pseudochironomus prasinatus	20																													
Stictochironomus sp.																														
Tanytarsus sp.																														
Virgatanytarsus arduennensis																														
Limoniidae																														
Tabanidae																														

Anhang 13: Gesamtartenübersicht des eulitoralen Makrozoobenthos des Belauer Sees. Abundanzen sind als Individuendichte / m² angegeben.

	Stelle	1	2	3	4	Natürlich	5	Natürlich	6	7	8
	Ufertyp	Natürlich	Natürlich	Natürlich	Natürlich	Holz	Schliff	Schliff	Stein	Stein	Natürlich
	Habitat	Schliff	Schliff	Sand	Stein	Holz	Schliff	Schliff	Sand	Holz	Schliff
Turbellaria											
Dendrocoelum lacteum				5							
Dugesia lugubris/polychroa	5		4	8				4		5	5
Dugesia tigrina											4
Polyclis nigra/tenuis				5			4		10	4	8
Gastropoda											
Acroloxus lacustris	30	5	5	5					10		45
Ancylus fluviatilis				8							4
Anisus vortex										12	
Bathyomphalus contortus	65	5		25	4			5			
Bithynia leachii	295	10	8	4	170	17		5	48	20	
Bithynia tentaculata	975	115	10	58	20	125	26	8	50	10	36
Gyraulus albus						10	30	8	4	15	5
Gyraulus crista	10	5	4	5	4			45		5	135
Hippeutis complanatus	15	5		4				10	4	5	16
Lymnaea stagnalis										24	10
Marioniopsis scholtzi	5							5			
Physa fontinalis					10			5			
Planorbis carinatus	25	5		25	9		4	70	10	40	17
Potamopyrgus antipodarum	65	70	133	412	115	115	4	115	760	5	16
Radix auricularia	10		5							620	4
Radix balthica											92
Theodoxus fluviatilis	5		38	12			5	100	17	5	136
Valvata cristata	40			4	9			10	16	5	154
Valvata piscinalis	35	15	4	5	230	17	10	60		85	50
										12	20
Bivalvia											
Anodonta anatina					5					5	
Dreissena polymorpha		38	64	5	4	65	138	54	5	65	64
Pisidium casertanum casertanum			5						8	10	16
Pisidium henslowianum	65	20		8	25			121	8	15	83
										8	20

Anhang 13: Gesamtartenübersicht des eulitoralen Makrozoobenthos des Belauer Sees. Abundanzen sind als Individuendichte / m² angegeben.

	Stelle	1	2	3	4	Natürlich	5	Natürlich	6	7	8
	Ufertyp	Natürlich	Natürlich	Natürlich	Natürlich	Holz	Schliff	Schliff	Schliff	Schliff	Natürlich
	Habitat	Schliff	Schliff	Schliff	Schliff	Sand	Stein	Stein	Stein	Stein	Natürlich
Pisidium hibernicum				135	25		254	20			
Pisidium milium				263			73	8			
Pisidium nitidum	60	55	315	4	100	38	218	524	12	70	10
Pisidium subtruncatum		5			15	4					
Sphaerium corneum	45	25								4	
Unio tumidus tumidus				5							
Oligochaeta											
Lumbriculidae								68	45		5
Naididae/Tubificidae	5	306	135	58	28	97	100	38	205	355	55
Oligochaeta									120	200	12
Stylaria lacustris	30	3264	70	154	12	4246	457		1300	68	20
Styloclitellus herringianus								180		13	5
Hirudinea											
Alboglossiphonia heteroclitia	5			4		8		5			8
Alboglossiphonia hyalina											4
Erpobdella nigricollis	15	4				8	10	4			13
Erpobdella octoculata	25	20	4	52	15	5	8	15	20	15	16
Glossiphonia complanata	5					5	8			5	4
Glossiphonia concolor							4	4			4
Helobdella stagnalis	5		8			35	21	8	8	5	30
Piscicolidae Gen. sp.		5								20	
Theromyzon tessulatum			4	4					16		
Crustacea											
Aseilius aquaticus	130	160	5	13	12	135	35	5	8	17	145
Gammaurus pulex	10		4		5	4				5	
Proasellus coxalis	10					4				15	
Ephemeroptera											
Caenis horaria	10	15	4	40	4	75			60	60	4
									105	10	80
									8	4	4
									523	24	40

Anhang 13: Gesamtartenübersicht des eulitoralen Makrozoobenthos des Belauer Sees. Abundanzen sind als Individuendichte / m² angegeben.

	Stelle	1	2	3	4	5	6	7	8
	Ufertyp	Natürlich							
	Habitat	Schliff							
<i>Caenis luctuosa</i>		5	5	5	190	29	10	100	10
<i>Centropitum luteolum</i>		20	5	4	25	15	45	5	125
<i>Cloeon dipteron</i>		10			40	4	25		10
<i>Ephemer a vulgata</i>					15	4			
Odonata									
<i>Coenagrionidae</i>	15	10		20	4		10		5
Heteroptera									
<i>Corixidae</i>		135			35	5		30	
Coleoptera									
<i>Halipus flavicollis</i>					4				
<i>Halipus sp.</i>					4				
<i>Hyphydrus ovatus</i>		5							
<i>Orectochilus villosus</i>		20	5	28		4	13		15
<i>Oulimnius troglodytes</i>									8
<i>Oulimnius tuberculatus</i>		5	5	8	20		17		10
Megaloptera									
<i>Sialis lutaria</i>		5		20		5			5
Trichoptera									
<i>Anabolia furcata</i>		10	5	4	155	117	5		35
<i>Athripsodes aterrimus</i>		5	8	4	20	4	10	60	10
<i>Athripsodes cinereus</i>		25	10			25	29	4	
<i>Cyamus trimaculatus</i>									35
<i>Goera pilosa</i>		8	4		26			10	30
<i>Halesus radiatus</i>		5							4
<i>Holocentropus sp.</i>		10							45
<i>Limnephilus sp.</i>									20
<i>Lype phaeopa</i>									5

Anhang 13: Gesamtartenübersicht des eulitoralen Makrozoobenthos des Belauer Sees. Abundanzen sind als Individuendichte / m² angegeben.

	Stelle	1	2	3	4	Natürlich	5	Natürlich	6	Natürlich	7	8
Ufertyp	Natürlich	Schilf	Sand	Stein	Holz	Schliff	Sand	Stein	Holz	Schliff	Sand	Stein
Habitat	Schilf	Schilf	Schilf	Schilf	Holz	Schliff	Schliff	Schliff	Schliff	Wurzel	Pfahl	Schliff
<i>Molanna angustata</i>		15	10		15			10	5			15
<i>Myctacides azurea</i>		5						5		5		5
<i>Myctacides longicornis/nigra</i>	5	10	5	4	25	61	6	4	10	10	5	12
<i>Orthotrichia</i> sp.											8	10
<i>Polycentropus flavomaculatus</i>											8	4
<i>Tinodes waeneri</i> ssp.	8	5		65	622	158	10	10	8	15	196	308
 Diptera											64	252
<i>Ceratopogoninae/Palpomyiinae</i>	5	100	20	4	8	15	4	20	8	35	16	30
<i>Ablabesmyia longistyla</i>				21	4				66	10		16
<i>Ablabesmyia monilis</i>										5		144
<i>Chironomus</i> sp.											5	
<i>Chironomus tentans</i>							56					10
<i>Cladotanytarsus</i> sp.	5	40			730	46	140	4592	101	25	60	130
<i>Conchapelopia melanops</i>	5	224		26	84	4	4	393	20	10	75	8
<i>Cricotopus</i> sp.	480	5	4	589	125	22	4	330	421	66	111	15
<i>Cryptochironomus</i> sp.		5				65	4		131	10		45
<i>Demicryptochironomus</i> sp.						11					5	
<i>Dicrotendipes modestus</i>						4						
<i>Dicrotendipes nervosus</i>		5	26									
<i>Dicrotendipes notatus</i>									10			
<i>Endochironomus albipennis</i>	5	448	5	4	51	140	17	22	92	390	1094	40
<i>Glyptotendipes pallens</i>	5	448	20	46	1049	126	282	45	675	364	167	514
<i>Glyptotendipes paripes</i>							54	13	751			
<i>Microtendipes chloris</i>									66			63
<i>Microtendipes pedellus</i>											9	
<i>Nanocladius</i> sp.								30	112	5		92
<i>Parachironomus arcuatus</i>	5	288	13	26	4		15	28			335	9
<i>Parataxonytarsus</i> sp.		32				210	15			5	241	12
<i>Phaenopsectra</i> sp.										30		61
<i>Polypedilum albicorne</i>											13	10
<i>Polypedilum nubeculosum</i>											66	18

Anhang 13: Gesamtartenübersicht des eulitoralen Makrozoobenthos des Belauer Sees. Abundanzen sind als Individuendichte / m² angegeben.

	Stelle	1	2	3	4	5	6	7	8
Ufertyp	Natürliche Schilf	Natürliche Sand	Natürliche Stein	Natürliche Holz	Natürliche Schilf	Natürliche Sand	Natürliche Holz	Natürliche Stein	Natürliche Holz
Habitat	Schilf	Sand	Stein	Holz	Schilf	Holz	Schilf	Sand	Holz
Polypedilum sordens	1408	15	8	1050	56	96	30	393	192
Pothastia longimana					11				20
Procladius sp.	40			126	4	204	13	224	328
Psectrocladius sp.				26	7	97	17		
Pseudochironomus prasinatus						29		787	
Stenochironomus sp.	32		51				28		
Stictochironomus sp.		170				22		66	
Tanytarsus sp.					17	172	71	28	459
Empididae								20	5
Tipula sp.					5				

Anhang 14: Gesamtartenübersicht des eulitoralen Makrozoobenthos des Bornhöveder Sees. Abundanzen sind als Individuendichte / m² angegeben.

	Stelle	1	2	3	4	5	6	7	8
	Ufertyp	Natürlich	Natürlich	Badestelle		Natürlich		Natürlich	
	Habitat	Schiff	Holz	Schiff	Holz	Pfahl	Sand	Stein	Holz
Turbellaria									
Dendrocoelum lacteum	4						5		
Dugesia lugubris/polychora	4	10				8	8	25	
Polycelis nigra/renuis			4			24	150		10
Gastropoda									
Acroloxus lacustris		20	10				20		
Bitynnia leachii	15	8	20			13	50	10	
Bitynnia tentaculata	10	29	25	130	8	5	56	40	
Gyraulus albus	10						5	10	
Gyraulus crista						10			
Hippeutis complanatus							15	5	
Planorbarius corneus									10
Planorbis carinatus							5		
Potamopygus antipodarum	140		30	45			20	40	
Radix auricularia							5		
Radix batithica								5	18
Theodoxus fluviatilis		5			5	75	28		67
Valvata cristata	5						30		55
Valvata piscinalis	15	8						10	
Bivalvia									
Musculium lacustre		10							
Pisidium casertanum casertanum			5	110			5		135
Pisidium henslowanum				150		20	20		20
Pisidium hibernicum	5			490	4	40	25		25
Pisidium milium						5			
Pisidium nitidum	10	4	40		240	8	100	90	135
Pisidium subtruncatum	10		5		60		15	125	80
Sphaerium corneum	5		10				20	5	5
Unio tumidus tumidus								5	5
Oligochaeta									
Lumbriculidae	65								
Naididae/Tubificidae	870	83	1010	8	100	430	24	15	255
Stylaria lacustris	33	80	410			846	496	120	14
Hirudinea									
Erpobdella nigricollis	13		5	4			45	20	10
Erpobdella octoculata	35	75	10			10	13	8	40
Glossiphonia complanata							30		

Anhang 14: Gesamtartenübersicht des eulitoralen Makrozoobenthos des Bornhöveder Sees. Abundanzen sind als Individuendichte / m² angegeben.

	Stelle	1	2	3	4	5	6	7	8
	Ufertyp	Natürlich	Natürlich	Badestelle		Natürlich		Natürlich	
	Habitat	Schiff Holz	Schiff Holz	Pfahl Sand	Stein	Holz Wurzel	Schiff	Stein Holz	Sand Holz Wurzel Schif Sand Holz Wurzel
Heleobdella stagnalis	5	17	20	5	10	25	4	10	5 10 15 10 8
Pisicolidae				5	4	4	5		35
Theromyzon tessulatum	5	13		8	5			5	65
Crustacea									
<i>Asellus aquaticus</i>	85	100	430	410	76	5	10	75	92 68 795 290 15 9 9 15 280 24
<i>Gammarus pulex</i>		13							24 515
<i>Proasellus coxalis</i>			5				65		795
Ephemeroptera									
<i>Caenis horaria</i>	10	4	5	35	15	70	50	60	100 25 10 45
<i>Caenis luctuosa</i>					5	360	58	4	25 10 535 85 5 10
<i>Centropilum luteolum</i>		5			5	20	4		5 5 165 5 5
<i>Cloeon dipterum</i>	15	4	5	15				5	5
Heteroptera									
<i>Corixidae</i>	600	5	10	14	1205	15	10	400	75 415 760 1200 35
Plecoptera									
<i>Nemoura</i> sp.			5	8					
Odonata							20		
<i>Coenagrionidae</i>									10
Coleoptera									
<i>Elydes minuta</i> Gr.			5						5
<i>Helophorus</i> sp.									5
<i>Nebriporus depressus/elegans</i>									5
<i>Noterus clavicornis</i>	5								
<i>Noterus crassicornis</i>		4							
<i>Orectochilus villosus</i>									
<i>Oulimnius tuberculatus</i>									
<i>Platambus maculatus</i>									
Trichoptera									
<i>Anabolia furcata</i>	5						25		20 70
<i>Anabolia nervosa</i>									15
<i>Athripsodes aterimus</i>	10		30				20	24	45 5 5 5
<i>Athripsodes cinereus</i>			5				5	25	4 5 120
<i>Cynus trimaculatus</i>	4	5					13	20	20 60
<i>Ecnomus tenellus</i>							5	4	10

Anhang 14: Gesamtartenübersicht des eulitoralen Makrozoobenthos des Bornhöveder Sees. Abundanzen sind als Individuendichte / m² angegeben.

	Stelle	1	2	3	4	5	6	7	8
Ufertyp	Natürlich	Natürlich	Badestelle	Natürlich	Natürlich	Natürlich	Natürlich	Natürlich	Natürlich
Habitat	Schiff	Holz	Schiff	Holz	Pfahl	Sand	Stein	Holz	Wurzel
Goera pilosa								21	5
Halesus radiatus									
Holocentrotus sp.	20	13	5			4	25		
Limnephilus sp.	5	4	15	8					
Lype phaeopa				48	10				
Molanna angustata					5	15			
Mystacides longicornis/nigra						64	5		
Orthotrichia sp.						8	8		
Tinodes waeneri						54	4		
Diptera									
Ceratopogoninae/Palpomyiinae	5	13	10	5	5	30	15	40	15
Ablabesmyia longistyla	18	4	7		45	9		8	18
Chaetocladius sp.				12					
Chironomus plumosus-Gr.					34				
Chironomus sp.					33	17			
Chironomus tentans	36		28						
Chironomus thummi-Gr.	18		28						
Cladotanytarsus sp.	13	7			792	153	38	165	1536
Conchapelopia melanops	6	14	130	88		17			
Corynoneura sp.									
Cricotopus sp.	78	25	98	200	191	66	5	122	155
Cryptochironomus sp.	8	7			132	26		224	16
Dicrotendipes nervosus	24	7	12	13			81	15	5
Dicrotendipes notatus				20					
Endochironomus albipennis	85	17	140	180	16	51	33	17	11
Glyptotendipes pallens	70	110	164	288	72	388	83	119	411
Glyptotendipes paripes	20	7	95				171	12	
Microtendipes pedellus								63	160
Nanocladius sp.	4			12				16	
Orthocladius sp.					72				
Parachironomus arcuatus	4	119	36	6	33		16	30	5
Paracladopelma sp.									
Paratanytarsus sp.	30	13		36	4				
Phaenopsectra sp.	4					50			
Polypedilium nubeculosum						9	22	380	75
Polypedilum sordens	78	21	105	432	24	25		48	48
Prociadius sp.	215		49			710	357	5	5
Stenochironomus sp.	6								
Stictochironomus sp.						33			
Tanytarsus sp.					12		27	30	30

Anhang 15: Gesamtartenübersicht des eulitoralen Makrozoobenthos des Großensees. Abundanzen sind als Individuendichte / m² angegeben.

Stelle	1	2	3	4	5	6	7	8
Ufertyp	Natürlich							
Habitat	Schilf	Sand	Stein	Holz	Wurzel	Mauer	Sand	Holz
Turbellaria								
Dendrocoelum lacteum	5	5	25					
Dugesia lugubris/polychoea			5					
Planaria torva			5		5			
Polyclitellus nigra/tenuis	5	5				5		
							9	
Gastropoda								
Acroloxus lacustris	25			10			4	
Bathyomphalus contortus								
Bitynnia leachii	4	60	5	4	26	45	5	4
Bitynnia tentaculata	5	32	100		22	50	5	10
Gyraulus albus	15	5		20		20	5	
Gyraulus crista	10		20	4	4	5	5	
Hippeutis complanatus	5	5	4		5			
Marsontiopsis scholizi	5	8	375	15	8	9	35	
Physa fontinalis			25	5	4	10		
Potamopyrgus antipodarum	5	70	29	12			40	
Radix auricularia					4		5	
Stagnicola sp.					4			
Valvata cristata	10		70		4			
Valvata piscinalis						5	10	4
						5	5	
Bivalvia								
Dreissena polymorpha		16	20		13	40	105	117
Pisidium casertanum	5						40	
Pisidium henslowianum			15				5	5
Pisidium hibernicum	5	5		75	4		9	
Pisidium milium	5	5		10			20	
Pisidium nitidum	15	60	4	10	100	4	5	
Pisidium subtruncatum	35				4		25	50
Sphaerium corneum		190		9	55		4	20
Oligochaeta								
Lumbriculidae								10
Naicidae/Tubificidae	35		15				45	30
Stylaria lacustris	110	29	24	110	60	8	22	655
					15	70	10	40
						9	13	
							12	20
							5	25

Anhang 15: Gesamtartenübersicht des eulitoralen Makrozoobenthos des Großensees. Abundanzen sind als Individuendichte / m² angegeben.

	Stelle	1	2	3	4	5	6	7	8
	Ufertyp	Natürlich	Natürlich	Badestelle	Steganganlage	Natürlich	Natürlich	Stein	Stein
	Habitat	Schilf	Sand	Stein	Holz	Wurzel	Mauer	Pfahl	Sand
Hirudinea									
Alboglossiphonia heteroclitia	5			10					
Alboglossiphonia hyalina	5								
Erpobdella octoculata				15	4				
Glossiphonia complanata				15					
Heleobdella stagnalis	5			20					
Piscicolidae				5					
Crustacea									
Aeselius aquaticus	100	20	17	24	85	75	4	45	
Gammarus lacustris		20							
Gammarus pulex	5	13	8	710	40	252	65	215	
Ephemeroptera									
Caenis horaria	15	10	20	20	35	95	30	30	
Caenis luctuosa				70	9	5	5	315	
Centroptilum luteolum		4	10	10	13	75		5	
Cloeon dipterum			5	5					
Cloeon simile			5		10				
Leptophlebia marginata					4				
Leptophlebia vespertina						5			
Odonata									
Coenagrionidae	10		30	5		35			
Libellulidae									
Platycnemis pennipes			4	4	10				
Heteroptera									
Corixidae	10		5				10		
Notonecta sp.							5		
Coleoptera									
Dryops sp.									4
Halophilus sp.									4
Orectochilus villosus									4
Oulimnius tuberculatus	4	4	50	5	8		10	17	13
Platambus maculatus				5			5		20

Anhang 15: Gesamtartenübersicht des eulitoralen Makrozoobenthos des Großensees. Abundanzen sind als Individuendichte / m² angegeben.

Stelle	1	2	3	4	5	6	7	8
Ufertyp	Natürlich	Natürlich	Badestelle	Stein	Sand	Natürlich	Stein	Natürlich
Habitat	Schliff	Sand	Stein	Holz	Wurzel	Mauer	Pfahl	Schiff
Megaloptera								
<i>Sialis lutaria</i>	10							
Trichoptera								
<i>Agraylea multipunctata</i>								
<i>Anabolia furcata</i>	15	5	15					
<i>Anabolia nervosa</i>								
<i>Athripsodes aterrimus</i>		30						
<i>Athripsodes cinereus</i>	5		15	4				
<i>Ceraclea fulva</i>				4	5			
<i>Cyamus trimaculatus</i>						10		
<i>Ecnomus tenellus</i>						5		
<i>Goera pilosa</i>							9	
<i>Halesus radiatus</i>								15
<i>Hydroptila</i> sp.				9	10			
<i>Lepidostoma hirtum</i>		5		10			10	
<i>Limnephilus</i> sp.	5					5		
<i>Lype phaeopa</i>			35			10	16	
<i>Molanna angustata</i>	5				10	5	45	
<i>Mystacides azurea</i>						20		
<i>Mystacides longicornis/nigra</i>				5	10	5		
<i>Oecetis ochracea</i>					8			
<i>Oecetis testacea</i>								
<i>Polycentropus triradius</i>						5		
<i>Tinodes waeneri</i> ssp.								
<i>Triaenodes</i> sp.	5					5		
Diptera								
<i>Ceratopogoninae/Palpomyiinae</i>								
<i>Abia besmyia longistyla</i>								
<i>Cladotanytarsus</i> sp.	5	12						
<i>Clintanypus nervosus</i>								
<i>Conchapelopia melanops</i>								
<i>Corynoneura</i> sp.								
<i>Cricotopus</i> sp.	12							
<i>Cryptochironomus</i> sp.								

Anhang 15: Gesamtartenübersicht des eulitoralen Makrozoobenthos des Großensees; Abundanzen sind als Individuendichte / m² angegeben.

Stelle	Urtyp	1		2		3		4		5		6		7		8		
		Natürlich	Habitat	Sand	Stein	Holz	Wurzel	Mauer	Sand	Pfahl	Sand	Stein	Wurzel	Sand	Stein	Holz	Natürlich	Badestelle
Demicryphochironomus sp.		5																
Dicrotendipes modestus																		
Dicrotendipes nervosus		4							45	5	9			10	4	4		4
Endochironomus albipennis								10	15		4	75	4					
Microtendipes chloris								4	10		4		20					
Nanocladius sp.		10						5	5	5							10	
Parachironomus arcuatus									25	40			4				5	
Parachironomus vittatus													10					
Phaenopsectra sp.											10							
Polypedilum nubeculosum											20	5						
Polypedilum sordens		8							5								4	5
Procladius sp.		60		4	20	30			50	10	9	40	30	10	105	17		5
Psectrocladius sp.									5	5								
Pseudochironomus prasinatus											5							
Stenochironomus sp.		5			5						10						4	
Stictochironomus sp.																	20	
Tanytarsus sp.		4										130					5	
Tribelos intextus												15					45	
Xenochironomus xenolabis														30			4	

Anhang 16: Gesamtartenübersicht des eulitoralen Makrozoobenthos des Schmalensees. Abundanzen sind als Individuenichte / m² angegeben.

	Stelle	1	2	3	4	5	6	7	8
	Ufertyp	Natürlich							
	Habitat	Schiff	Sand	Holz	Schiff	Sand	Stein	Holz	Schiff
Turbellaria									
<i>Bdellocephala punctata</i>					4				
<i>Dendrocoelum lacteum</i>			5		5				
<i>Dugesia lugubris/polychroa</i>		10	8	9		13			5
<i>Polycladius nigra/tenuis</i>		5	4	4		10			27
Gastropoda									
<i>Acroloxus lacustris</i>	5	10			20			45	
<i>Anisus vortex</i>	5	5				5			
<i>Bathyomphalus contortus</i>		8	30						
<i>Bithynia leachii</i>	210	40	96	1485	20	545	10	112	61
<i>Bithynia tentaculata</i>	2070	535	1154	2395	5455	1470	435	84	404
<i>Graulis albus</i>		5			25		5		
<i>Graulis crista</i>		5				10			
<i>Hippeditis complanatus</i>	60	5	8	10	5	150			
<i>Lymnaea stagnalis</i>							5		4
<i>Marsktionopsis scholtzi</i>	5					35			10
<i>Physa fontinalis</i>					35		15		10
<i>Planorbarius cornutus</i>						5			4
<i>Planorbis carinatus</i>									4
<i>Potamopyrgus antipodarum</i>	335		45		2600	28			573
<i>Radix auricularia</i>			5		5		5		9
<i>Radix balthica</i>							5	18	3
<i>Theodoxus fluviatilis</i>	5	4		10	68	22	63	5	225
<i>Valvata cristata</i>	10	13	250	10	4				27
<i>Valvata piscinalis</i>	15	130		430	20			5	10
Bivalvia								40	
<i>Dreissena polymorpha</i>									40
<i>Pisidium casertanum casertanum</i>	10		15		5				20
<i>Pisidium hemislowanum</i>								35	
<i>Pisidium nitidum</i>	10	185	5	140	25	110		8	75
<i>Pisidium subtruncatum</i>	10		5		5				315
<i>Sphaerium corneum</i>					5				30
<i>Unio tumidus tumidus</i>							5		5
Oligochaeta									
<i>Lumbricidae</i>									
<i>Naididae/Tubificidae</i>	45	40	8	5	155	930	34	80	104
<i>Stylaria lacustris</i>	5	25	21	85	140	102	575	104	1060

Anhang 16: Gesamtartenübersicht des eulitoralen Makrozoobenthos des Schmalensees. Abundanzen sind als Individuenichte / m² angegeben.

	Stelle	1	2	3	4	5	6	7	8
	Ufertyp	Natürlich							
	Habitat	Schiff	Sand	Holz	Schiff	Sand	Stein	Holz	Schiff
Hirudinea									
<i>Alboglossiphonia heteroclitia</i>					5	5			
<i>Epobdella nigricollis</i>		4	10		4	4	10	4	
<i>Epobdella octoculata</i>	5	10	4	50	20	96	17	5	158
<i>Glossiphonia complanata</i>					10		5	13	35
<i>Glossiphonia concolor</i>					5				27
<i>Helobdella stagnalis</i>									8
Piscicolidae									
Theromyzon tessulatum									5
Crustacea									
<i>Asellus aquaticus</i>	150	79	500	25	780	10	80	4	115
<i>Gammaurus pulex</i>					25	4	4	30	33
Ephemeroptera									
<i>Caenis noraria</i>	15	110	5	5	35	190	8	35	4
<i>Caenis luctuosa</i>		10							5
<i>Centrotilum luteolum</i>									20
<i>Cloeon dipterum</i>	15				5				32
Odonata									
<i>Coenagrionidae</i>					20				10
Heteroptera									
<i>Corixidae</i>	235	5	30	2115	4	4	30	245	13
Coleoptera									157
<i>Elodes minuta</i> -Gr.									5
<i>Hyphydrus ovatus</i>									10
<i>Laccophilus hyalinus</i>									35
<i>Orectochilus villosus</i>					10				
<i>Oulimnius troglodytes</i>									17
<i>Oulimnius tuberculatus</i>						48	4	20	14
Megaloptera									
<i>Sialis lutaria</i>									5
Trichoptera									
<i>Anabolia furcata</i>					25	10	70	8	45
<i>Anabolia nervosa</i>									10
<i>Athripsoides aterrimus</i>	15	4			20	10	4	40	17
									140
									10
									21
									30

Anhang 16: Gesamtartenübersicht des eulitoralen Makrozoobenthos des Schmalensees. Abundanzen sind als Individuendichte / m² angegeben.

	Stelle	Ufertyp	1	2	3	4	5	6	7	8
	Habitat	Schliff	Natürlich	Schliff	Sand	Natürlich	Stein	Schliff	Natürlich	Natürlich
			Holz			Holz		Holz	Stein	Holz
Athripsodes cinereus					60				10	17
Ceraclea fulva						5	4	10	4	5
Cynus trimaculatus						4	4	4	5	
Ecnomus tenellus						4	5	21		9
Goera pilosa										5
Halesus radiatus			5							
Holocentropus sp.									5	
Limnephilus sp.	5	5				5			20	
Lype phaeopa				4						
Molanna angustata	15	25			5				5	
Mystacides azurea					5	4	87	4	20	8
Mystacides longicornis/nigra	5	15			4				23	5
Orthotrichia sp.					4				25	95
Tinodes waeneri					4				342	186
Diptera										
Ceratopogoninae/Palpomyiinae	10	46		10	15	16	4	5	15	17
Ablabesmyia longistyla		17				10		5	17	5
Chironomus plumosus-Gr.								31	10	40
Chironomus tentans	10						5			53
Chironomus thummi-Gr.									5	
Cladotanytarsus sp.	170		1288	30	1660		10	8	2593	29
Clinotanytus nervosus										10
Conchapelopia melanops										10
Cricotopus sp.	10	17		70	20	8	446	35	8	98
Cryptochironomus sp.	60		5	14	5	120		5	153	
Dicrotendipes nervosus							8			53
Endochironomus albipennis	5	21		10	4	33	15	4	21	176
Glyptotendipes pallens	40	45	100	5	135	89	316	696	160	158
Glyptotendipes paripes	16					291			41	172
Microtendipes chloris								12	82	7
Nanocladius sp.										51
Parachironomus arcuatus										36
Paracladius conversus										5
Paratanytarsus sp.	5	8								8
Polypedilum nubeculosum		9								13
Polypedilum sordens	25			30			43	10	4	5
Prociadius sp.	10	604	4	378	5	120		5	275	8
Strictochironomus sp.									549	
Tanytarsus sp.								4	4	13

Anhang 17: Gesamtartenübersicht des eulitoralen Makrozoobenthos des Selenter Sees. Abundanzen sind als Individuendichte / m² angegeben.

	Stelle	1	2	3	4	5	6	7	8
	Ufertyp	Natürlich	Natürlich	Natürlich	Natürlich	Natürlich	Badesetze		
	Habitat	Schiff	Sand	Stein	Holz	Schiff	Sand	Holz	Natürlich
Turbellaria									
<i>Polyclells nigra/tenuis</i>									
Gastropoda									
<i>Acroloxus lacustris</i>									
<i>Anisus vortex</i>	20	25							10
<i>Bathyomphalus contortus</i>									
<i>Bitthynia leachii</i>									
<i>Bitthynia tentaculata</i>	10	4							
<i>Gyraulus albus</i>									
<i>Gyraulus crista</i>	5	4							
<i>Gyraulus parvus</i>									
<i>Lymnaea stagnalis</i>									
<i>Marstoniopsis scholtzi</i>		4							
<i>Planorbis carinatus</i>	10								
<i>Planorbis planorbis</i>	5								
<i>Potamopygus antipodarum</i>									
<i>Radix auricularia</i>									
<i>Radix baltica</i>									
<i>Valvata cristata</i>		4		4					
<i>Valvata piscinalis piscinalis</i>	5								
Bivalvia									
<i>Dreissena polymorpha</i>	5	5	136	10	63	5	10	13	5
<i>Musculium lacustre</i>	5								
<i>Pisidium casertanum casertanum</i>	5								
<i>Pisidium hibernicum</i>	5								
<i>Pisidium milium</i>	25								
<i>Pisidium nitidum</i>	10	20	4	70	42	20	15	10	10
<i>Pisidium obtusale</i>	10				5				
<i>Pisidium subtruncatum</i>	5								
<i>Sphaerium corneum</i>									
Oligochaeta									
<i>Lumbriculidae</i>	5								
<i>Naididae/Tubificidae</i>	35	20	195	24	95	71	75	100	140
<i>Stylaria lacustris</i>	5								
Hirudinea									
<i>Alboglossiphonia heterocolla</i>									
<i>Alboglossiphonia hyalina</i>									
<i>Eriobdella monostrigata</i>									

Anhang 17: Gesamtartenübersicht des eulitoralen Makrozoobenthos des Selenter Sees. Abundanzen sind als Individuendichte / m² angegeben.

	Stelle	1	2	3	4	5	6	7	8
	Ufertyp	Natürlich							
	Habitat	Schlif	Sand	Stein	Holz	Schlif	Sand	Holz	Pfahl
<i>Erpobdella nigricollis</i>	5		12	10	42	5	10	40	4
<i>Erpobdella octoculata</i>	5		16	10	54		20		5
<i>Glossiphonia complanata</i>				5	8	5		8	15
<i>Glossiphonia concolor</i>	5		28	21		4			5
<i>Glossiphonia nebulosa/verrucata</i>				33	5		4		
<i>Heleobdella stagnalis</i>			16	17	5	10		10	5
<i>Piscicolidae</i>					10				5
<i>Theromyzon tessulatum</i>				5					5
Crustacea									
<i>Asellus aquaticus</i>	485	65	60	4	475	1042	14	10	5
<i>Gammaenrus lacustris</i>	185	50	45	72	42	245	21	45	65
<i>Gammaenrus pulex</i>	10		68	8	120	388	20	25	
<i>Proasellus coxalis</i>							5		165
Ephemeroptera									
<i>Caenis horaria</i>	160	695	40	28	4	130	117	23	30
<i>Caenis luctuosa</i>							4		
<i>Caenis robusta</i>						5			
<i>Centropilum luteolum</i>			5			8			
<i>Cloeon dipterum</i>									
Odonata									
<i>Coenagrionidae</i>					5				
Plecoptera									
<i>Nemoura sp.</i>			4						
Heteroptera									
<i>Corixidae</i>	15				25		5		
Coleoptera									
<i>Haliphus confinis</i>	5							5	
<i>Haliphus sp.</i>	15		4			4	5		
<i>Orectochilus villosus</i>						4			5
<i>Oulimnius troglodytes</i>			5	60		46			15
Megaloptera									
<i>Sialis lutaria</i>			5						
Trichoptera									
<i>Agraylea multipunctata</i>	8			63		25		4	
<i>Anabolia furcata</i>			5	4		15		7	
								10	
									5

Anhang 17: Gesamtartenübersicht des eulitoralen Makrozoobenthos des Selenter Sees. Abundanzen sind als Individuendichte / m² angegeben.

	Stelle	1	2	3	4	5	6	7	8
	Ufertyp	Natürlich	Natürlich	Natürlich	Natürlich	Natürlich	Badesstelle	Natürlich	Natürlich
	Habitat	Schliff	Sand	Sand	Stein	Holz	Schliff	Schliff	Schliff
<i>Apatania auricula</i>					54				
<i>Atripsodes aterrimus</i>	20	10			42	9	10	5	4
<i>Atripsodes cinereus</i>		5	5	20	33	5	10	35	
<i>Cynus trimaculatus</i>									
<i>Goera pilosa</i>			12						
<i>Limnephilus</i> sp.	10			45		20	5		
<i>Lype phaeopa</i>									
<i>Tinodes waeneri</i> ssp.					5	5	4	26	5
Diptera									
<i>Ceratopogoninae/Palpomyiinae</i>	10	20	216	33	5	8	155	50	10
<i>Ablabesmyia longistyla</i>									
<i>Brilia bifida</i>									
<i>Chironomus</i> sp.		5					5		
<i>Chironomus tentans</i>									
<i>Cladotanytarsus</i> sp.		5				5			
<i>Conchapelopia melanops</i>					10	4			
<i>Corynoneura</i> sp.		5							
<i>Cricotopus</i> sp.				5	9				
<i>Cryptochironomus</i> sp.						50		5	
<i>Demicryptochironomus</i> sp.						11		10	
<i>Dicrotendipes lobiger</i>	10								
<i>Dicrotendipes nervosus</i>									
<i>Endochironomus albipennis</i>				5					
<i>Eukiefferiella</i> sp.			8	5	23	15	5	38	
<i>Glyptotendipes pallens</i>							5		
<i>Nanocadius</i> sp.									
<i>Orthocladius</i> sp.	140								
<i>Parachironomus arcuatus</i>									
<i>Paracladopelma</i> sp.		50							
<i>Paratanytarsus</i> sp.							6		
<i>Pothisia longimana</i>	10		4		5	4			
<i>Prociadius</i> sp.		15							
<i>Psectrocladius</i> sp.									
<i>Pseudochironomus prasinatus</i>						17			
<i>Stenochironomus</i> sp.								10	
<i>Stictochironomus</i> sp.		55		4				23	
<i>Tanytarsus</i> sp.		4							
<i>Virgatanytarsus arduennensis</i>	412	4	5	17	10	4			10
<i>Limonidae</i>					5				

Anhang 18: Gesamtartenübersicht des eulitoralen Makrozoobenthos des Stocksees. Abundanzen sind als Individuendichte / m² angegeben.

	Stelle	1	2	3	4	5	6	7	8
	Ufertyp	Natürlich	Holz	Wurzel	Sand	Natürlich	Holz	Stein	Natürlich
	Habitat	Sand	Holz	Wurzel	Sand	Holz	Schiff	Sand	Holz
Turbellaria									
Dendrocoelum lacteum		4							
Dugesia lugubris/polychroa		5	16	5		13	5	10	15
Dugesia tigrina			5	5					
Polyclis nigra/tenuis	13	20	4	5			5	10	8
Gastropoda									
Acroloxus lacustris									
Anisus vortex	5	16	5						
Bathyomphalus contortus		48							
Bitinnia leachii	4	5	10						
Bitinnia tentaculata	10	8	100	10	24	55	5	10	13
Gyraulis albus	10	4	5		5	5	5	4	20
Gyraulis crista	15		30			5	26	10	10
Hippeutis complanatus		8	15						
Marstoniopsis scholtzi	5		5			4			
Planorbis carinatus	70	32	20	5				4	
Potamopyrgus antipodarum	180	8	20	115	52	80	115	265	115
Radix auricularia				5	5	415	70	265	265
Radix balthica	10	5				15	4	16	5
Stagnicola sp.							5	5	32
Theodoxus fluviatilis	95	29	15	10	8	15	20	44	20
Valvata cristata		20	192	110			4	10	35
Valvata piscinalis								5	10
Bivalvia									
Dreissena polymorpha	230	463	215	140	112	465	165	440	780
Pisidium amnicum									
Pisidium casertanum	21		45		5	5	24	612	
Pisidium henslowanum	294	5	125		50			85	72
Pisidium hibernicum	147		20		20	296	179		15
Pisidium milium	53		5	8	25	5	32		100
Pisidium nitidum	399	13	15	160		35	45	480	1658
Pisidium subtruncatum	263	4	15	10	40	40	72	230	5
Sphaerium corneum	63	15	20		10			26	20
Unio tumidus tumidus									10
Oligochaeta									

Anhang 18: Gesamtartenübersicht des eulitoralen Makrozoobenthos des Stocksees. Abundanzen sind als Individuendichte / m² angegeben.

	Stelle	1	2	3	4	5	6	7	8
Ufertyp	Natürlich	Steganganlage							
Habitat	Sand	Holz	Wurzel	Sand	Holz	Schiff	Sand	Holz	Stein
Lumbriculidae	10		10	5	55		80	10	50
Naididae/Tubificidae	10	30	15	15	15		20	25	305
Stylaria lacustris	45	38	35	10	8	135	5	5	65
Stylodrilus hirginianus						220	972	105	80
Hirudinea									
Alboglossiphonia heterotilta			5						
Alboglossiphonia hyalina			5						
Erpobdella nigricollis	5	20							
Erpobdella octoculata		4	5	20					
Glossiphonia complanata		4			5				
Glossiphonia concolor					5				
Helobdella stagnalis	10								
Hemicepsis marginata						4			
Piscicolidae		5					10		
Theromyzon tessulatum			4						
Crustacea									
Aesellus aquaticus	125	67	400	10	360	195	35	265	15
Gammarus pulex	15	4	5	48	25	135	60	40	15
Ephemeroptera									
Caenis horaria	70	20	4	15	20	10			
Caenis lucitiosa	125	5			10	75		425	8
Centropilum luteolum	35	45	5	10	35	80	35	4	170
Cloeon dipterum		20			190	5	10	5	50
Cloeon simile	10	140			15	5			15
Ephemerella vulgata	90	20	55	4	45	40	170	70	5
Leptophlebia marginata			5	4	5	5	5	16	20
Odonata									
Coenagrionidae					30	5		5	10
Heteroptera									
Corixidae									5
Coleoptera									
Eliodes minuta-Gr.									5
Haliphus flavicollis									55

Anhang 18: Gesamtartenübersicht des eulitoralen Makrozoobenthos des Stocksees. Abundanzen sind als Individuendichte / m² angegeben.

	Stelle	1	2	3	4	5	6	7	8
	Ufertyp	Natürlich	Steganganlage						
Habitat	Sand	Holz	Wurzel	Sand	Holz	Schliff	Sand	Holz	Wurzel
<i>Halipus fluviatilis</i>				10					
<i>Halipus immaculatus</i>					4				
<i>Halipus lineolatus</i>				30				5	
<i>Halipus sp.</i>				5		9	5	5	5
<i>Hydrioporidae</i>		5							5
<i>Laccophilus hyalinus</i>						5			5
<i>Nebroriopus depressus/elegans</i>	5	20			4	8	20	5	5
<i>Orecochilus villosus</i>		10	5	5	17	24	30	5	4
<i>Oulimnius tuberculatus</i>		4	5	25		30	30	10	95
<i>Platanius maculatus</i>					20			10	25
Megacluptera								4	8
<i>Sialis lutaria</i>	5			10	5				5
Trichoptera									
<i>Anabolia furcata</i>	5	20	20	35	170	35	5	15	35
<i>Athripsodes aterrimus</i>	5	4	15	10	24	60	5	5	10
<i>Athripsodes cinereus</i>	30	13	35	10	5	10	100	60	56
<i>Chaetopteryx villosa</i>					55	87	16	70	4
<i>Cymus trimaculatus</i>	10				5	5			45
<i>Goera pilosa</i>	5	13	10	5		65	8	5	
<i>Halesus radiatus</i>	4	5	10	10			5	5	
<i>Hydropsilia sp.</i>						8	20	10	5
<i>Leptocerus tineiformis</i>						4	5		
<i>Limnephilus sp.</i>	5	13	65	25	75	25	12	25	15
<i>Lype phaeopa</i>	10			5	5	10	5	23	4
<i>Molanna angustata</i>	5	5			5	20	20	5	30
<i>Mystacides azurea</i>	20	15	8		20	10	15	15	140
<i>Mystacides longicornis/nigra</i>	8	35			5	5	5	5	12
<i>Oecetis testacea</i>	10				5	5	5	5	25
<i>Oxyethira sp.</i>	5							4	5
<i>Polycentropus flavomaculatus</i>	5	13	15	4	25		74	12	44
<i>Polycentropus irroratus</i>									5
<i>Silo nigricornis</i>					10				
<i>Tinodes waeneri</i>								5	
Diptera									

Anhang 18: Gesamtartenübersicht des eulitoralen Makrozoobenthos des Stocksees. Abundanzen sind als Individuendichte / m² angegeben.

	Stelle	1	2	3	4	5	6	7	8
Ufertyp	Natürlich								
Habitat	Sand	Holz	Wurzel	Sand	Holz	Stein	Holz	Stein	
Ceratopogoninae/Palpomyiinae	5	13	25	24	10	5	16	10	
Ablabesmyia monilis				5					
Brilia bifida		5				8			
Brilia flavifrons		5				4	5		
Chaetocadius sp.								5	
Cladotanytarsus sp.	15				5	35	4		
Clinotanypus nervosus					4	10	35	5	
Conchapelopia melanops	46	95		25	5	15	5	100	
Corynoneura sp.				20	20		4	5	
Cricotopus sp.	4					4	5		
Cryptochironomus sp.	5		15			15			
Demicyclochironomus sp.					5			5	
Dicrotendipes nervosus	25	105		4	5	5	9	15	
Endochironomus albibensis	17	20			45	10	5		
Epoicocladius flavens	20	5	45		50	35	75		
Eukiefferiella sp.							5		
Glyptotendipes pallens				16	10				
Microtendipes pedellus	5					4			
Nanocadius sp.							5		
Orthocadius sp.		5							
Parachironomus arcuatus	5	4	5			5			
Parachironomus villosus			5				10		
Phaenopsectra sp.	38	25			5		68	10	
Polypedilum nubeculosum									
Polypedilum scalaenum						5		20	
Polypedilum sordens	5	20	15				5		
Procladius sp.	45	10	65	95		70	80	5	
Prodiamessa olivacea	70	10	10	10		5	5	25	
Psectrocladius sp.					10				
Pseudochironomus prasinatus						20	4		
Stenochironomus sp.	4					5			
Stictochironomus sp.	5					10			

Anhang 18: Gesamtartenübersicht des eulitoralen Makrozoobenthos des Stocksees. Abundanzen sind als Individuendichte / m² angegeben.

Stelle	1		2		3		4		5		6		7		8						
	Natürlich		Natürlich		Natürlich		Natürlich		Natürlich		Natürlich		Natürlich		Natürlich		Steganganlage				
Habitat	Sand	Holz	Wurzel	Sand	Holz	Wurzel	Schlif	Sand	Holz	Stein	Holz	Schlif	Sand	Stein	Holz	Wurzel	Sand	Pfahl	Stein	Wurzel	
Tanytarsus sp.	4	5		65	15	5						105	50	5	5		5				
Virgatanytarsus arduenensis																					
Zavrelimyia sp.				10													8				

Anhang 19: Gesamtartenübersicht des eulitoralen Makrozoobenthos des Stöper Sees. Abundanzen sind als Individuendichte / m² angegeben.

	Stelle	1	2	3	4	5	6	7	8
	Ufertyp	Natürlich	Holz	Natürlich	Holz	Natürlich	Holz	Natürlich	Holz
	Habitat	Schiff	Sand	Schiff	Holz	Schiff	Sand	Schiff	Sand
Turbellaria									
<i>Bdellocephala punctata</i>								4	
<i>Dugesia lugubris/polychroa</i>	5	4	20	10		5	40	17	8
<i>Polyclela nigra/tenius</i>			30			60	55	17	5
Gastropoda									
<i>Acroloxus lacustris</i>	7		45	41		5	53	65	9
<i>Anisus vortex</i>					6			5	8
<i>Bathyomphalus contortus</i>	7		30		16		9		
<i>Bitthynia leachii</i>	160	30	29	215	52	269	94	6	
<i>Bitthynia tentaculata</i>	326	35	8	120	52	236	353	293	174
<i>Gyraulus albus</i>	7		15			14	4	80	16
<i>Gyraulus crista</i>	13		4			4		5	
<i>Hippewoodia complanatus</i>	27			24			89	32	5
<i>Marseniopsis scholtzi</i>						5			
<i>Physa fontinalis</i>		4							
<i>Planorbis carinatus</i>	7	8	5	24		43	4	5	
<i>Potamopyrgus antipodarum</i>	20	20	4		29	109	30	150	
<i>Radix auricularia</i>						6			4
<i>Stagnicola</i> sp.									
<i>Theodoxus fluviatilis</i>	47		4		22	22	10		
<i>Valvata cristata</i>	27		10	139	7		168	662	22
<i>Valvata piscinalis</i>	7					9	60		
<i>Viviparus conlectus</i>			5					65	240
Bivalvia									
<i>Anodonta anatina</i>	7							15	9
<i>Anodonta cygnea</i>								33	35
<i>Dreissena polymorpha</i>	25		13	5	52	70	30	104	60
<i>Musculium lacustre</i>				5			9		
<i>Pisidium amnicum</i>						28			
<i>Pisidium casertanum casertanum</i>	95					20	28		32
<i>Pisidium henslowianum</i>	54	30	4			78	336	15	40
<i>Pisidium hibernicum</i>	41					254	112		136
<i>Pisidium milium</i>	108		35			234	14	20	16
<i>Pisidium nitidum</i>	1040	60	8	5		917	742	115	10
<i>Pisidium subtruncatum</i>	189		5			410	112	10	5
<i>Sphaerium corneum</i>	68	25		25		234	154	4	48
Oligochaeta								8	204
<i>Lumbriculidae</i>	25						10	5	
									15

Anhang 19: Gesamtartenübersicht des eulitoralen Makrozoobenthos des Stolper Sees. Abundanzen sind als Individuendichte / m² angegeben.

	Stelle	1	2	3	4	5	6	7	8
	Ufertyp	Natürlich	Spundwand						
	Habitat	Schiff	Sand	Holz	Schiff	Holz	Schiff	Sand	Wurzel
Naididae/Tubificidae	235	95	10	5	55	350	5	35	10
Styaria lacustris	25	5	38	55	5			10	5
Hirudinea									
Alboglossiphonia heteroclita		15	5					10	15
Alboglossiphonia hyalina			10	5					
Eprobodella nigricollis	5		13	15	5			5	
Eprobodella octoculata	15		13	40	5	10	15	70	20
Glossiphonia complanata	5							5	10
Glossiphonia concolor				5				5	10
Heliodella stagnalis	5				5	4		45	140
Hemiclepsis marginata			4		5			5	26
Piscicolidae Gen. sp.						4		4	
Theromyzon tessulatum									60
Crustacea									
Aeselius aquaticus	750	70	183	861	57	180	390	10	22
Gammarus pulex				15	15			50	40
Proasellus coxaialis	82		21	23	25	10		40	
Ephemeroptera									
Caenis horaria	60	60	20		170	55	17	100	90
Caenis luctuosa					25	20	5		
Caenis robusta					14	5			
Centroptilum luteolum					40	13	130		
Cloeon dipterum	5		40		690	10		5	
Cloeon simile						10			
Ephemerella vulgata						5			
Odonata									
Coenagrionidae						5	5	5	
Somatotachlora sp.							5		
Heteroptera									
Corixidae	135	875	5	5	5	10	5	5	410
Notonecta sp.								5	60
Coleoptera									
Halipplus flavicollis								35	4
Halipplus fluviatilis									5
Halipplus immaculatus							5		

Anhang 19: Gesamtartenübersicht des eulitoralen Makrozoobenthos des Stolper Sees. Abundanzen sind als Individuendichte / m² angegeben.

	Stelle	1	2	3	4	5	6	7	8
	Ufertyp	Natürlich	Holz	Natürlich	Holz	Schliff	Natürlich	Natürlich	Natürlich
	Habitat	Schiff	Sand	Holz	Schliff	Schliff	Holz	Stein	Holz
Halipus lineolatus						5	10	5	
Halipus sp.						5	10	4	
Laccophilus hyalinus				5	5				10
Nebrioporus depressus/elegans								25	5
Noterius clivicornis				5					
Orectochilus villosus		5	4		30	5		8	5
Oulinnius sp.					5			5	
Megaloptera									
Sialis lutaria								5	15
Trichoptera									
Anabolia furcata	15	5	40		20	10	40		5
Anabolia nervosa								5	5
Athripsodes aterrimus	25	5			50	20	35	12	10
Athripsodes cinereus					25	60		70	15
Ceraclea senilis	5					4	5		5
Goera pilosa					15	5	22	5	
Halesus radiatus	5					4			4
Holocentropus sp.			20	45	5				5
Hydroptila sp.		4						15	5
Limnephilus sp.		10	5		20		5		5
Lype phaeopa	15	83	45	143	10	300	10	88	10
Molanna angustata	5		5		15		5		25
Mystacides azurea		5			5		10		10
Mystacides longicornis/nigra		15			5	30		5	5
Oecetis sp.									5
Polycentropus flavomaculatus						13	30		5
Polycentropus irroratus					4	10			
Tinodes waeneri		20	5				20	5	5
Diptera									
Ceratopogoninae/Palpomyiinae	15								
Ablabesmyia longistyla					5	5	5	17	4
Brilla flavifrons					4	5			
Chironomus sp.					5				
Chironomus tentans		15		20					
Cladotanytarsus sp.	65	5			12	75		15	65
Clinotanypus nervosus									
Conchapelopia melanops					6		20		
Corynoneura sp.	5						5		

Anhang 19: Gesamtartenübersicht des eulitoralen Makrozoobenthos des Stolper Sees. Abundanzen sind als Individuendichte / m² angegeben.

	Stelle	1	2	3	4	5	6	7	8
	Ufertyp	Natürlich	Spundwand						
	Habitat	Schilf	Sand	Holz	Schilf	Schilf	Schilf	Schilf	Sand
<i>Cricotopus</i> sp.		23	10	85	4	15	10	5	
<i>Cryptochironomus</i> sp.	10			6	15	5		6	33
<i>Dicrotendipes nervosus</i>		6			22			4	
<i>Endochironomus albipennis</i>	20	10	50	10	121	9	35	4	
<i>Glyptotendipes pallens</i>	20	20	119	130	816	25	135	15	
<i>Microtendipes chloris</i>		23			5			4	
<i>Microtendipes pedellus</i>				5				36	
<i>Nanocladius</i> sp.					4	15		23	
<i>Orthocladius</i> sp.					6			353	
<i>Parachironomus arcatus</i>					6	10			170
<i>Parachironomus vitiosus</i>					6				15
<i>Paratanytarsus</i> sp.									
<i>Phaenopsectra</i> sp.					22				
<i>Polydendium nubeculosum</i>	45	15						8	
<i>Polydendium sordens</i>	25	5	354	20	136	24	78	5	
<i>Procladius</i> sp.	20		11			91	5	25	
<i>Psectrocladius</i> sp.						18			
<i>Stenochironomus</i> sp.	15							35	
<i>Tanytarsus</i> sp.			10		25	6		6	
<i>Tabanidae</i>				5	10			11	
								5	45

Anhang 20: Bewertungsergebnisse der Probestellen mit dem Modul "Neozoa". Für jede Probestelle sind die nominierten Werte der Kermetrics sowie die zugehörige Zustandsklasse angegeben.

Seename	Stelle	Uferstrukturtyp	Kermetrics des Moduls Neozoa				Zustandsklasse
			% Neozoa Bivalvia	% Neozoa Crustacea	% Neozoa	Turbellaria	
Belauer See	1	Natürlich	0.00	0.07	0.00	0.00	1
	2	Natürlich	0.28	0.00	0.57	0.00	1
	3	Natürlich	0.01	0.04	0.34	0.00	1
	4	Natürlich	0.39	0.00	0.23	0.00	1
	5	Natürlich	0.07	0.12	0.65	0.00	1
	6	Natürlich	0.39	0.00	0.37	0.00	1
	8	Natürlich	0.02	0.00	0.00	0.00	1
	1	Natürlich	0.00	0.00	0.00	0.00	1
Bornhöveder See	2	Natürlich	0.00	0.00	0.00	0.00	1
	3	Natürlich	0.00	0.02	0.62	0.00	1
	5	Natürlich	0.00	0.00	0.16	0.00	1
	6	Natürlich	0.00	0.00	0.20	0.00	1
	7	Natürlich	0.00	0.00	0.51	0.00	1
	8	Natürlich	0.00	0.00	0.00	0.00	1
	1	Natürlich	0.82	0.04	0.03	0.00	2
	4	Natürlich	0.96	0.00	0.03	0.00	2
Dieksee	5	Natürlich	0.72	0.00	0.93	0.00	3
	6	Natürlich	0.67	0.00	0.56	0.00	2
	1	Natürlich	0.09	0.23	0.00	0.00	1
	2	Natürlich	0.95	0.00	0.00	0.00	2
	3	Natürlich	0.58	0.00	0.00	0.00	1
	4	Natürlich	0.55	0.01	0.06	0.00	1
	5	Natürlich	0.84	0.20	0.00	0.00	2
	7	Natürlich	0.44	0.00	0.00	0.00	1
Großensee	8	Natürlich	0.79	0.05	0.02	0.00	2
	1	Natürlich	0.06	0.00	0.08	0.00	1
	2	Natürlich	0.15	0.00	0.00	0.00	1
	5	Natürlich	0.13	0.00	0.00	0.00	1
	6	Natürlich	0.17	0.00	0.47	0.00	1
	7	Natürlich	0.28	0.00	0.00	0.00	1
	1	Natürlich	0.14	0.00	0.00	0.00	1
	2	Natürlich	0.74	0.00	0.00	0.00	1
Kellersee	3	Natürlich	1.00	0.00	0.00	0.00	2
	4	Natürlich	0.89	0.00	0.00	0.00	2
	6	Natürlich	0.93	0.00	0.00	0.00	2
	8	Natürlich	0.37	0.00	0.00	0.00	1
	3	Natürlich	0.08	0.65	0.10	0.00	2
	4	Natürlich	0.08	0.06	0.37	0.00	1
	5	Natürlich	0.86	0.25	0.00	0.00	2
	6	Natürlich	0.00	0.00	0.00	0.00	1

Anhang 20: Bewertungsergebnisse der Probestellen mit dem Modul "Neozoa". Für jede Probestelle sind die nominierten Werte der Kermetrics sowie die zugehörige Zustandsklasse angegeben.

Seename	Stelle	Uferstrukturtyp	Kermetrics des Moduls Neozoa				Zustandsklasse
			% Neozoa Bivalvia	% Neozoa Crustacea	% Neozoa	Turbellaria	
Lanker See	7	Natürlich	1.00	0.00	0.00	0.00	2
	2	Natürlich	1.00	0.00	1.00	0.00	3
	3	Natürlich	0.74	0.00	0.21	0.00	2
	6	Natürlich	1.00	0.00	0.00	0.00	2
	7	Natürlich	0.00	0.00	0.00	0.00	1
	1	Natürlich	0.78	1.00	1.00	0.00	4
	4	Natürlich	0.61	1.00	0.90	0.00	4
	5	Natürlich	0.91	1.00	0.23	0.00	3
Plöner See	6	Natürlich	0.57	1.00	1.00	0.00	4
	8	Natürlich	0.25	1.00	0.95	0.00	3
	1	Natürlich	0.25	1.00	0.35	0.00	2
	2	Natürlich	0.40	1.00	0.08	0.00	2
	3	Natürlich	0.79	1.00	0.94	0.00	4
	4	Natürlich	0.17	1.00	0.95	0.00	3
	5	Natürlich	0.22	1.00	0.24	0.00	2
	6	Natürlich	0.25	1.00	0.43	0.00	3
Ratzeburger See	7	Natürlich	0.17	0.27	0.30	0.00	1
	1	Natürlich	0.00	0.00	0.19	0.00	1
	2	Natürlich	0.00	0.00	0.01	0.00	1
	3	Natürlich	0.11	0.00	0.57	0.00	1
	4	Natürlich	0.00	0.00	0.00	0.00	1
	5	Natürlich	0.00	0.00	0.40	0.00	1
	6	Natürlich	0.00	0.00	0.00	0.00	1
	7	Natürlich	0.00	0.00	0.76	0.00	1
Schmalensee	8	Natürlich	0.00	0.00	0.00	0.00	1
	2	Natürlich	0.02	0.21	0.19	0.00	1
	3	Natürlich	0.49	0.00	0.31	0.00	1
	4	Natürlich	0.15	0.05	1.00	0.00	2
	7	Natürlich	0.29	0.00	0.04	0.00	1
	8	Natürlich	0.46	0.00	0.06	0.00	1
	1	Natürlich	0.07	0.00	0.00	0.00	1
	2	Natürlich	0.83	0.00	0.00	0.00	2
Seelenter See	3	Natürlich	0.28	0.00	0.00	0.00	1
	4	Natürlich	0.17	0.00	0.00	0.00	1
	5	Natürlich	0.21	0.00	0.26	0.00	1
	7	Natürlich	1.00	0.25	0.00	0.00	2
	8	Natürlich	0.47	0.00	0.21	0.00	1
	1	Natürlich	0.79	0.00	0.07	0.00	2
	2	Natürlich	0.55	0.00	0.05	0.00	1
	3	Natürlich	1.00	0.00	0.00	0.00	2

Anhang 20: Bewertungsergebnisse der Probestellen mit dem Modul "Neozoa". Für jede Probestelle sind die nominierten Werte der Kermetrics sowie die zugehörige Zustandsklasse angegeben.

Seename	Stelle	Uferstrukturtyp	Kermetrics des Moduls Neozoa			Zustandsklasse	
			% Neozoa Bivalvia	% Neozoa Crustacea	% Neozoa Gastropoda		
Stendorfer See	4	Natürlich	0.77	0.00	0.01	0.00	1
	5	Natürlich	0.80	0.00	0.00	0.00	1
	6	Natürlich	0.98	0.00	0.00	0.00	2
	7	Natürlich	0.96	0.00	0.02	0.00	2
	8	Natürlich	0.52	0.00	0.02	0.00	1
	1	Natürlich	0.33	0.00	0.24	0.00	1
	2	Natürlich	0.45	0.00	0.20	0.41	2
	3	Natürlich	0.47	0.00	0.93	1.00	3
Stocksee	4	Natürlich	0.25	0.00	0.65	0.00	2
	5	Natürlich	0.24	0.00	0.50	0.00	1
	6	Natürlich	0.37	0.00	0.42	0.00	1
	7	Natürlich	0.43	0.00	0.54	0.00	2
	1	Natürlich	0.02	0.13	0.04	0.00	1
	2	Natürlich	0.29	0.05	0.00	0.00	1
	3	Natürlich	0.00	0.11	0.00	0.00	1
	4	Natürlich	0.05	0.06	0.18	0.00	1
Stolper See	5	Natürlich	0.13	0.08	0.00	0.00	1
	6	Natürlich	0.49	0.01	0.00	0.00	1
	7	Natürlich	0.05	0.00	0.25	0.00	1
	1	Natürlich	0.53	0.00	1.00	0.00	2
	2	Natürlich	0.17	0.00	1.00	0.00	2
	3	Natürlich	0.99	0.00	0.17	0.00	2
	4	Natürlich	0.44	0.00	0.96	0.00	2
	5	Natürlich	0.41	0.00	1.00	0.00	2
Suhrer See	6	Natürlich	0.87	0.00	0.99	0.00	3
	8	Natürlich	0.13	0.00	1.00	0.00	2